#### Inferenzmethoden



#### Einheit 3



## Verdichtung des logischen Schließens II Matrix-Beweise

- 1. Verdichtung von Tableauxbeweisen
- 2. Der Matrixkalkül
- 3. Zweidimensionale Repräsentation

## Matrix-Kalküle: Maschinennahe Beweissuche

#### • Bestimme relevante Beweisinformation

- Welche komplementären Teilformeln schließen einen Beweiszweig ab?
- Welche Terme sind für  $\gamma$ -Variablen einzusetzen?
- In welcher Reihenfolge sind Beweisregeln anzuwenden?

Information reicht, um Tableauxbeweis ohne Suche zu konstruieren

### Matrix-Kalküle: Maschinennahe Beweissuche

#### • Bestimme relevante Beweisinformation

- Welche komplementären Teilformeln schließen einen Beweiszweig ab?
- Welche Terme sind für  $\gamma$ -Variablen einzusetzen?
- In welcher Reihenfolge sind Beweisregeln anzuwenden?
   Information reicht, um Tableauxbeweis ohne Suche zu konstruieren

### • Kompakte Beweisrepräsentation

- Nur atomare Teilformeln (Literale) sind beweisrelevant
- Beweiszweige repräsentierbar durch "Pfade" im Formelbaum
- Beweisführung im Formelbaum vermeidet Erzeugung von Formelkopien

### Matrix-Kalküle: Maschinennahe Beweissuche

#### • Bestimme relevante Beweisinformation

- Welche komplementären Teilformeln schließen einen Beweiszweig ab?
- Welche Terme sind für  $\gamma$ -Variablen einzusetzen?
- In welcher Reihenfolge sind Beweisregeln anzuwenden? Information reicht, um Tableauxbeweis ohne Suche zu konstruieren

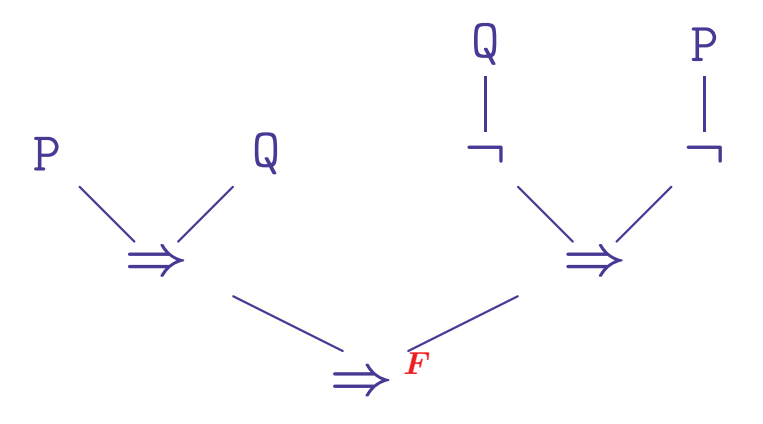
#### • Kompakte Beweisrepräsentation

- Nur atomare Teilformeln (Literale) sind beweisrelevant
- Beweiszweige repräsentierbar durch "Pfade" im Formelbaum
- Beweisführung im Formelbaum vermeidet Erzeugung von Formelkopien

### • Zielorientiertes Vorgehen

- Verfolge Konnektionen bei Suche nach komplementären Literalen
- Gezielte Instantiierung von Quantoren durch Unifikation
- Reduktionsordnung bestimmt durch Baumordnung und Substitution

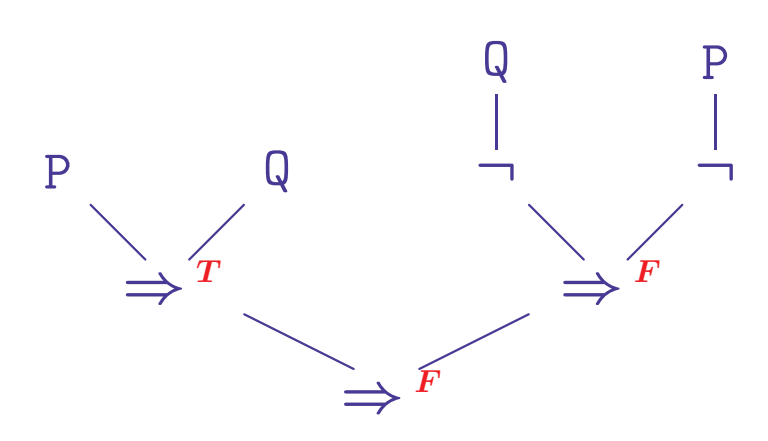
$$((P \Rightarrow Q) \Rightarrow (\neg Q \Rightarrow \neg P))^{F}$$

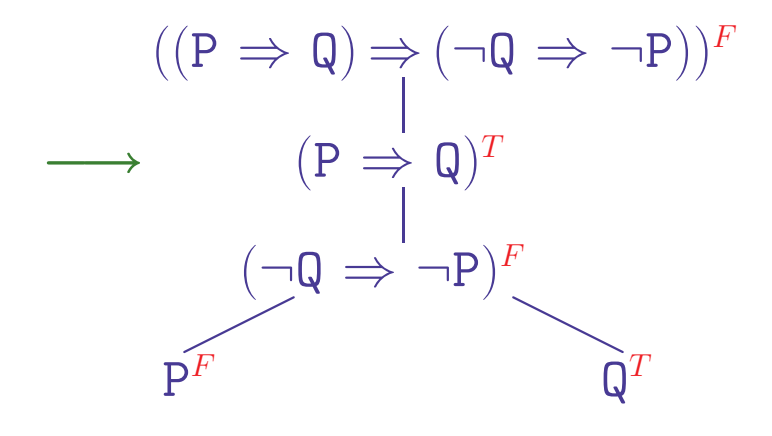


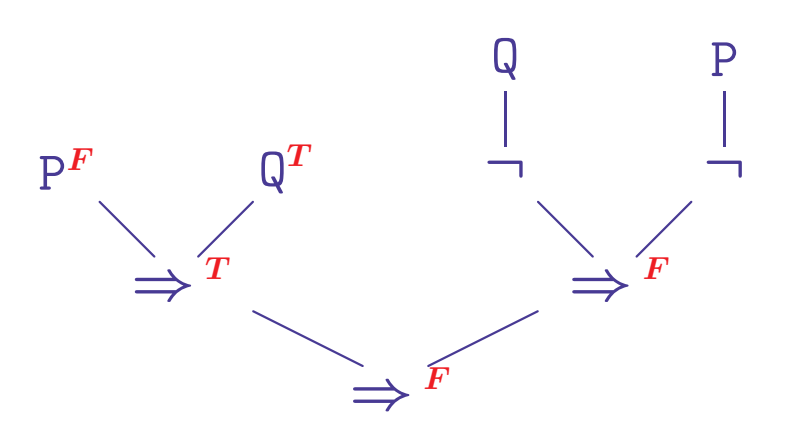
$$\longrightarrow ((P \Rightarrow Q) \Rightarrow (\neg Q \Rightarrow \neg P))^{F}$$

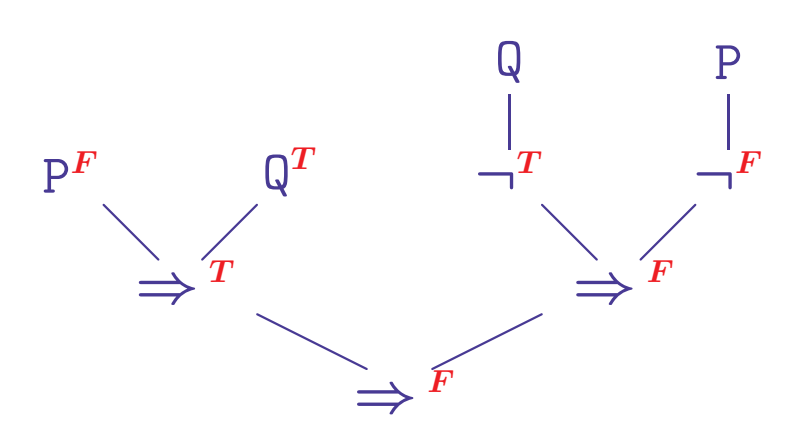
$$(P \Rightarrow Q)^{T}$$

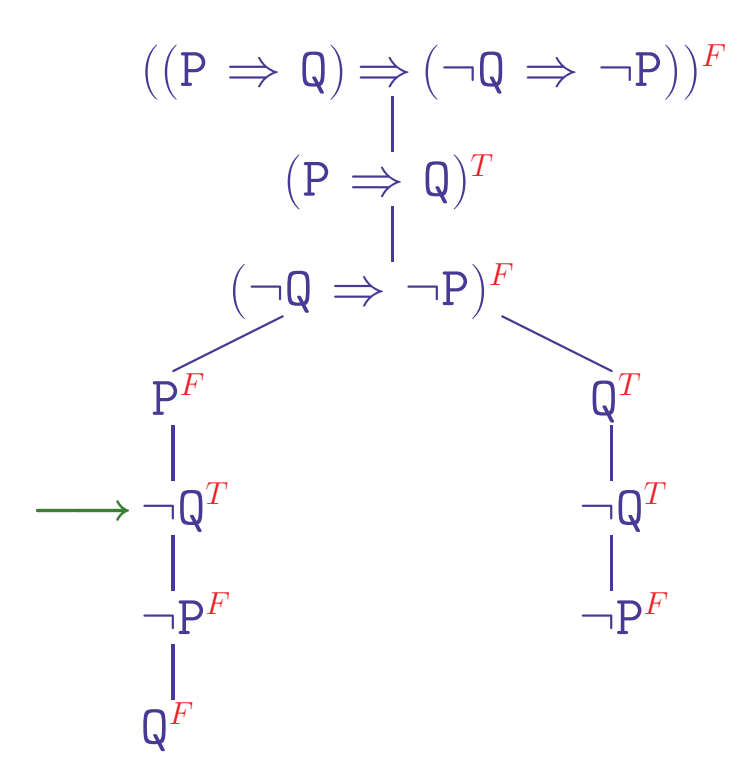
$$(\neg Q \Rightarrow \neg P)^{F}$$

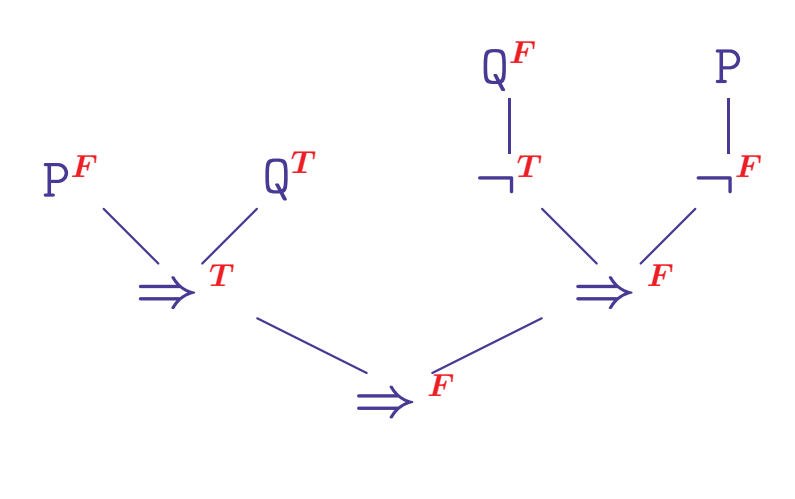


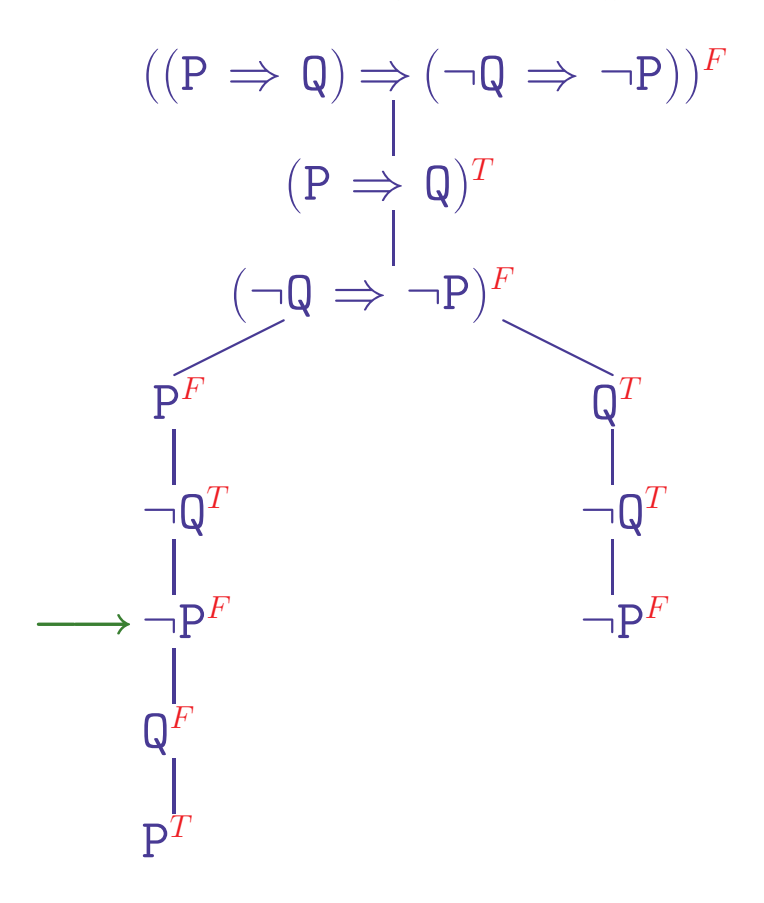


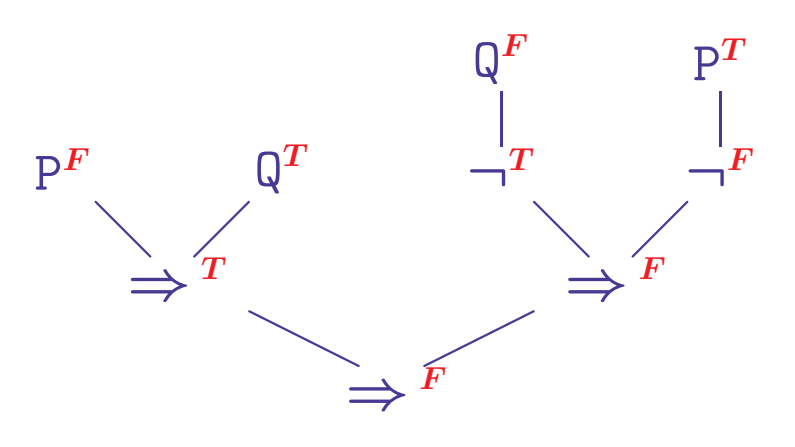












#### **Tableauxbeweis**

$$((P \Rightarrow Q) \Rightarrow (\neg Q \Rightarrow \neg P))^{F}$$

$$(P \Rightarrow Q)^{T}$$

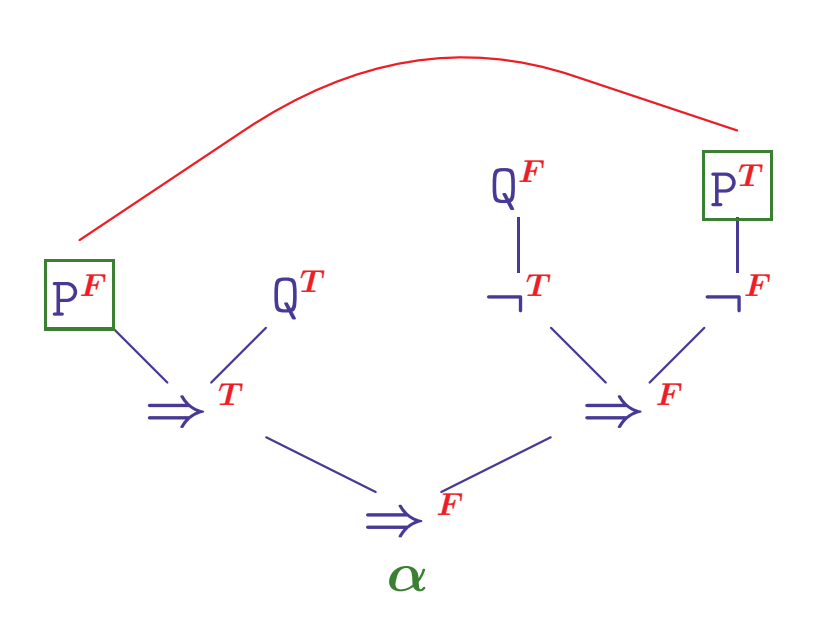
$$(\neg Q \Rightarrow \neg P)^{F}$$

$$\neg Q^{T}$$

$$\neg P^{F}$$

$$\neg P^{F}$$

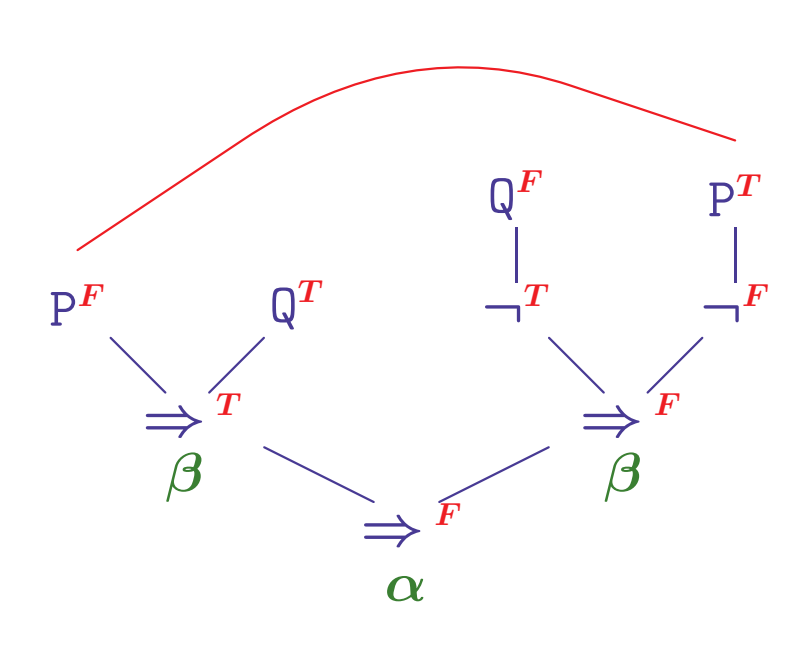
$$\neg P^{F}$$



Komplementäre Literale in  $\alpha$ -Beziehung

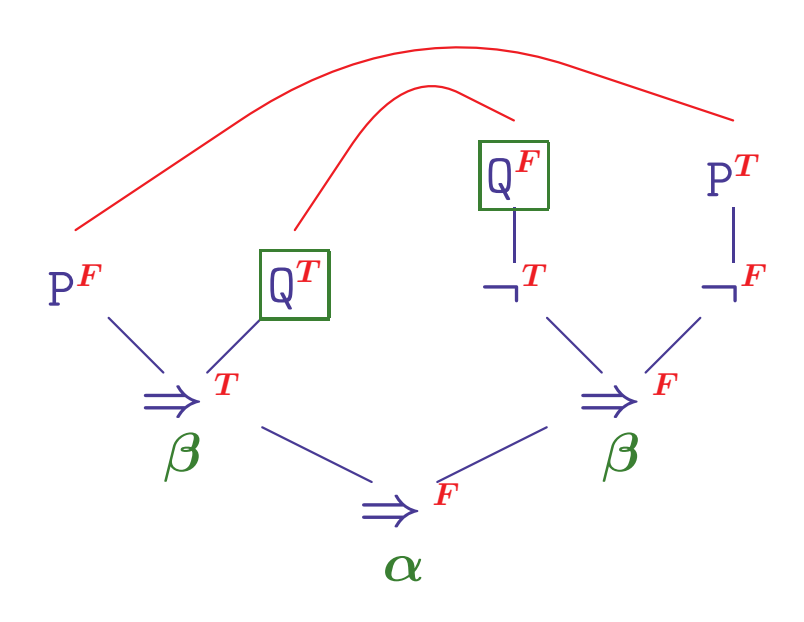
Zweig geschlossen

#### **Tableauxbeweis**



Zweiter Beweiszweig zu betrachten

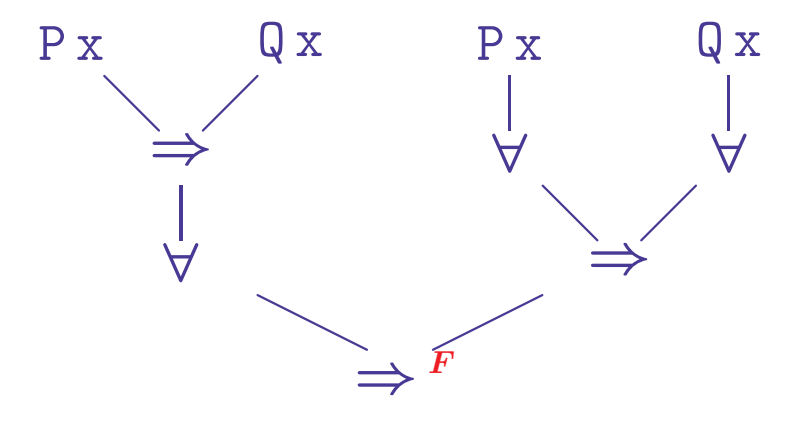
#### **Tableauxbeweis**



Komplementäre Literale in  $\alpha$ -Beziehung

Zweig geschlossen

$$(\forall x Px \Rightarrow Qx) \Rightarrow ((\forall x Px) \Rightarrow (\forall x Qx))^{F}$$

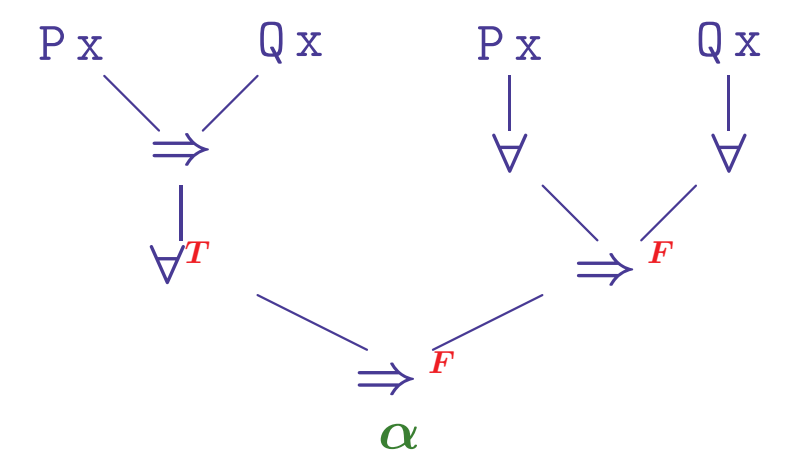


Inferenzmethoden §3 \_\_\_\_\_\_ 3 \_\_\_\_\_ Verdichtung des logischen Schließens IIMatrix-Beweise

$$\alpha \longrightarrow (\forall x P x \Rightarrow Q x) \Rightarrow ((\forall x P x) \Rightarrow (\forall x Q x))^{F}$$

$$(\forall x P x \Rightarrow Q x)^{T}$$

$$(\forall x P x) \Rightarrow (\forall x Q x)^{F}$$



$$(\forall x P x \Rightarrow Q x) \Rightarrow ((\forall x P x) \Rightarrow (\forall x Q x))^{F}$$

$$(\forall x P x \Rightarrow Q x)^{T}$$

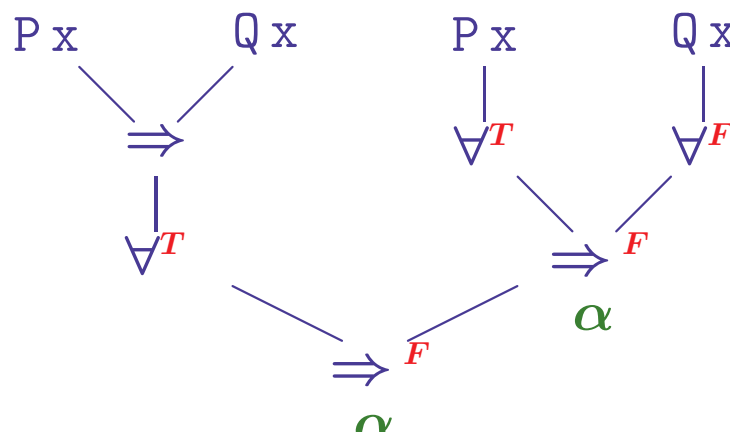
$$(\forall x P x) \Rightarrow (\forall x Q x)^{F}$$

$$(\forall x P x)^{T}$$

$$(\forall x P x)^{T}$$

$$(\forall x Q x)^{F}$$

$$F$$



$$(\forall x P x \Rightarrow Q x) \Rightarrow ((\forall x P x) \Rightarrow (\forall x Q x))^{F}$$

$$(\forall x P x \Rightarrow Q x)^{T}$$

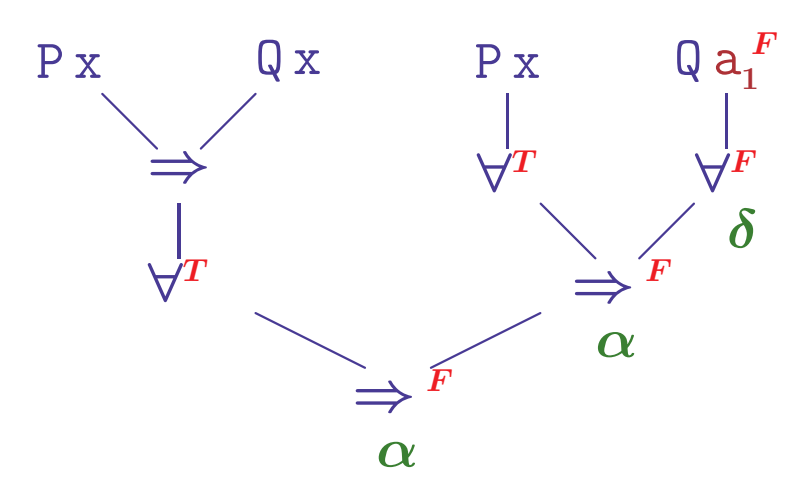
$$(\forall x P x) \Rightarrow (\forall x Q x)^{F}$$

$$(\forall x P x)^{T}$$

$$(\forall x Q x)^{F}$$

$$(\forall x Q x)^{F}$$

$$(\forall x Q x)^{F}$$



$$(\forall x P x \Rightarrow Q x) \Rightarrow ((\forall x P x) \Rightarrow (\forall x Q x))^{F}$$

$$(\forall x P x \Rightarrow Q x)^{T}$$

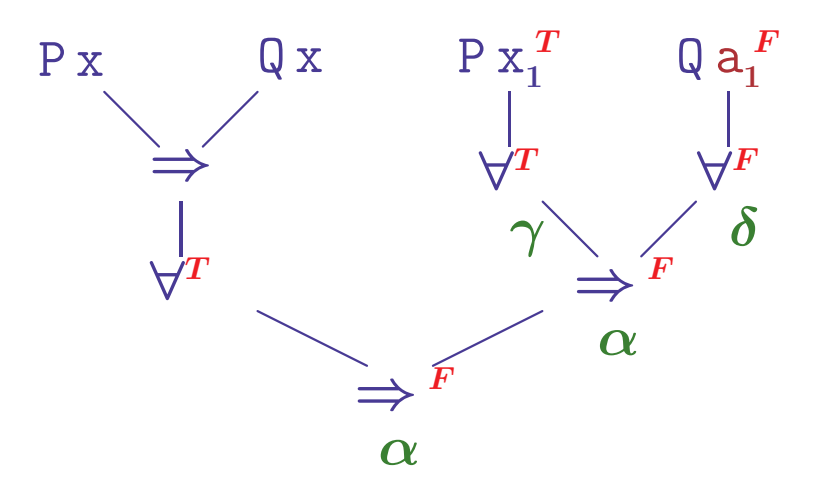
$$(\forall x P x) \Rightarrow (\forall x Q x)^{F}$$

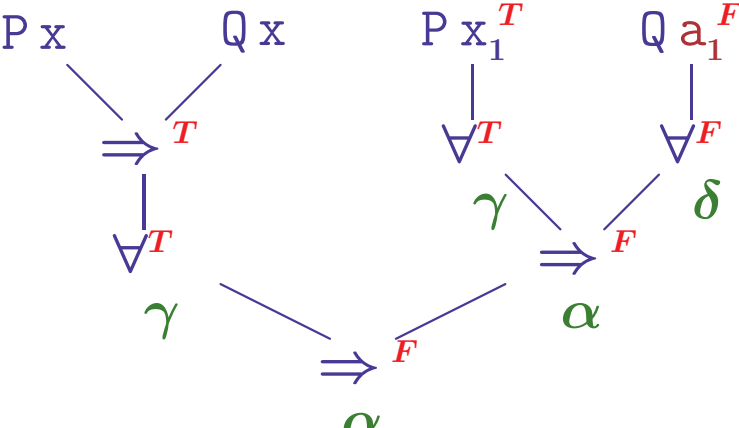
$$(\forall x P x)^{T}$$

$$(\forall x P x)^{F}$$

$$(\forall x Q x)^{F}$$

$$Q a^{F}$$





$$(\forall x P x \Rightarrow Q x) \Rightarrow ((\forall x P x) \Rightarrow (\forall x Q x))^{F}$$

$$(\forall x P x \Rightarrow Q x)^{T}$$

$$(\forall x P x) \Rightarrow (\forall x Q x)^{F}$$

$$(\forall x P x)^{T}$$

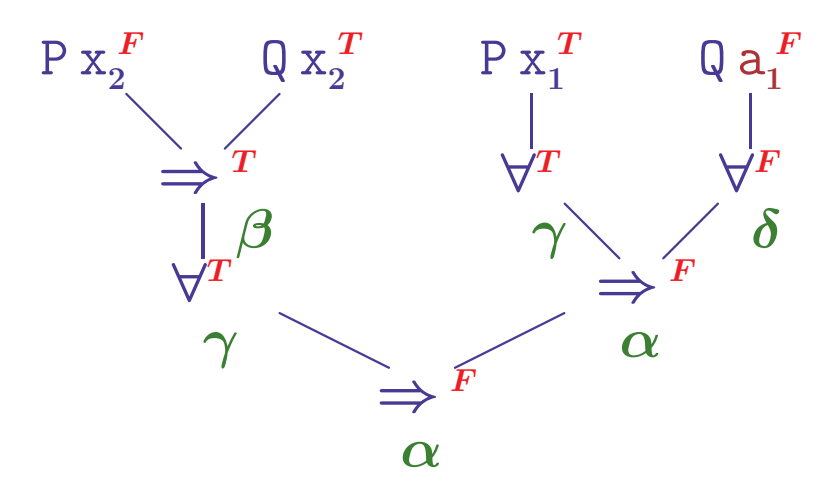
$$(\forall x Q x)^{F}$$

$$Qa^{F}$$

$$Pa^{T}$$

$$Pa^{T}$$

$$Qa^{T}$$



$$(\forall x P x \Rightarrow Q x) \Rightarrow ((\forall x P x) \Rightarrow (\forall x Q x))^{F}$$

$$(\forall x P x \Rightarrow Q x)^{T}$$

$$(\forall x P x) \Rightarrow (\forall x Q x)^{F}$$

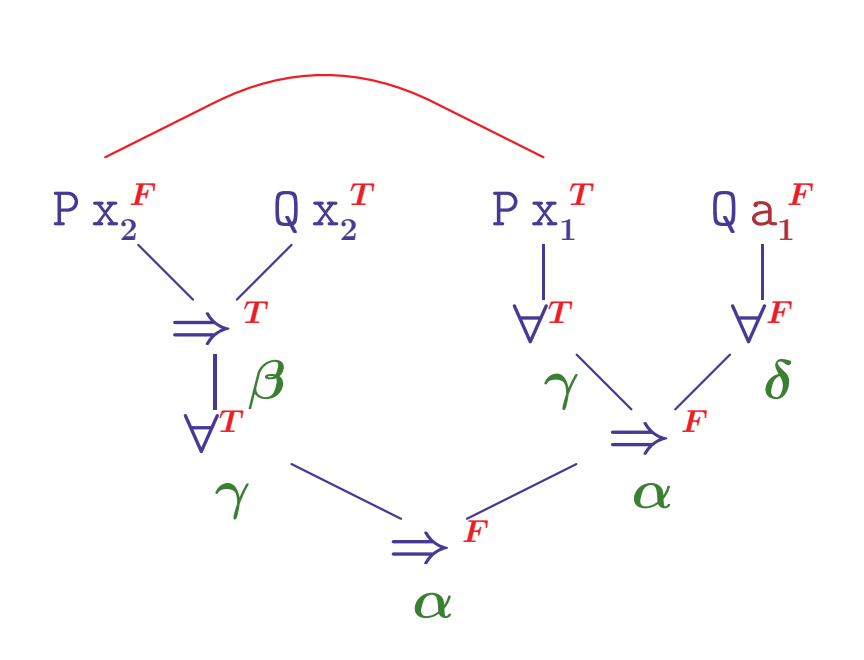
$$(\forall x Q x)^{F}$$

$$(\forall x Q x)^{F}$$

$$Q a^{F}$$

$$P a \Rightarrow Q a^{T}$$

$$(\forall x Q x)^{F}$$



 $x_1$  muß gleich  $x_2$  sein

$$(\forall x P x \Rightarrow Q x) \Rightarrow ((\forall x P x) \Rightarrow (\forall x Q x))^{F}$$

$$(\forall x P x \Rightarrow Q x)^{T}$$

$$(\forall x P x) \Rightarrow (\forall x Q x)^{F}$$

$$(\forall x P x)^{T}$$

$$(\forall x Q x)^{F}$$

$$(\forall x Q x)^{F}$$

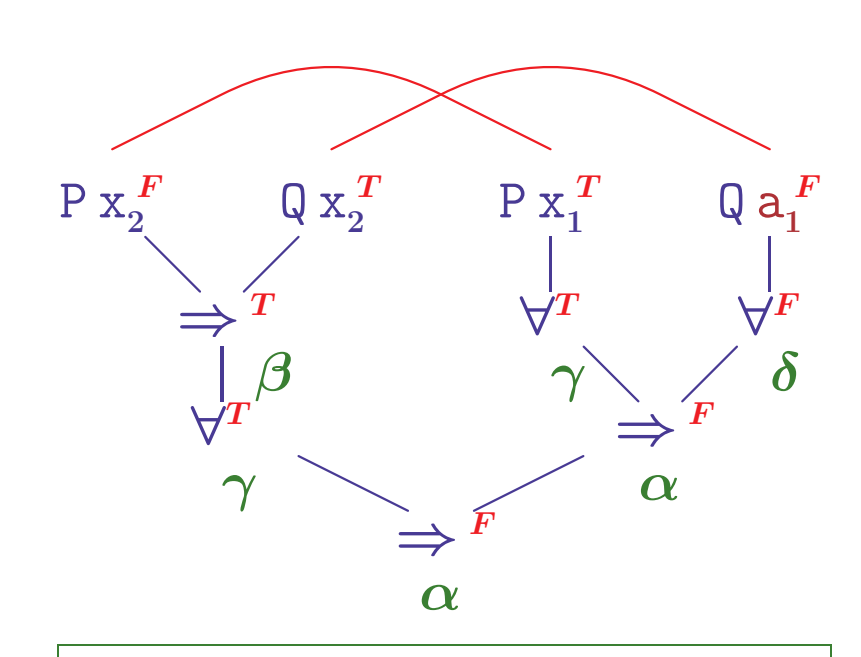
$$Pa^{T}$$

$$Pa^{T}$$

$$Pa \Rightarrow Qa^{T}$$

$$Pa^{F}$$

$$X$$



 $x_1$  muß gleich  $x_2$  sein  $x_2$  muß gleich  $a_1$  sein Instantiiere  $x_1 := x_2 := a_1$ 

$$(\forall x P x \Rightarrow Q x) \Rightarrow ((\forall x P x) \Rightarrow (\forall x Q x))^{F}$$

$$(\forall x P x \Rightarrow Q x)^{T}$$

$$(\forall x P x) \Rightarrow (\forall x Q x)^{F}$$

$$(\forall x P x)^{T}$$

$$(\forall x P x)^{F}$$

$$(\forall x Q x)^{F}$$

$$Q a^{F}$$

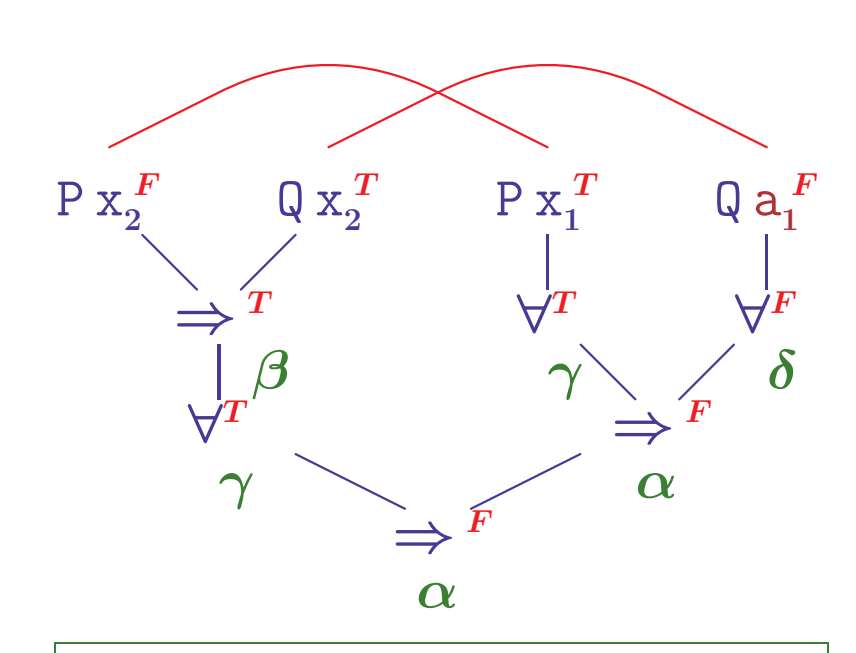
$$P a^{T}$$

$$P a \Rightarrow Q a^{T}$$

$$P a \Rightarrow Q a^{T}$$

$$X$$

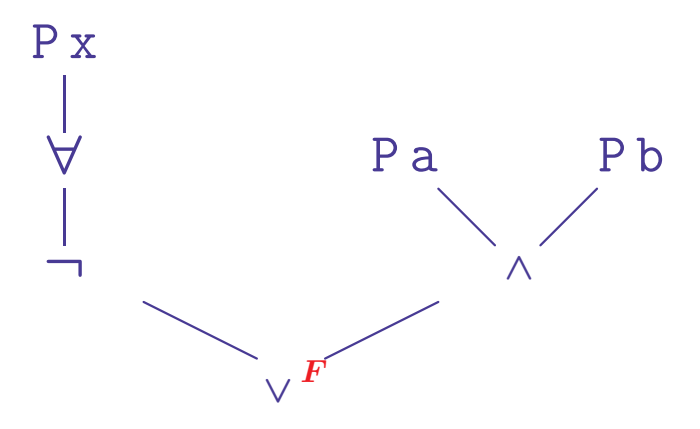
 $\forall x \ Qx \ muß \ vor \ den$  $\gamma$ -Knoten zerlegt werden



 $x_1$  muß gleich  $x_2$  sein  $x_2$  muß gleich  $a_1$  sein Instantiiere  $x_1 := x_2 := a_1$ 

 $a_1$  muß vor  $x_1/x_2$  freigegeben werden

$$\neg(\forall x P x) \lor (P a \land P b)^{F}$$



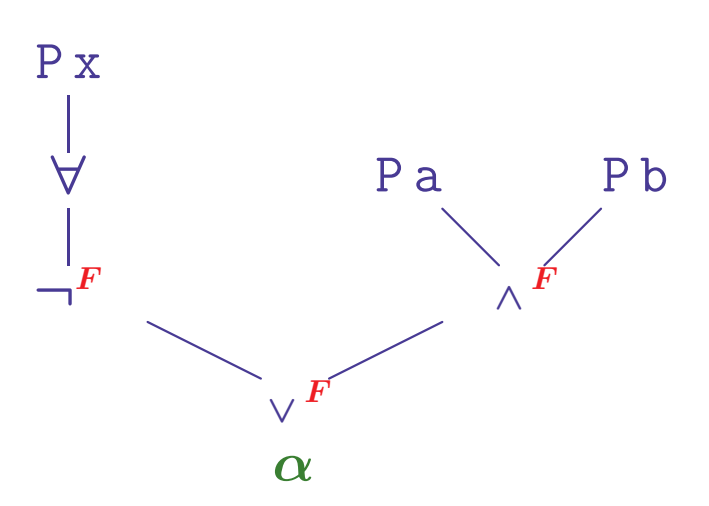
- Inferenzmethoden §3 \_\_\_\_\_\_ 4 \_\_\_\_\_ Verdichtung des logischen Schliessens IIMatrix-Beweise \_

$$\alpha \longrightarrow \neg(\forall x P x) \lor (Pa \land Pb)^{F}$$

$$\neg(\forall x P x)^{F}$$

$$\neg(\forall x P x)^{F}$$

$$(Pa \land Pb)^{F}$$



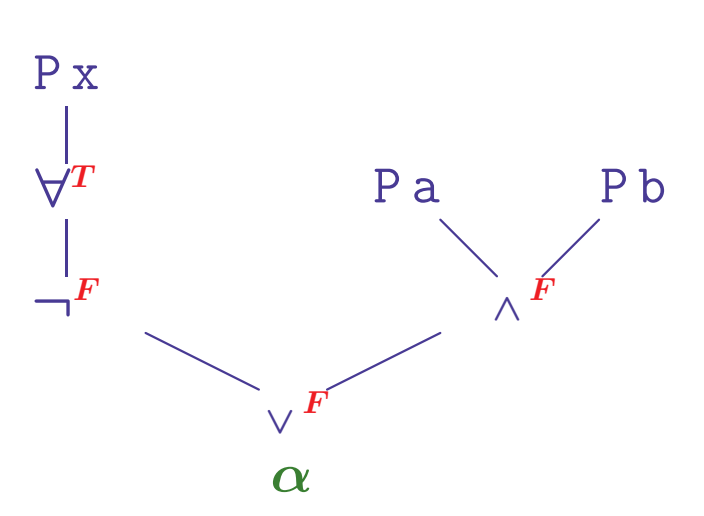
$$\alpha \longrightarrow \neg(\forall x P x) \lor (Pa \land Pb)^{F}$$

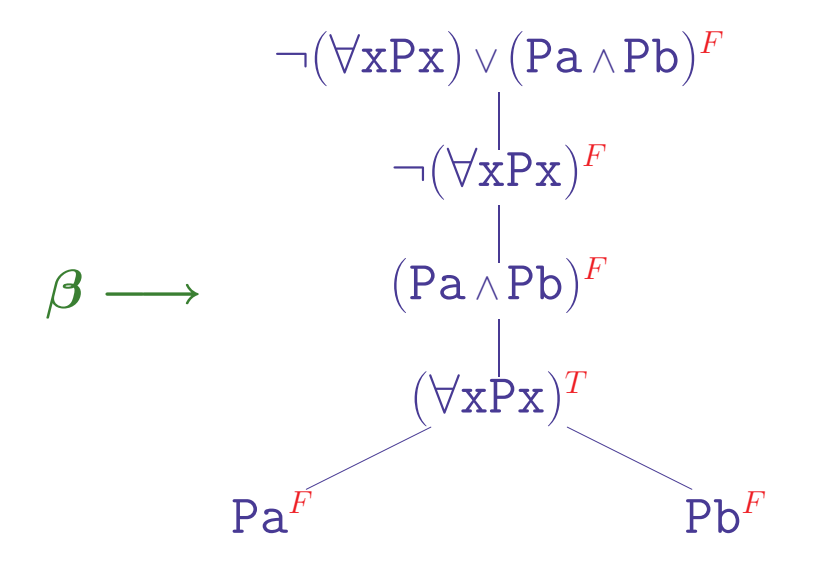
$$\neg(\forall x P x)^{F}$$

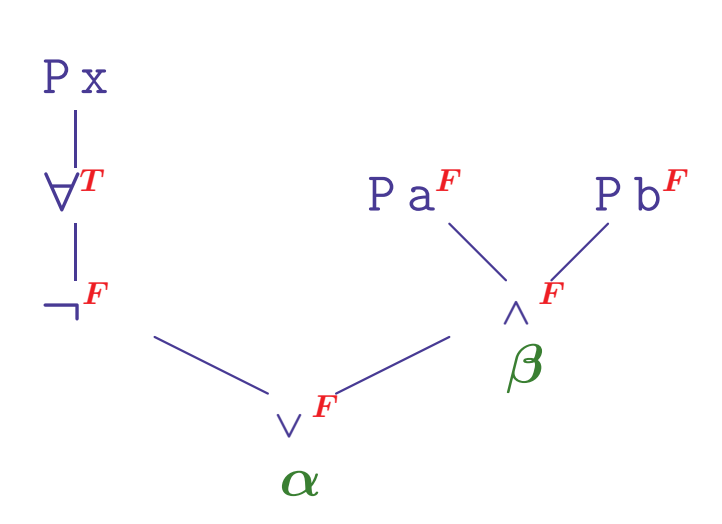
$$\neg(\forall x P x)^{F}$$

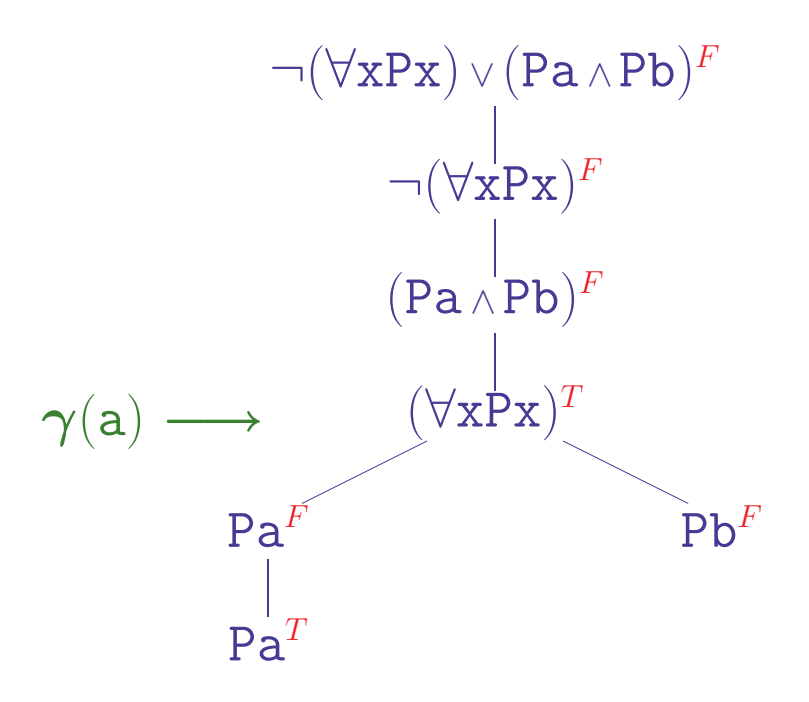
$$(Pa \land Pb)^{F}$$

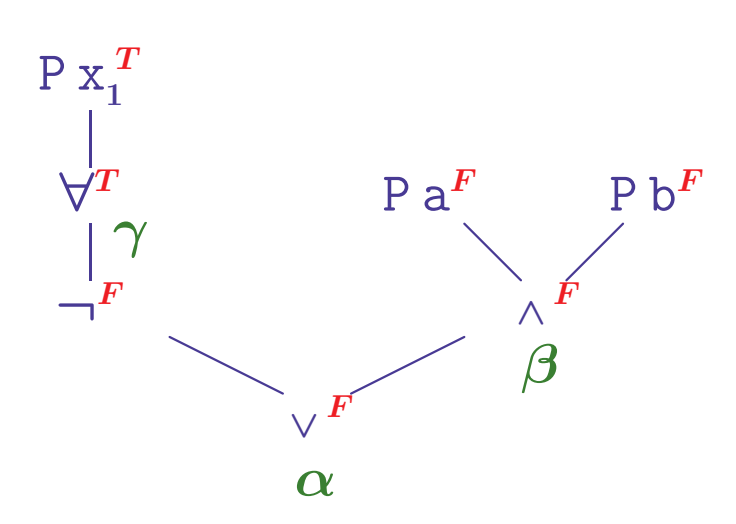
$$(\forall x P x)^{T}$$

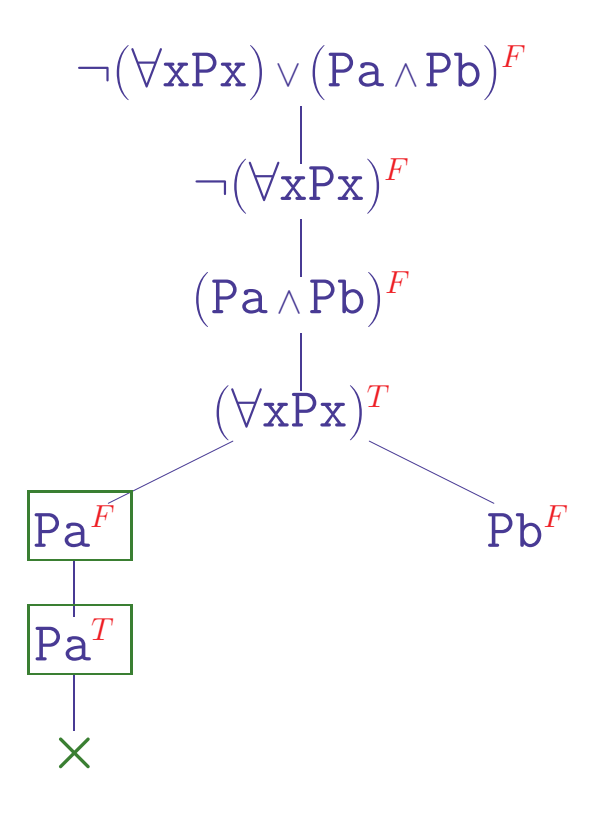


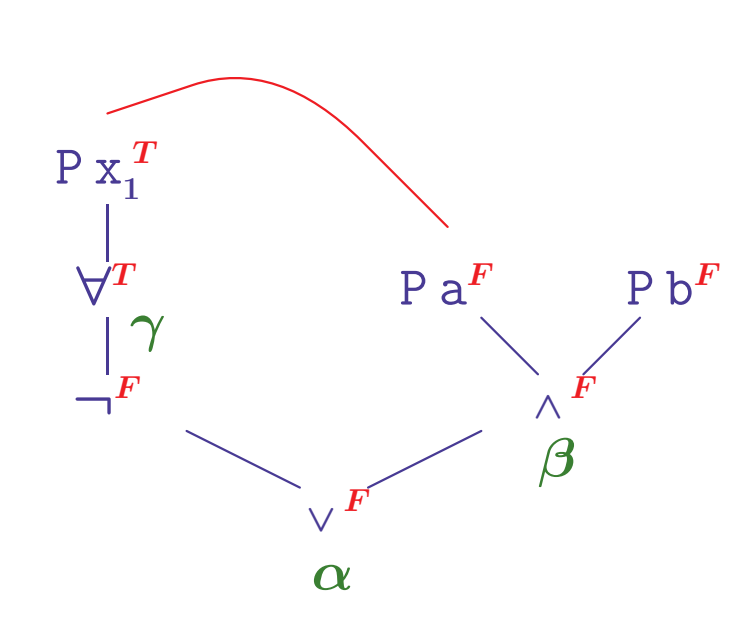




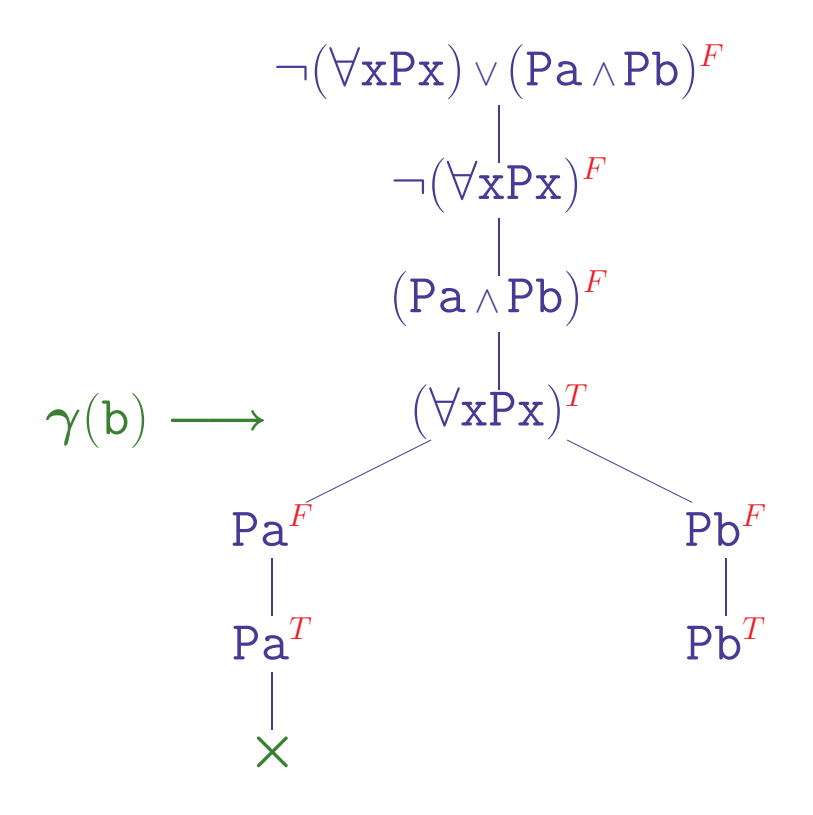


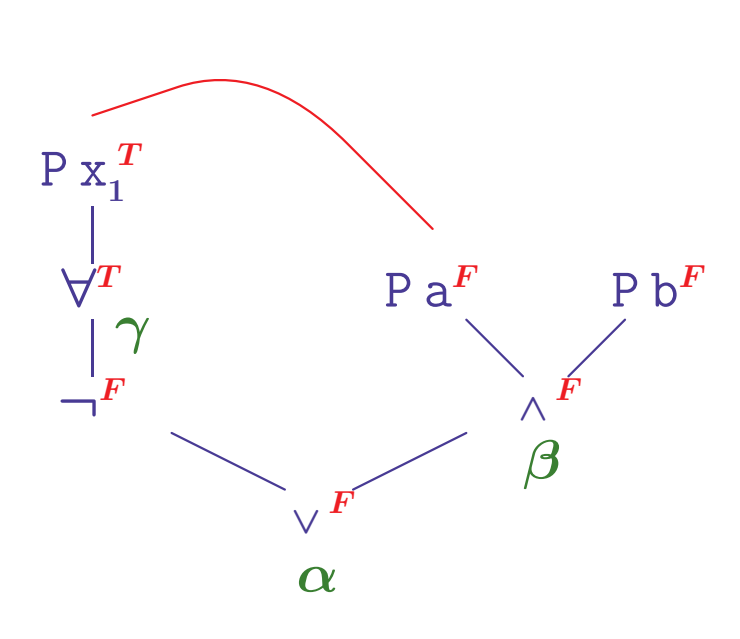


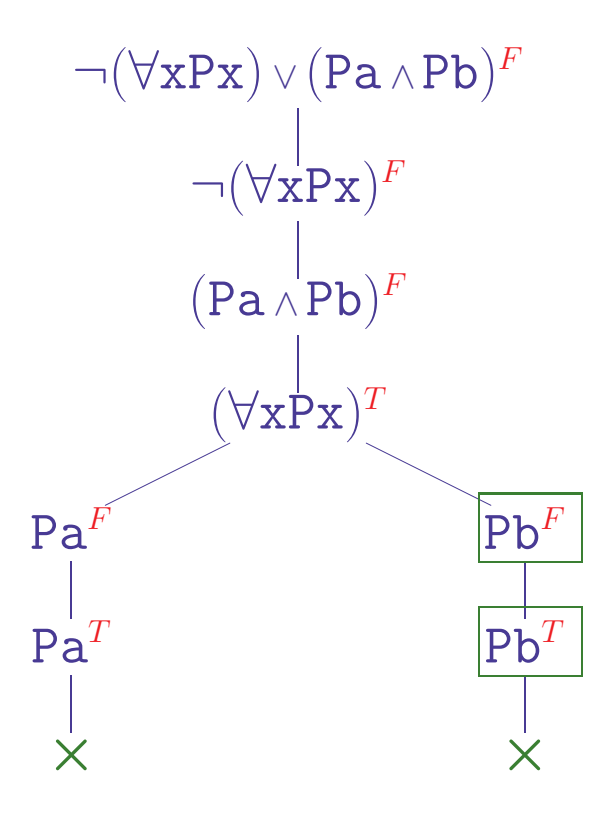


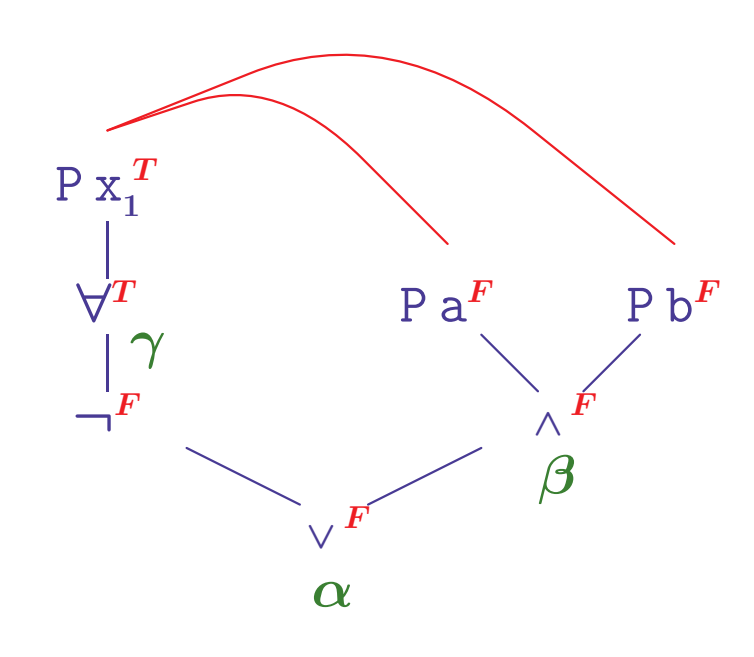


x<sub>1</sub> muß gleich a sein

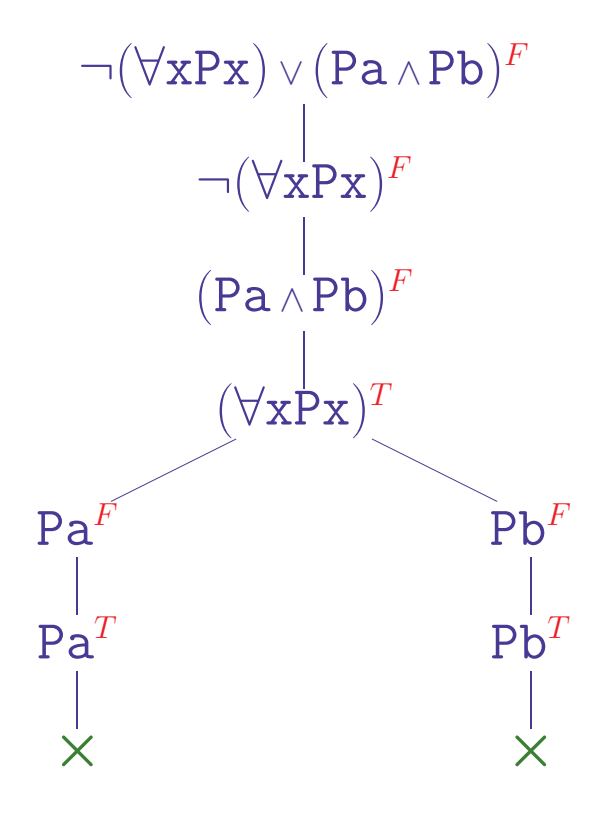


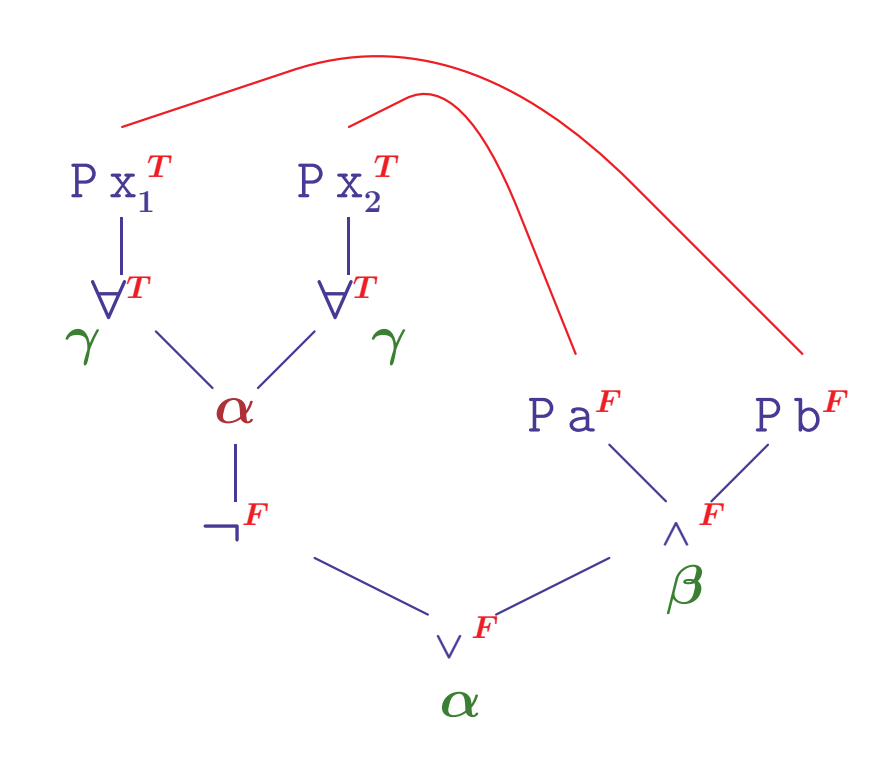






x<sub>1</sub> muß gleich a und gleich b sein





Zwei Instanzen derselben Formel

 $\gamma$ -Formel hat Multiplizität 2 Instantiiere  $x_1 := b, x_2 := a$ 

#### • Formelbaum enthält alle Teilformeln eines Beweises

- Es reicht, Knoten um Tableauxtypen und Polaritäten zu ergänzen
- Beide hängen nur vom Konnektiv und bisheriger Polarität ab

#### • Formelbaum enthält alle Teilformeln eines Beweises

- Es reicht, Knoten um Tableauxtypen und Polaritäten zu ergänzen
- Beide hängen nur vom Konnektiv und bisheriger Polarität ab

### ullet Beweiszweige durch lpha-Knoten beschreibbar

- Nur  $\beta$ -Knoten erzeugen Verzweigungen
- Knoten mit  $\alpha$ -Knoten als gemeinsamen Vorfahr gehören zum selben Zweig

#### • Formelbaum enthält alle Teilformeln eines Beweises

- Es reicht, Knoten um Tableauxtypen und Polaritäten zu ergänzen
- Beide hängen nur vom Konnektiv und bisheriger Polarität ab

### ullet Beweiszweige durch lpha-Knoten beschreibbar

- Nur  $\beta$ -Knoten erzeugen Verzweigungen
- Knoten mit  $\alpha$ -Knoten als gemeinsamen Vorfahr gehören zum selben Zweig

### • Komplementaritätstests reichen aus

- Alle Zweige müssen komplementäre Literale enthalten
- Komplementarität kann durch Substitution erzeugt werden
- $-\gamma$ -Knoten dürfen dupliziert werden

#### • Formelbaum enthält alle Teilformeln eines Beweises

- Es reicht, Knoten um Tableauxtypen und Polaritäten zu ergänzen
- Beide hängen nur vom Konnektiv und bisheriger Polarität ab

### • Beweiszweige durch $\alpha$ -Knoten beschreibbar

- Nur  $\beta$ -Knoten erzeugen Verzweigungen
- Knoten mit  $\alpha$ -Knoten als gemeinsamen Vorfahr gehören zum selben Zweig

### • Komplementaritätstests reichen aus

- Alle Zweige müssen komplementäre Literale enthalten
- Komplementarität kann durch Substitution erzeugt werden
- $-\gamma$ -Knoten dürfen dupliziert werden

## • Substitutionen bestimmen Reduktionsordnung

- Tableauxbeweis muß Ordnung des Formelbaums berücksichtigen
- Tableauxbeweis muß Variablen in Termen, die für  $\gamma$ -Variablen eingesetzt werden, bereits freigelegt haben

# Matrixkalküle präzisiert: Formelbaum

# • (Annotierter) Formelbaum

- Syntaxbaum der Formel, in der jeder Knoten markiert ist mit
  - · **Position**: ein eindeutiger Name  $a_0, a_1, ...,$  mit dem Knoten identifiziert
  - · Label: ein logisches Konnektiv oder atomare Formel
  - $\cdot$  **Polarität**: T oder F
  - · **Typ**:  $\alpha$ ,  $\beta$ ,  $\gamma$ , oder  $\delta$
- Knoten mit atomaren Formeln als Label heißen Atome (atomare Positionen)
- Die Baumordnung 

  ✓ ist die partielle Ordnung der Knoten im Baum

## Matrixkalküle präzisiert: Formelbaum

# • (Annotierter) Formelbaum

- Syntaxbaum der Formel, in der jeder Knoten markiert ist mit
  - · **Position**: ein eindeutiger Name  $a_0, a_1, ...,$  mit dem Knoten identifiziert
  - · Label: ein logisches Konnektiv oder atomare Formel
  - $\cdot$  **Polarität**: T oder F
  - · **Typ**:  $\alpha$ ,  $\beta$ ,  $\gamma$ , oder  $\delta$
- Knoten mit atomaren Formeln als Label heißen Atome (atomare Positionen)
- Die Baumordnung 

  ✓ ist die partielle Ordnung der Knoten im Baum
- Multiplizität  $\mu(a_i)$  eines  $\gamma$ -Knotens  $a_i$ 
  - Anzahl der Kopien des Knotens im Baum ( $\hat{}$  Instanzen des zugehörigen Quantors)

## Matrixkalküle präzisiert: Formelbaum

## • (Annotierter) Formelbaum

- Syntaxbaum der Formel, in der jeder Knoten markiert ist mit
  - · **Position**: ein eindeutiger Name  $a_0, a_1, ...,$  mit dem Knoten identifiziert
  - · Label: ein logisches Konnektiv oder atomare Formel
  - $\cdot$  **Polarität**: T oder F
  - · **Typ**:  $\alpha$ ,  $\beta$ ,  $\gamma$ , oder  $\delta$
- Knoten mit atomaren Formeln als Label heißen Atome (atomare Positionen)
- Die Baumordnung 

  ✓ ist die partielle Ordnung der Knoten im Baum

# • Multiplizität $\mu(a_i)$ eines $\gamma$ -Knotens $a_i$

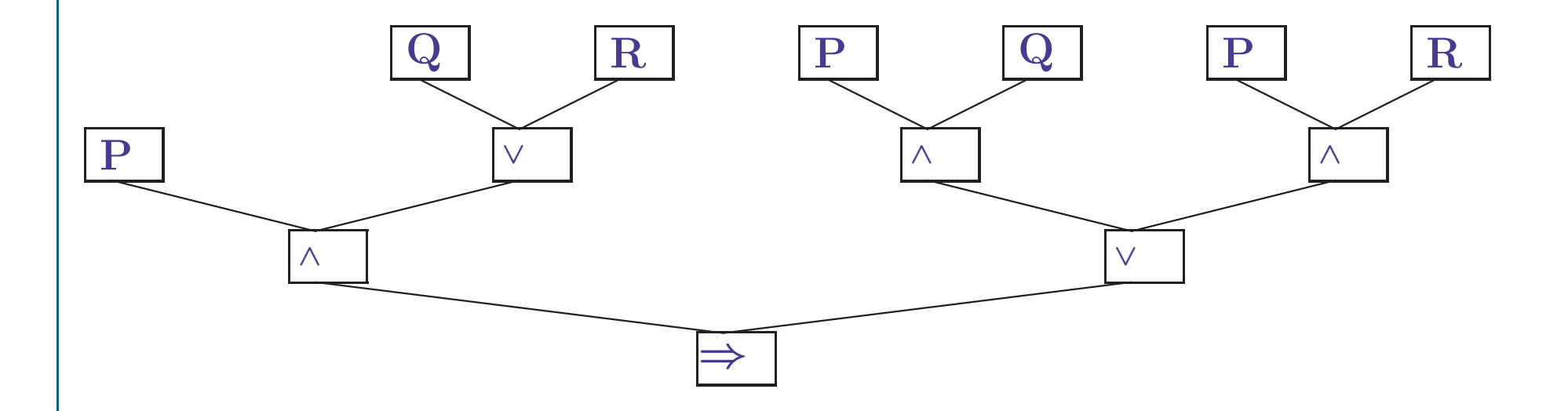
- Anzahl der Kopien des Knotens im Baum ( $\hat{}$  Instanzen des zugehörigen Quantors)

# • Systematische Zuordnung von Polarität und Typ

- Die Wurzel  $a_0$  hat Polarität F
- Typ und Nachfolgerpolarität einer Position  $a_i$  werden tabellarisch bestimmt

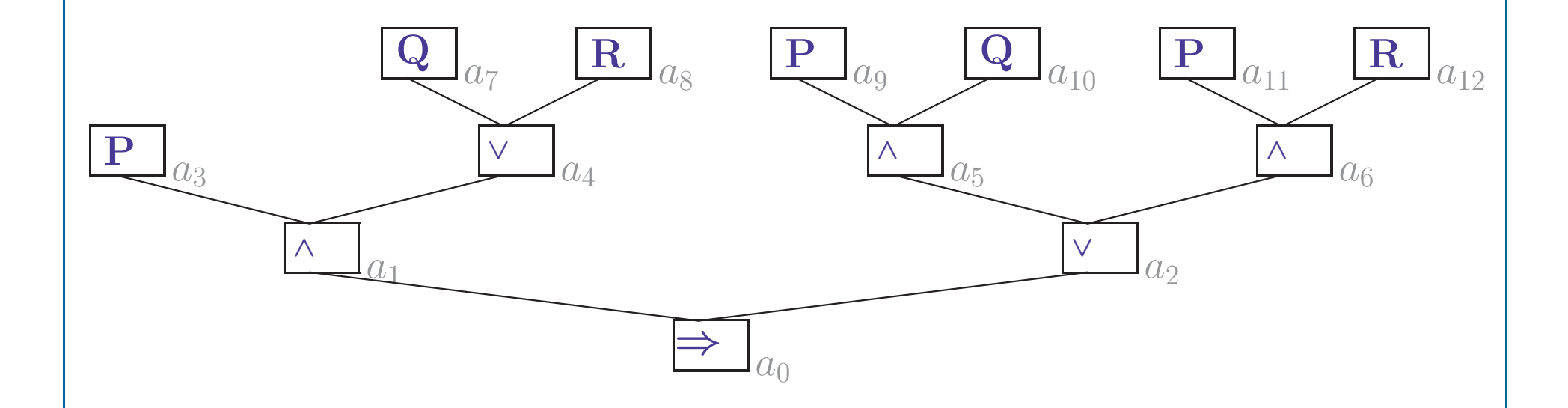
$\alpha$	$(X \wedge Y)^T$	$(X \vee Y)^F$	$(X \Rightarrow Y)^{\mathbf{F}}$	$\neg X^T$	$\neg X^F$	$\beta$	$(X \wedge Y)^F$	$(X \vee Y)^T$	$(X \Rightarrow Y)^T$
$\alpha_1$	$X^T$	$X^F$	$X^T$	$X^F$	$X^T$	$\beta_1$	$X^F$	$X^T$	$X^F$
$lpha_2$	$Y^T$	$Y^F$	$Y^F$	—	_	$eta_2$	$Y^F$	$Y^T$	$Y^T$
$\gamma$	$\forall x A^T$	$\exists x A^F$				δ	$\forall x A^F$	$\exists x A^T$	
$\gamma(a_i^j)$	$A[a_i^j/x]^{\mathbf{T}}$	$A[a_i^j/x]^F$				$\delta(a_i)$	$A[a_i/x]^F$	$A[a_i/x]^{T}$	

$$\overline{(P \wedge (Q ee R)) \Rightarrow ((P \wedge Q) ee (P \wedge R))}$$



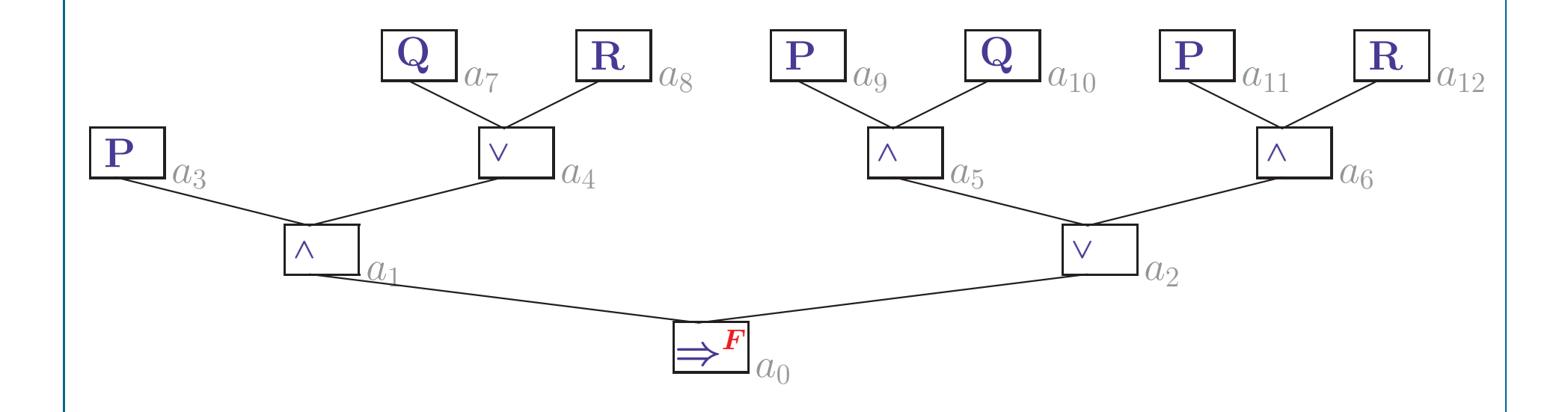
Parsen der Formel erzeugt Syntaxbaum der Formel

$$(P \land (Q \lor R)) \Rightarrow ((P \land Q) \lor (P \land R))$$



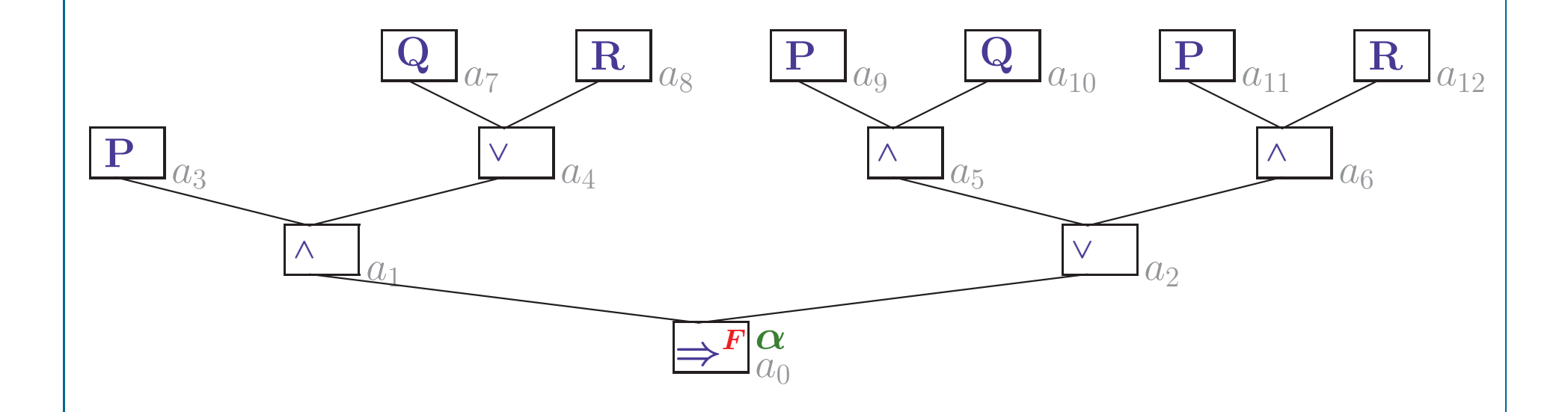
## Ergänzung der Positionen

$$(P \land (Q \lor R)) \Rightarrow ((P \land Q) \lor (P \land R))$$



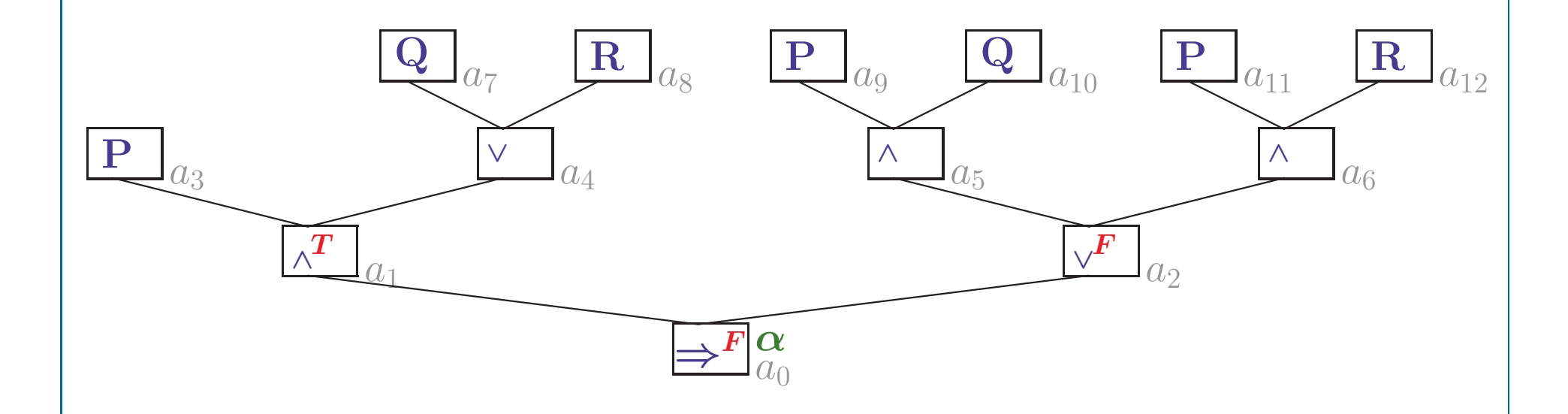
#### Polarität der Wurzel

$$(P \land (Q \lor R)) \Rightarrow ((P \land Q) \lor (P \land R))$$



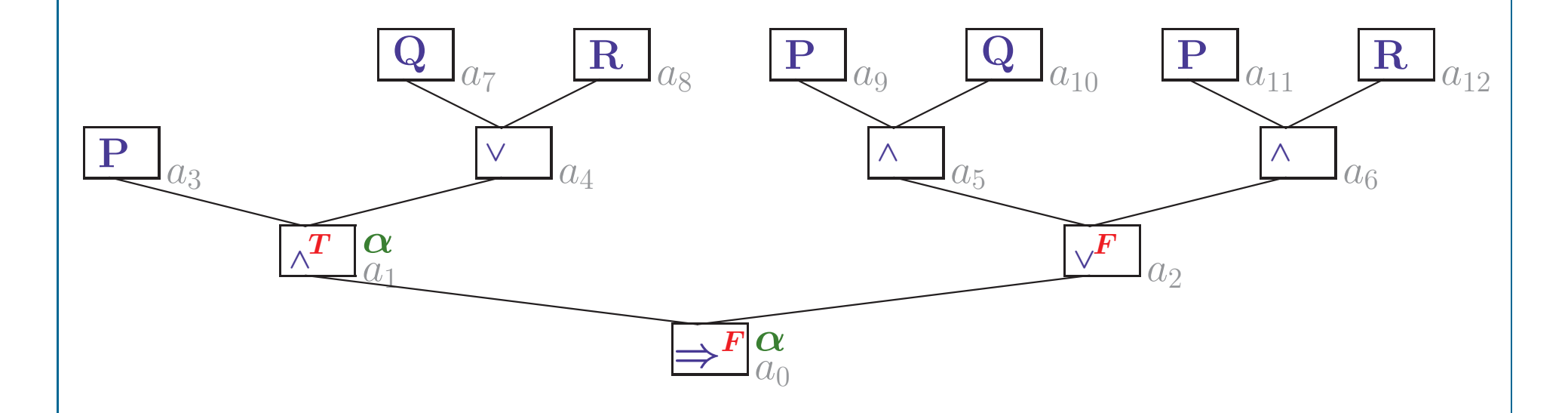
## Typ der Wurzel

$$(P \land (Q \lor R)) \Rightarrow ((P \land Q) \lor (P \land R))$$



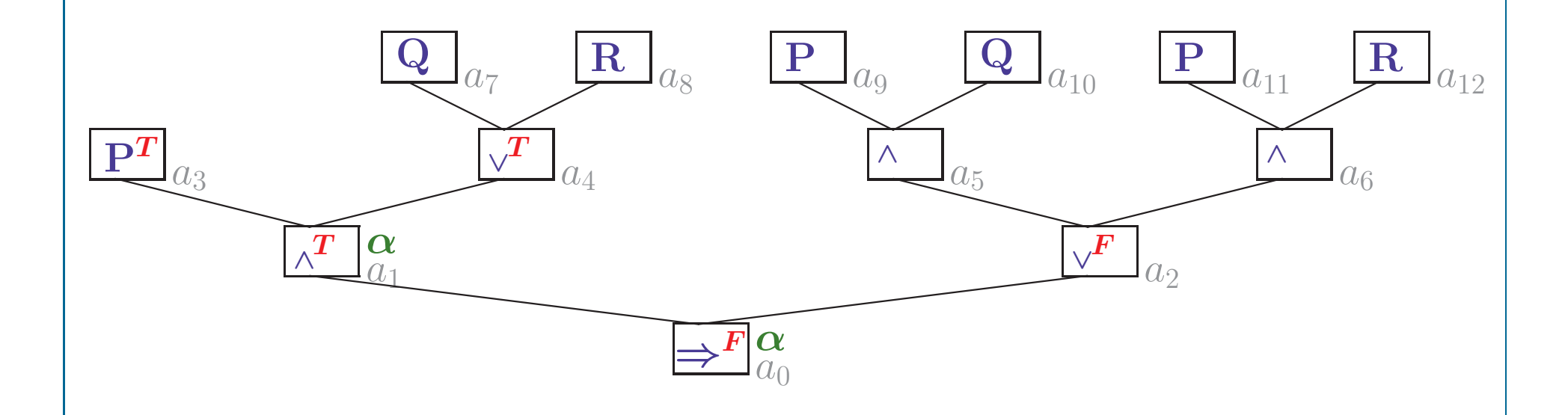
## Polaritäten der Nachfolger

$$(P \land (Q \lor R)) \Rightarrow ((P \land Q) \lor (P \land R))$$



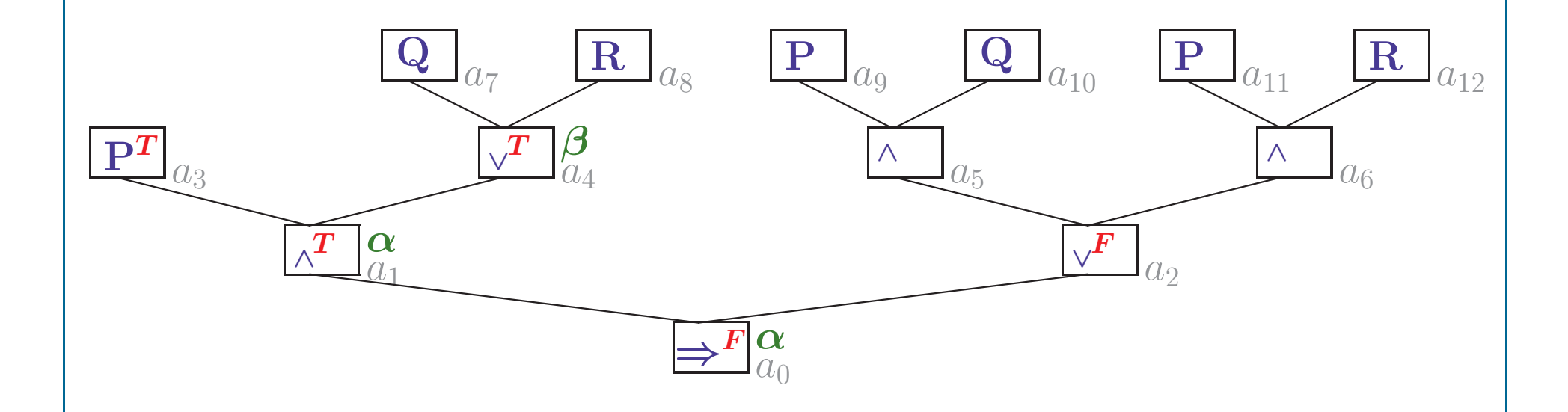
## Typ des linken Nachfolgers

$$(P \land (Q \lor R)) \Rightarrow ((P \land Q) \lor (P \land R))$$



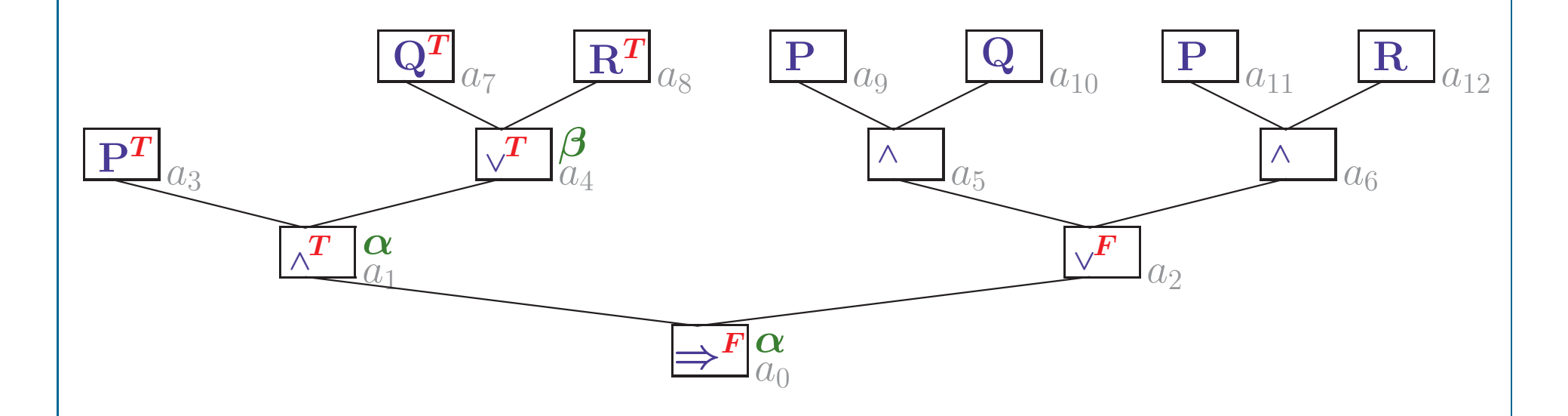
#### Polaritäten

$$(P \land (Q \lor R)) \Rightarrow ((P \land Q) \lor (P \land R))$$

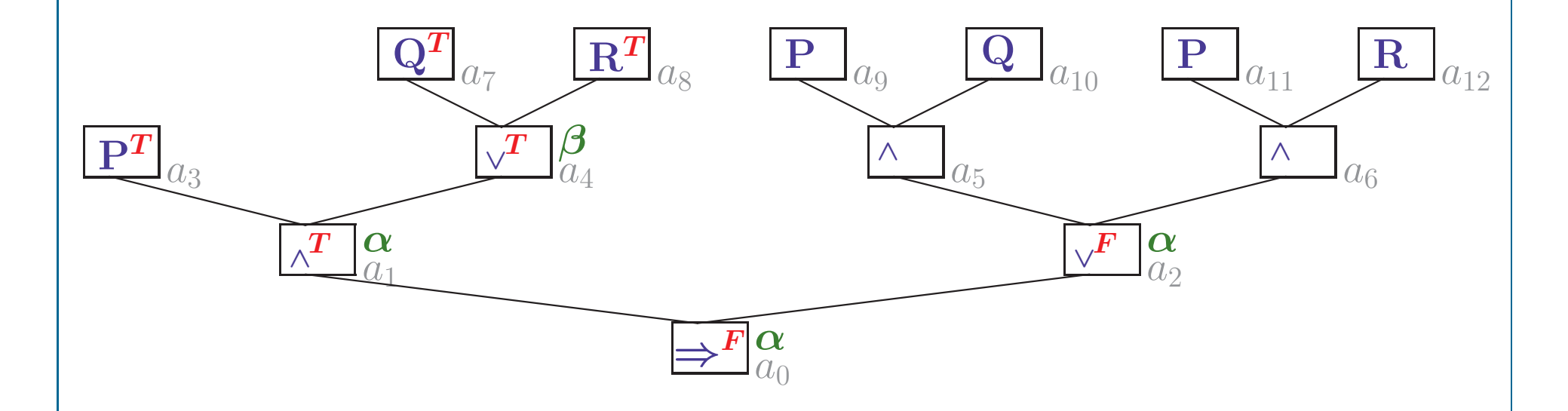


• • • • •

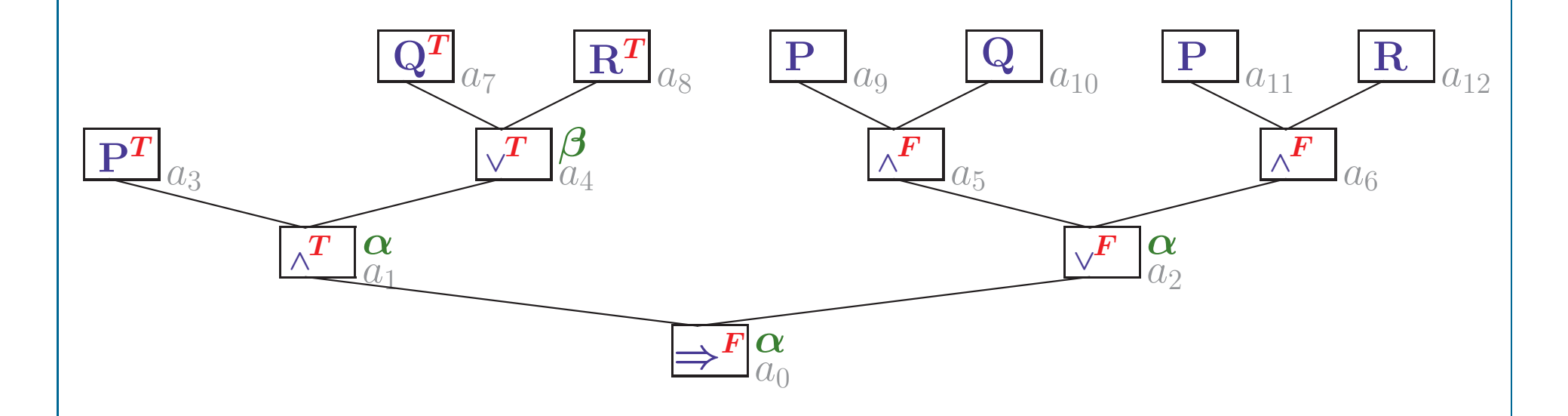
$$(P \land (Q \lor R)) \Rightarrow ((P \land Q) \lor (P \land R))$$



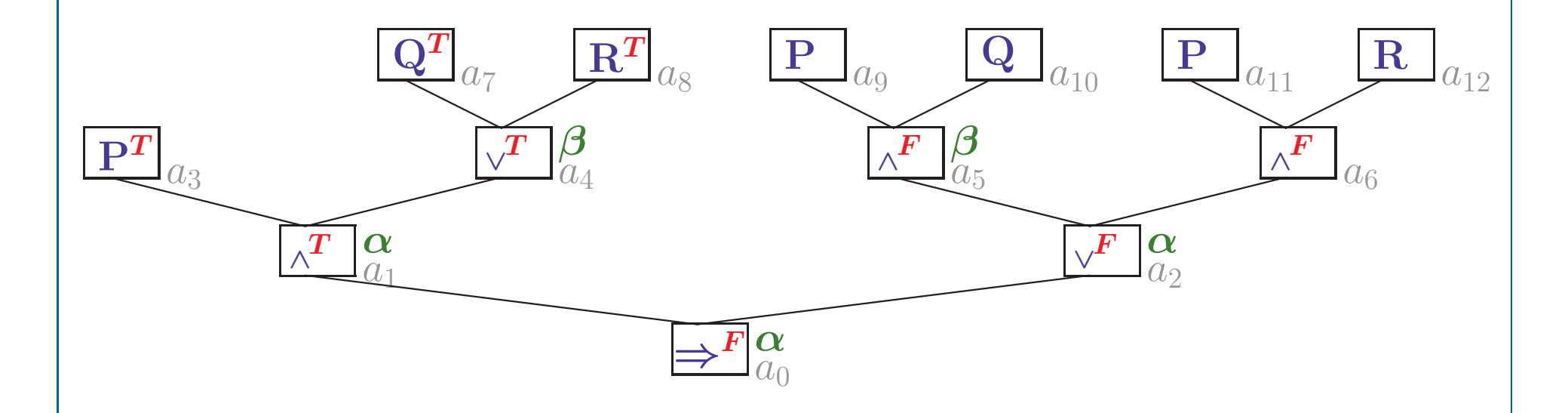
$$(P \land (Q \lor R)) \Rightarrow ((P \land Q) \lor (P \land R))$$



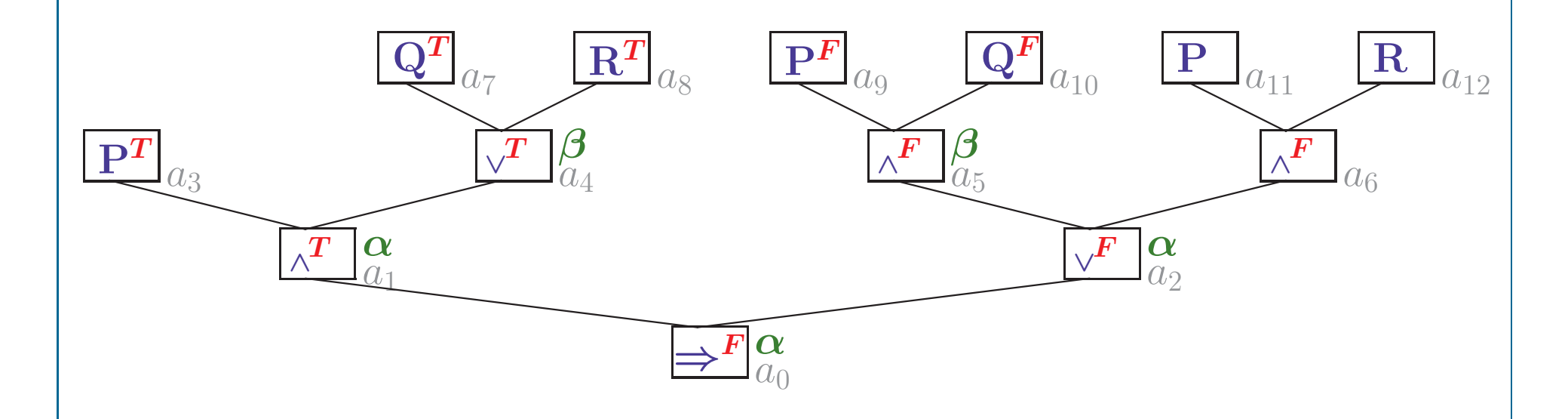
$$(P \land (Q \lor R)) \Rightarrow ((P \land Q) \lor (P \land R))$$



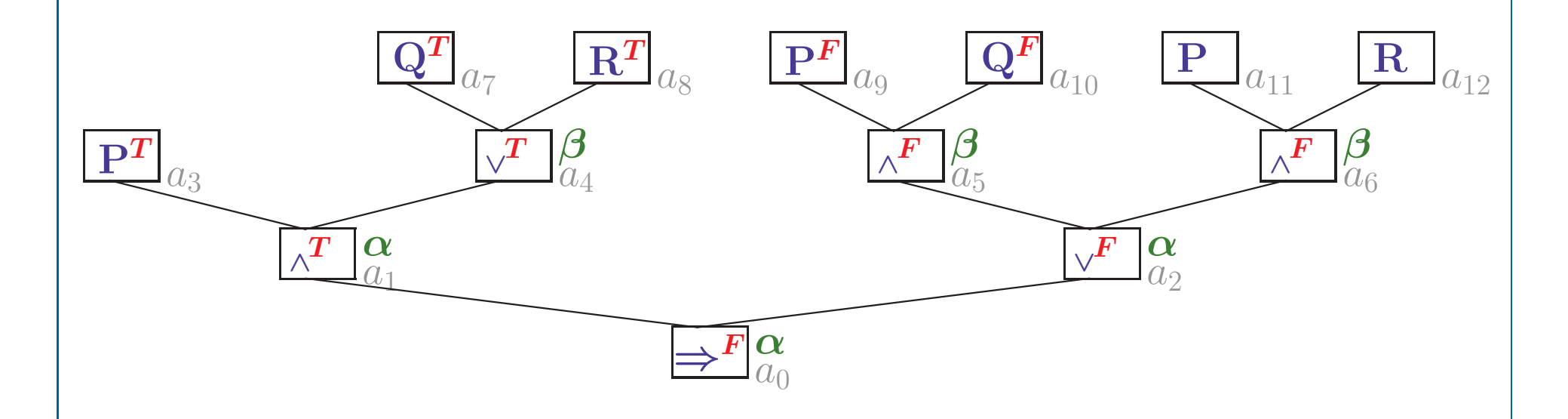
$$(P \land (Q \lor R)) \Rightarrow ((P \land Q) \lor (P \land R))$$



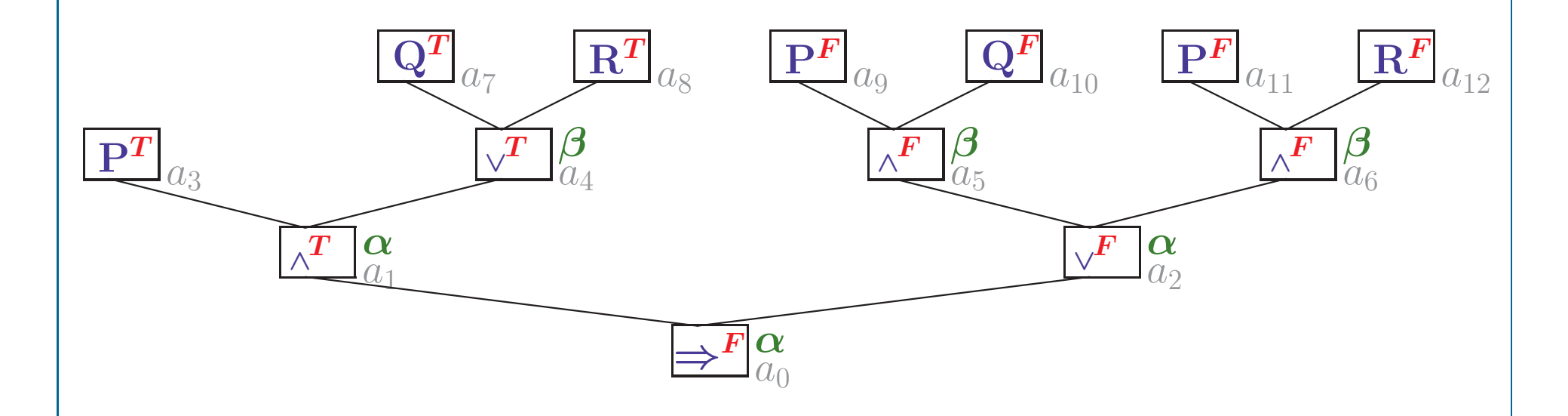
$$(P \land (Q \lor R)) \Rightarrow ((P \land Q) \lor (P \land R))$$



$$(P \land (Q \lor R)) \Rightarrow ((P \land Q) \lor (P \land R))$$



$$(P \land (Q \lor R)) \Rightarrow ((P \land Q) \lor (P \land R))$$



### FORMELBAUM MIT MULITPLIZITÄT

$$(\forall xSx) \land (\forall y \neg (Ty \Rightarrow Ry) \Rightarrow Py) \Rightarrow \neg (\exists z(Pz \Rightarrow Qz) \land (Tz \Rightarrow Rz)) \Rightarrow \neg \neg Pa \land Sa \land Sb$$

$$Ta_4^F_{Q_8} Ra_4^T_{Q_9} Ra_{13}^T_{Q_{13}} Ra_{13}^T_{Q_{13}} Ra_{13}^T_{Q_{19}} Ra_{13}^T_{Q_{20}}$$

$$\Rightarrow^F_{Q_1} \alpha_{15} \qquad \Rightarrow^F_{Q_1} \alpha_{15} \qquad \Rightarrow^F_{Q_2} \alpha_{15} \qquad \Rightarrow^F_{Q_2} \alpha_{15}^T_{Q_2} \qquad \Rightarrow^F_{Q_2} \alpha_{15}$$

- $\alpha/\beta$ -Beziehung zwischen atomaren Positionen
  - $-\boldsymbol{u} \sim_{\alpha} \boldsymbol{v}$ :  $u \neq v$  und größter gemeinsamer Vorfahr hat Typ  $\alpha$
  - $-\mathbf{u} \sim_{\beta} \mathbf{v}$ :  $u \neq v$  und größter gemeinsamer Vorfahr hat Typ  $\beta$

# • $\alpha/\beta$ -Beziehung zwischen atomaren Positionen

- $-\mathbf{u} \sim_{\alpha} \mathbf{v}$ :  $u \neq v$  und größter gemeinsamer Vorfahr hat Typ  $\alpha$
- $-u\sim_{\beta}v$ : u≠v und größter gemeinsamer Vorfahr hat Typ  $\beta$

#### Pfad

- (Maximale) Menge von Atomen in gegenseitiger  $\alpha$ -Beziehung

# • $\alpha/\beta$ -Beziehung zwischen atomaren Positionen

- $-u\sim_{\alpha}v$ :  $u\neq v$  und größter gemeinsamer Vorfahr hat Typ  $\alpha$
- $-\mathbf{u} \sim_{\beta} \mathbf{v}$ :  $u \neq v$  und größter gemeinsamer Vorfahr hat Typ  $\beta$

#### Pfad

– (Maximale) Menge von Atomen in gegenseitiger  $\alpha$ -Beziehung

#### Konnektion

– Paar  $\{u,v\}$  von Knoten mit gleichem Label, unterschiedlicher Polarität

# • $\alpha/\beta$ -Beziehung zwischen atomaren Positionen

- $-\mathbf{u} \sim_{\alpha} \mathbf{v}$ :  $u \neq v$  und größter gemeinsamer Vorfahr hat Typ  $\alpha$
- $-\mathbf{u} \sim_{\beta} \mathbf{v}$ :  $u \neq v$  und größter gemeinsamer Vorfahr hat Typ  $\beta$

#### Pfad

- (Maximale) Menge von Atomen in gegenseitiger  $\alpha$ -Beziehung

#### Konnektion

– Paar  $\{u,v\}$  von Knoten mit gleichem Label, unterschiedlicher Polarität

# $\bullet$ $\sigma$ -komplementäre Konnektion

– Konnektion  $\{u,v\}$  deren Label mit der Substitution  $\sigma$  unifizierbar sind

# • $\alpha/\beta$ -Beziehung zwischen atomaren Positionen

- $-\boldsymbol{u} \sim_{\alpha} \boldsymbol{v}$ :  $u \neq v$  und größter gemeinsamer Vorfahr hat Typ  $\alpha$
- $-\mathbf{u} \sim_{\beta} \mathbf{v}$ :  $u \neq v$  und größter gemeinsamer Vorfahr hat Typ  $\beta$

#### Pfad

– (Maximale) Menge von Atomen in gegenseitiger  $\alpha$ -Beziehung

#### Konnektion

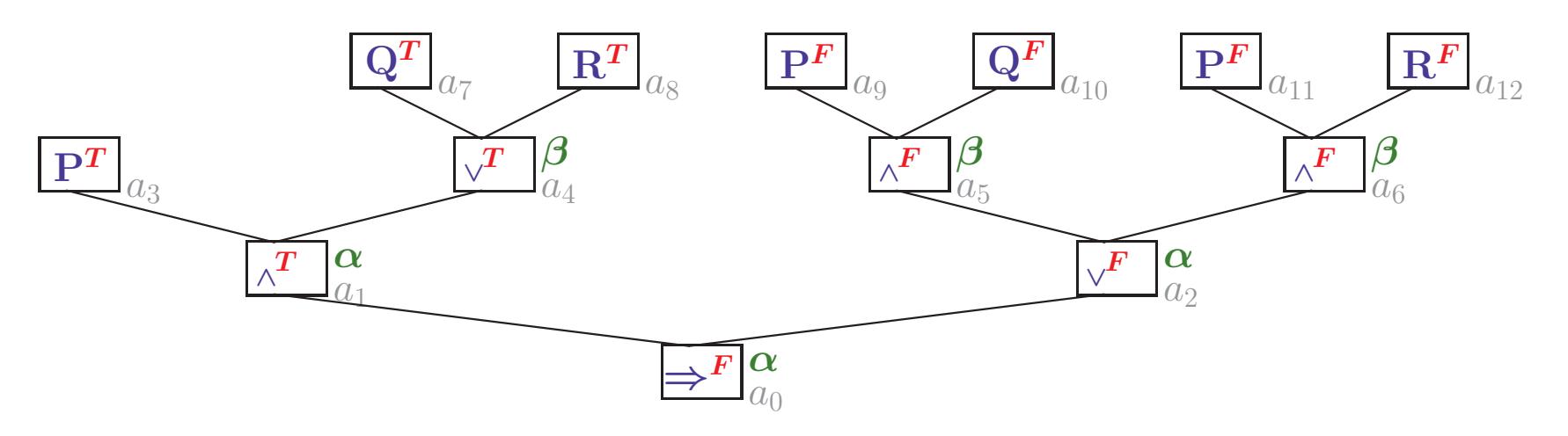
– Paar  $\{u,v\}$  von Knoten mit gleichem Label, unterschiedlicher Polarität

# $\bullet$ $\sigma$ -komplementäre Konnektion

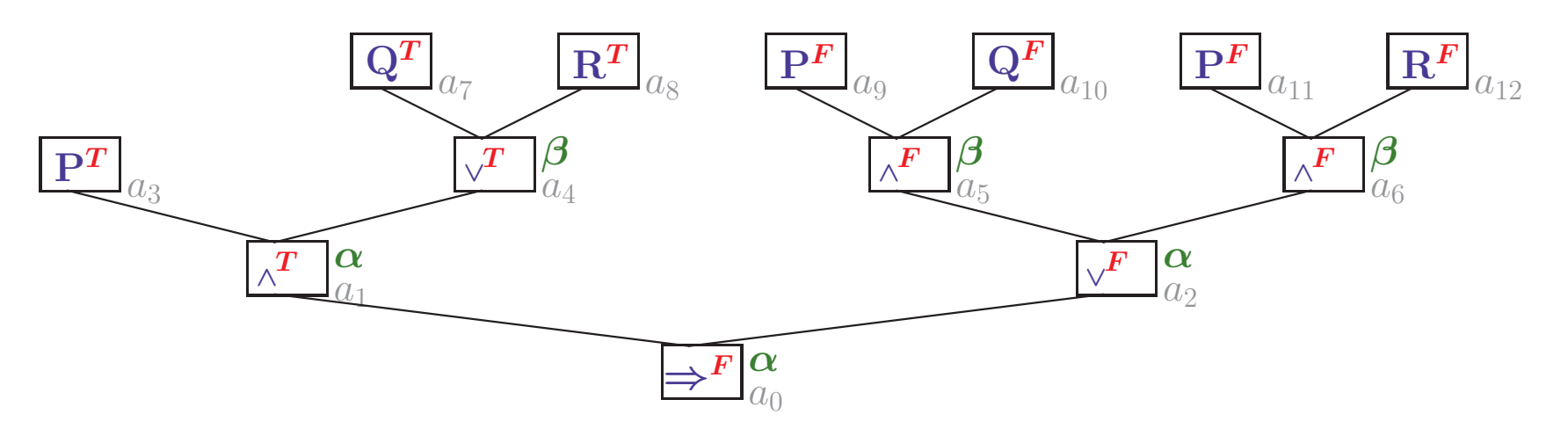
– Konnektion  $\{u,v\}$  deren Label mit der Substitution  $\sigma$  unifizierbar sind

# • Aufspannende Paarung für eine Formel

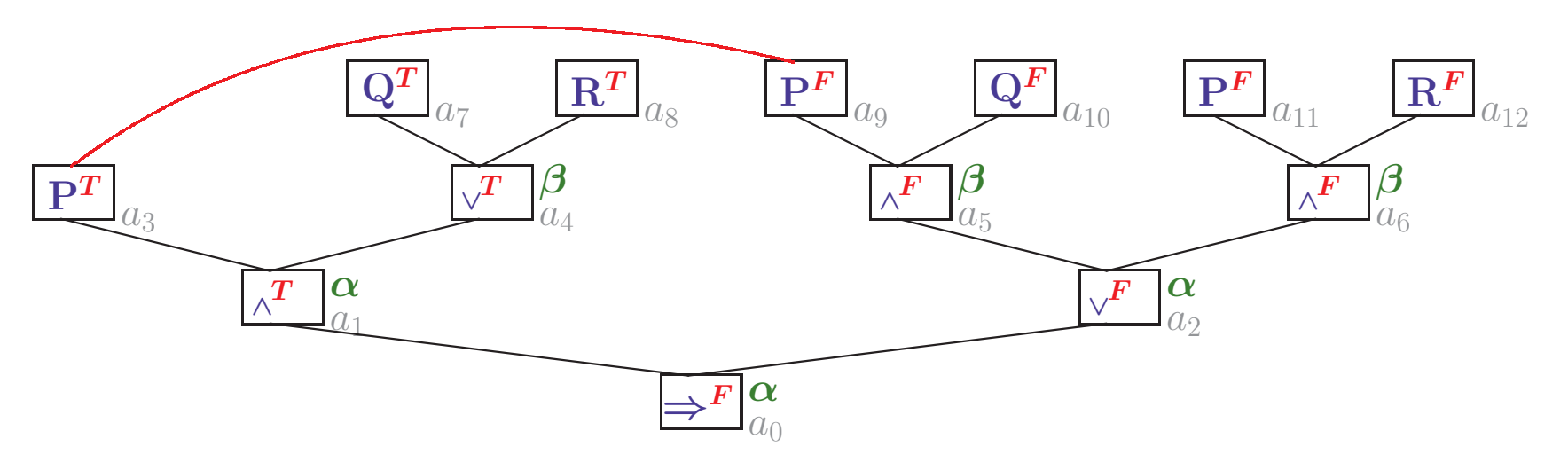
- Paarung: Menge von  $\sigma$ -komplementären Konnektionen,
- Aufspannend: jeder Pfad durch die Formel enthält eine der Konnektionen



- $\bullet \alpha/\beta$ -Beziehungen zwischen atomaren Formeln
  - $-a_{7}\sim_{\beta}a_{8}, \ a_{9}\sim_{\beta}a_{10}, \ a_{11}\sim_{\beta}a_{12}$
  - Für alle anderen Paare von Atomen gilt  $a_i \sim_{\alpha} a_j$



- $\alpha/\beta$ -Beziehungen zwischen atomaren Formeln
  - $-a_{7}\sim_{\beta}a_{8}, \ a_{9}\sim_{\beta}a_{10}, \ a_{11}\sim_{\beta}a_{12}$
  - Für alle anderen Paare von Atomen gilt  $a_i \sim_{\alpha} a_i$
- 3  $\beta$ -Beziehungen liefern 8 Pfade:
  - $egin{aligned} -a_3a_7a_9a_{11},\ a_3a_7a_9a_{12},\ a_3a_7a_{10}a_{11},\ a_3a_7a_{10}a_{12},\ a_3a_8a_9a_{11},\ a_3a_8a_9a_{12},\ a_3a_8a_{10}a_{11},\ a_3a_8a_{10}a_{12} \end{aligned}$



# • $\alpha/\beta$ -Beziehungen zwischen atomaren Formeln

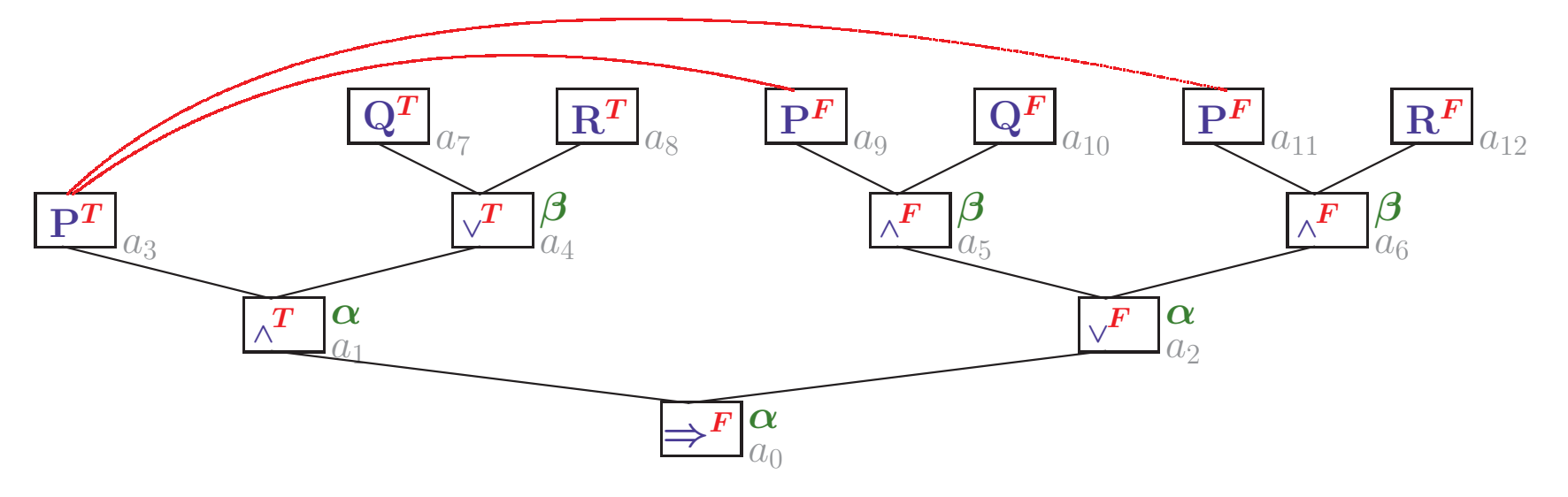
- $-a_{7}\sim_{\beta}a_{8}, \ a_{9}\sim_{\beta}a_{10}, \ a_{11}\sim_{\beta}a_{12}$
- Für alle anderen Paare von Atomen gilt  $a_i \sim_{\alpha} a_i$

# • 3 $\beta$ -Beziehungen liefern 8 Pfade:

 $egin{aligned} -a_3a_7a_9a_{11},\ a_3a_7a_9a_{12},\ a_3a_7a_{10}a_{11},\ a_3a_7a_{10}a_{12},\ a_3a_8a_9a_{11},\ a_3a_8a_9a_{12},\ a_3a_8a_{10}a_{11},\ a_3a_8a_{10}a_{12} \end{aligned}$ 

#### • 4 Konnektionen

 $-a_{3}a_{9},$ 



# • $\alpha/\beta$ -Beziehungen zwischen atomaren Formeln

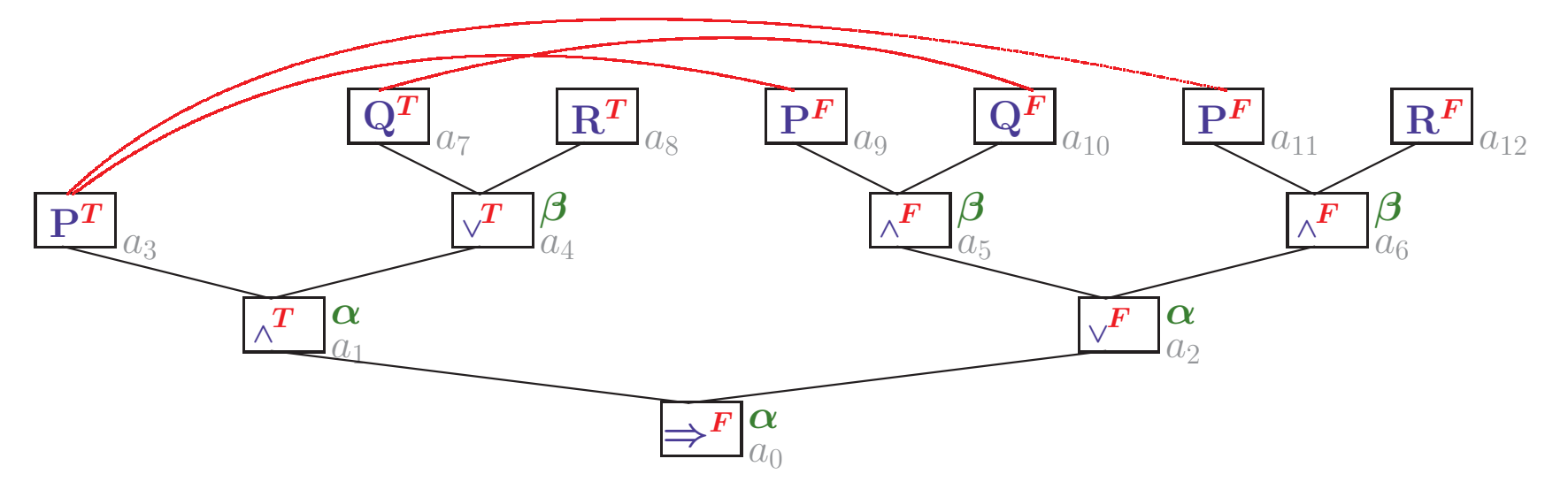
- $-a_{7}\sim_{\beta}a_{8}, \ a_{9}\sim_{\beta}a_{10}, \ a_{11}\sim_{\beta}a_{12}$
- Für alle anderen Paare von Atomen gilt  $a_i \sim_{\alpha} a_i$

## • 3 $\beta$ -Beziehungen liefern 8 Pfade:

 $egin{aligned} -a_3a_7a_9a_{11},\ a_3a_7a_9a_{12},\ a_3a_7a_{10}a_{11},\ a_3a_7a_{10}a_{12},\ a_3a_8a_9a_{11},\ a_3a_8a_9a_{12},\ a_3a_8a_{10}a_{11},\ a_3a_8a_{10}a_{12} \end{aligned}$ 

#### • 4 Konnektionen

 $-a_3a_9, a_3a_{11},$ 



# • $\alpha/\beta$ -Beziehungen zwischen atomaren Formeln

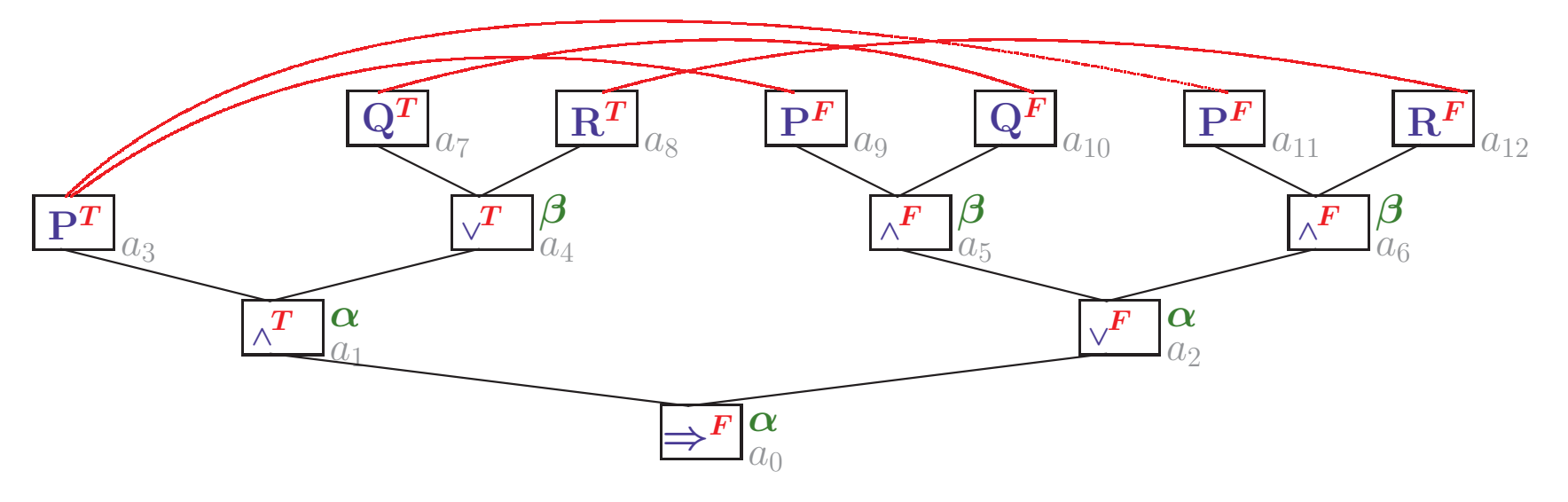
- $-a_{7}\sim_{\beta}a_{8}, \ a_{9}\sim_{\beta}a_{10}, \ a_{11}\sim_{\beta}a_{12}$
- Für alle anderen Paare von Atomen gilt  $a_i \sim_{\alpha} a_i$

# • 3 $\beta$ -Beziehungen liefern 8 Pfade:

 $egin{aligned} -a_3a_7a_9a_{11},\ a_3a_7a_9a_{12},\ a_3a_7a_{10}a_{11},\ a_3a_7a_{10}a_{12},\ a_3a_8a_9a_{11},\ a_3a_8a_9a_{12},\ a_3a_8a_{10}a_{11},\ a_3a_8a_{10}a_{12} \end{aligned}$ 

#### • 4 Konnektionen

 $-a_3a_9, \quad a_3a_{11}, \quad a_7a_{10},$ 

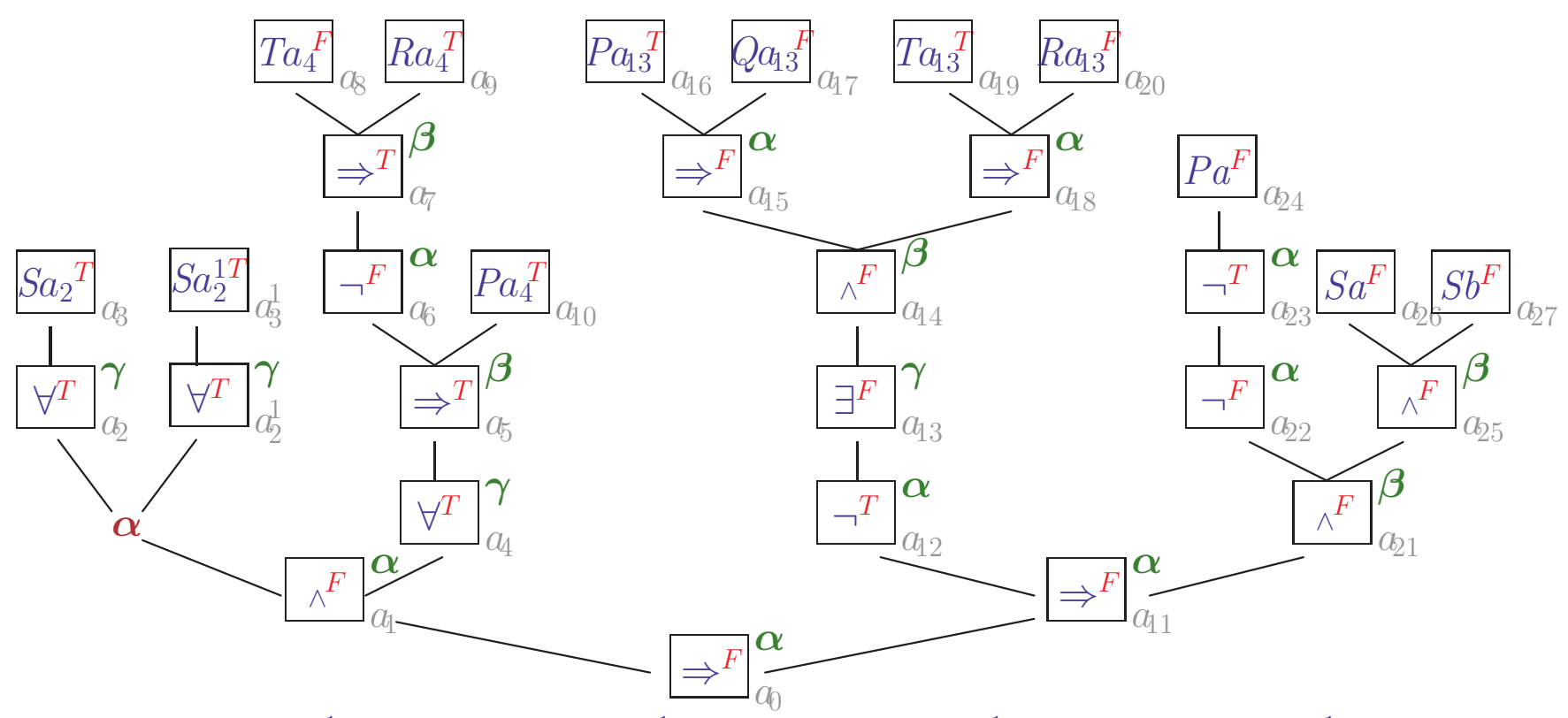


# • $\alpha/\beta$ -Beziehungen zwischen atomaren Formeln

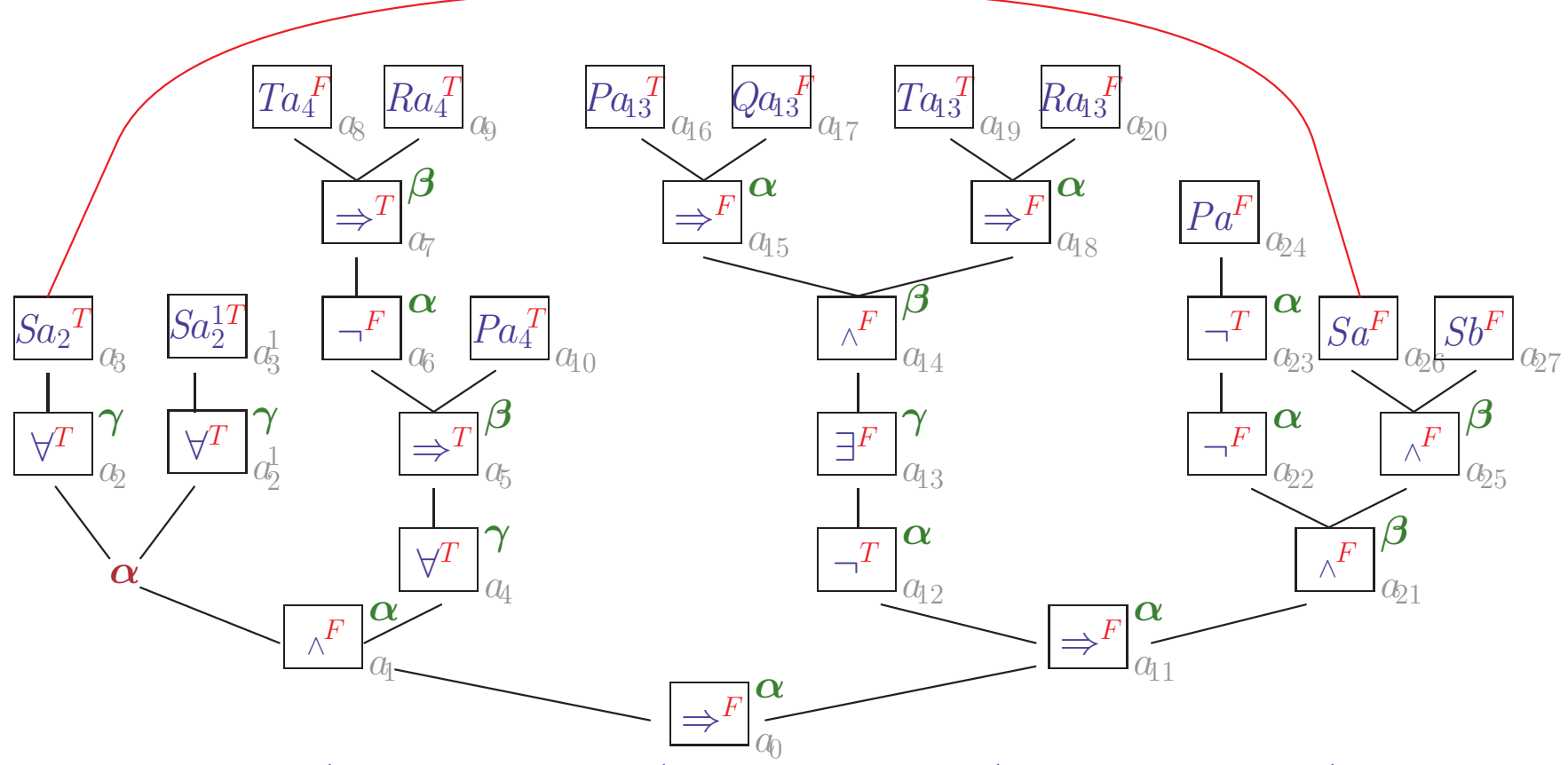
- $-a_7 \sim_{\beta} a_8$ ,  $a_9 \sim_{\beta} a_{10}$ ,  $a_{11} \sim_{\beta} a_{12}$
- Für alle anderen Paare von Atomen gilt  $a_i \sim_{\alpha} a_i$

# • 3 $\beta$ -Beziehungen liefern 8 Pfade:

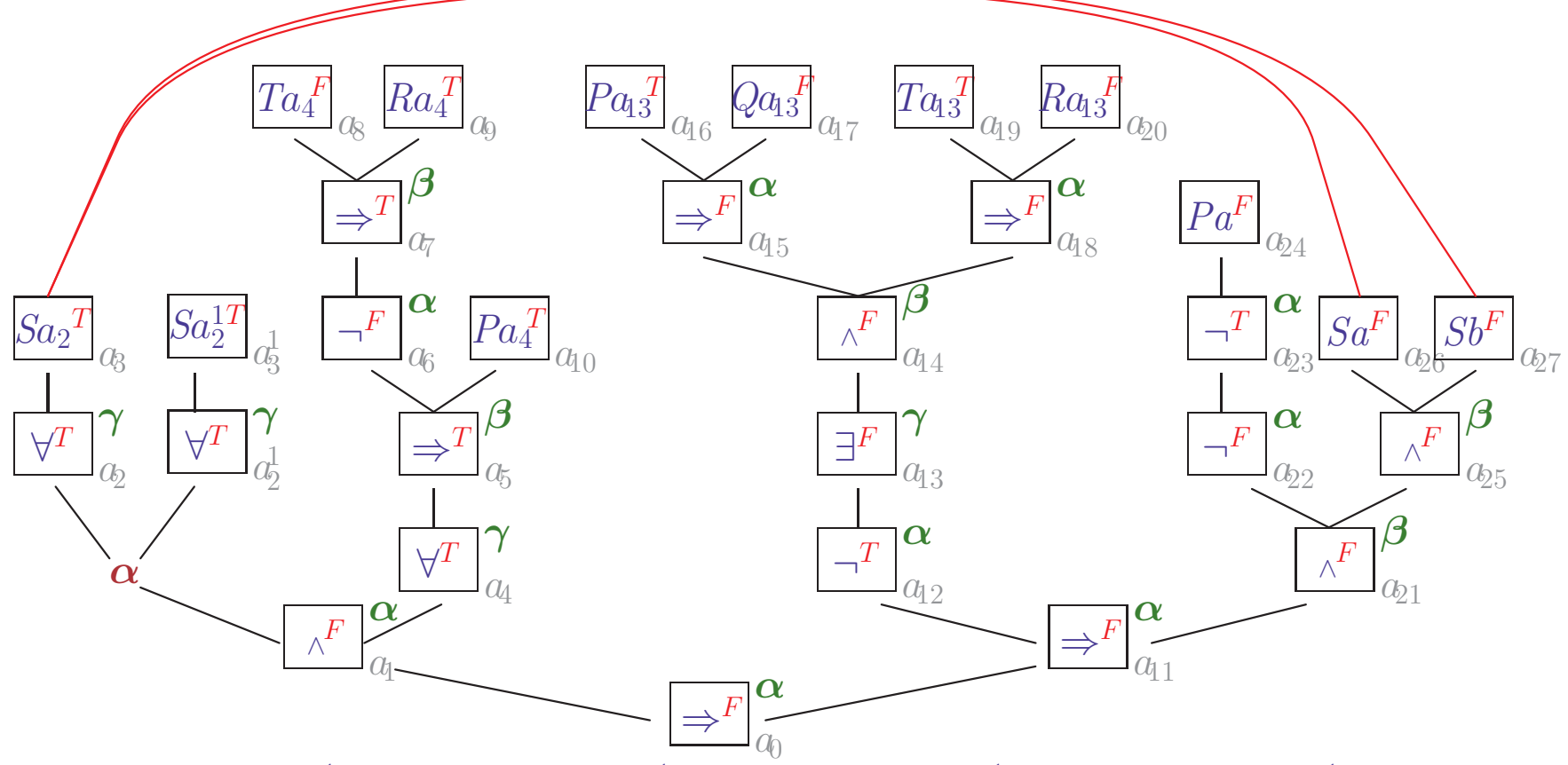
- $-a_3a_7a_9a_{11}, a_3a_7a_9a_{12}, a_3a_7a_{10}a_{11}, a_3a_7a_{10}a_{12},$  $a_3a_8a_9a_{11}, a_3a_8a_9a_{12}, a_3a_8a_{10}a_{11}, a_3a_8a_{10}a_{12}$
- 4 Konnektionen
  - $-a_3a_9$ ,  $a_3a_{11}$ ,  $a_7a_{10}$ ,  $a_8a_{12}$



• 18 Pfade:  $a_3a_3^1a_8a_{16}a_{17}a_{24}$ ,  $a_3a_3^1a_8a_{16}a_{17}a_{26}$ ,  $a_3a_3^1a_8a_{16}a_{17}a_{27}$ ,  $a_3a_3^1a_8a_{19}a_{20}a_{24}$ ,  $a_3a_3^1a_8a_{18}a_{19}a_{26}$ ,  $a_3a_3^1a_8a_{18}a_{19}a_{27}$ ,  $a_3a_3^1a_9a_{16}a_{17}a_{24}$ , ...  $a_3a_3^1a_{10}a_{16}a_{17}a_{24}$ , ...

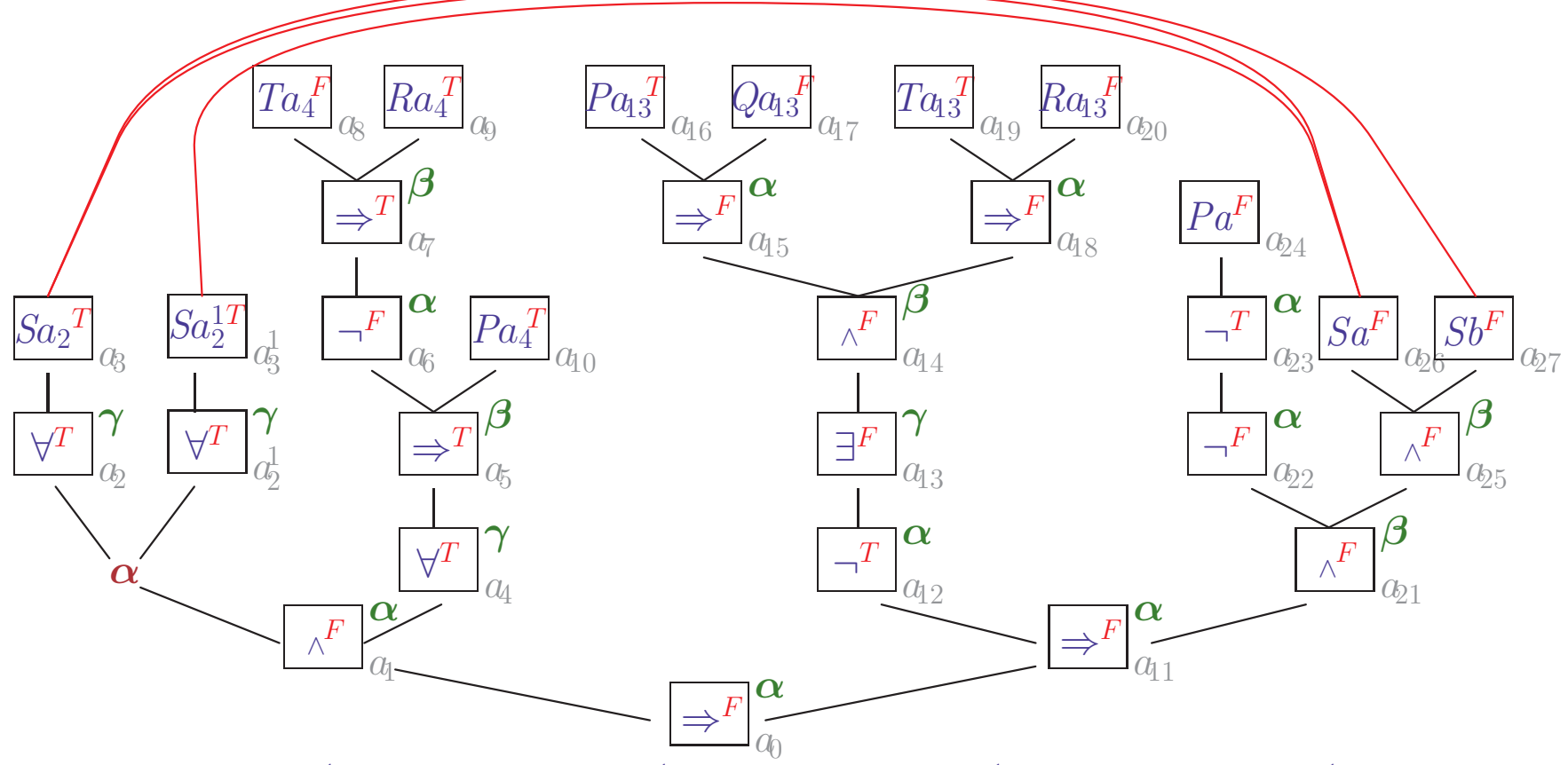


- 18 Pfade:  $a_3a_3^1a_8a_{16}a_{17}a_{24}$ ,  $a_3a_3^1a_8a_{16}a_{17}a_{26}$ ,  $a_3a_3^1a_8a_{16}a_{17}a_{27}$ ,  $a_3a_3^1a_8a_{19}a_{20}a_{24}$ ,  $a_3a_3^1a_8a_{18}a_{19}a_{26}$ ,  $a_3a_3^1a_8a_{18}a_{19}a_{27}$ ,  $a_3a_3^1a_9a_{16}a_{17}a_{24}$ , ...  $a_3a_3^1a_{10}a_{16}a_{17}a_{24}$ , ...
- 8 Konnektionen:  $a_3a_{26}$ ,



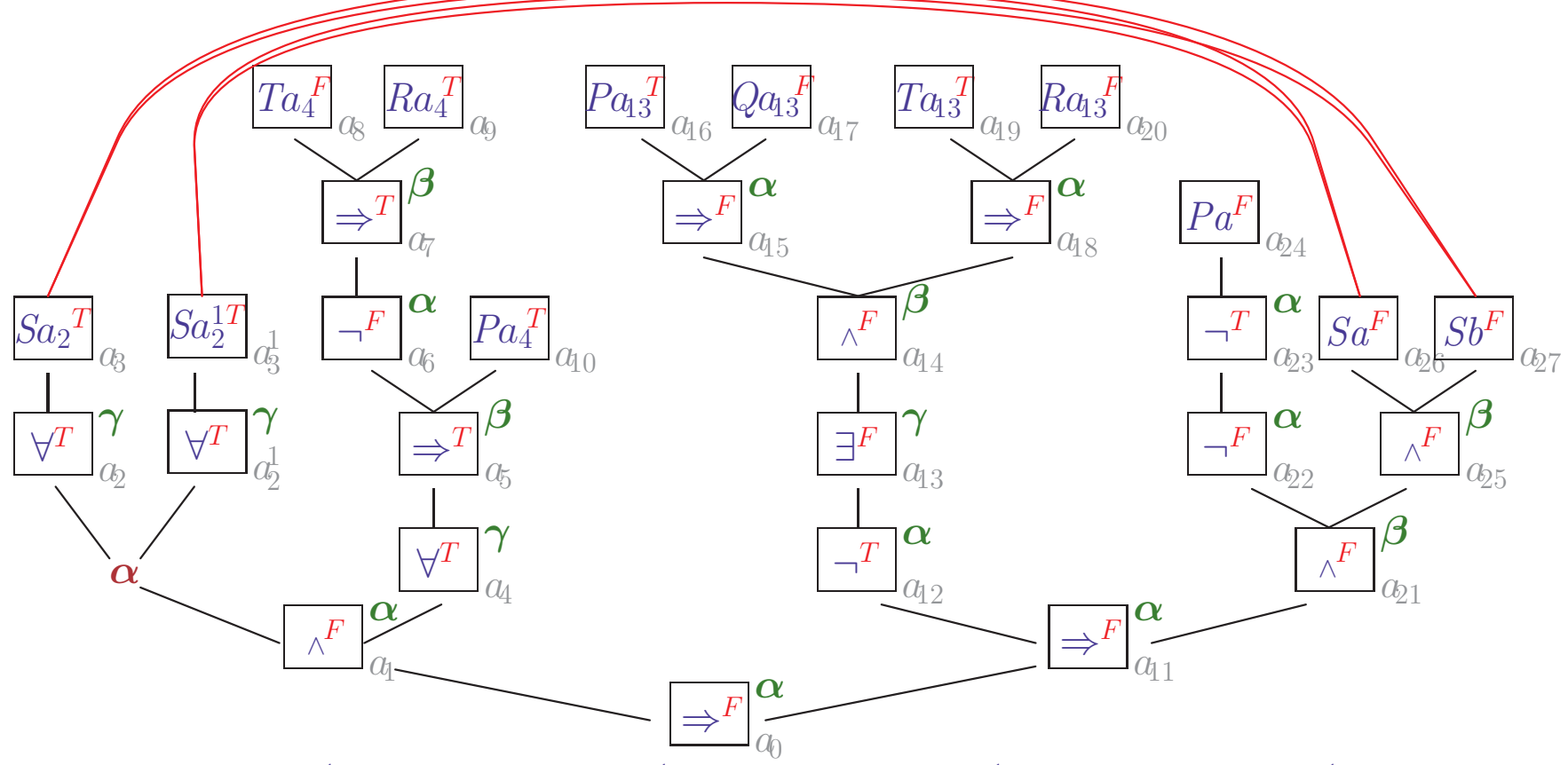
- 18 Pfade:  $a_3a_3^1a_8a_{16}a_{17}a_{24}$ ,  $a_3a_3^1a_8a_{16}a_{17}a_{26}$ ,  $a_3a_3^1a_8a_{16}a_{17}a_{27}$ ,  $a_3a_3^1a_8a_{19}a_{20}a_{24}$ ,  $a_3a_3^1a_8a_{18}a_{19}a_{26}$ ,  $a_3a_3^1a_8a_{18}a_{19}a_{27}$ ,  $a_3a_3^1a_9a_{16}a_{17}a_{24}$ , ...  $a_3a_3^1a_{10}a_{16}a_{17}a_{24}$ , ...
- 8 Konnektionen:  $a_3a_{26}$ ,  $a_3a_{27}$ ,

## Pfade und Konnektionen in Formelbäumen

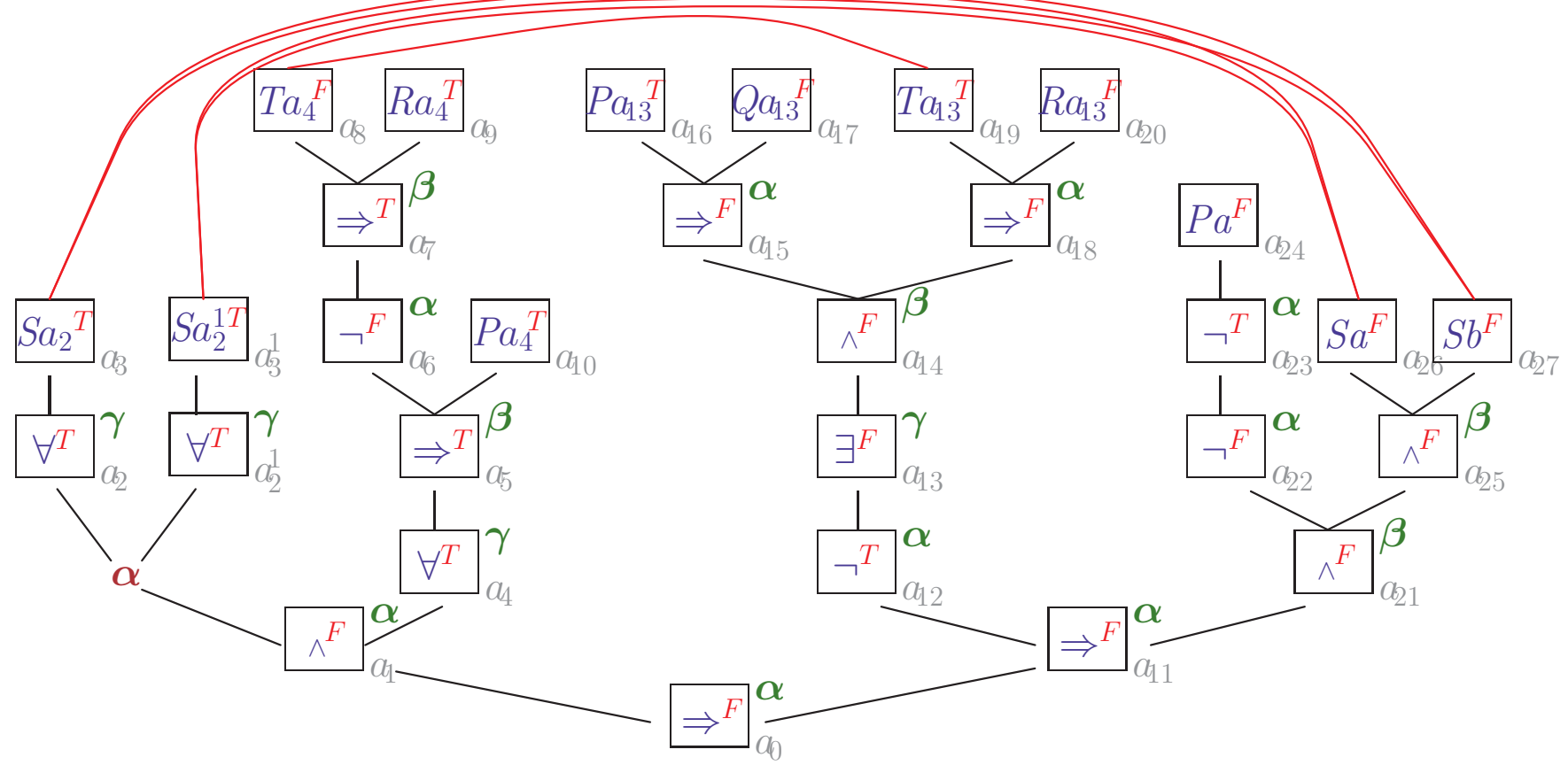


- 18 Pfade:  $a_3a_3^1a_8a_{16}a_{17}a_{24}$ ,  $a_3a_3^1a_8a_{16}a_{17}a_{26}$ ,  $a_3a_3^1a_8a_{16}a_{17}a_{27}$ ,  $a_3a_3^1a_8a_{19}a_{20}a_{24}$ ,  $a_3a_3^1a_8a_{18}a_{19}a_{26}$ ,  $a_3a_3^1a_8a_{18}a_{19}a_{27}$ ,  $a_3a_3^1a_9a_{16}a_{17}a_{24}$ , ...  $a_3a_3^1a_{10}a_{16}a_{17}a_{24}$ , ...
- 8 Konnektionen:  $a_3a_{26}$ ,  $a_3a_{27}$ ,  $a_3^1a_{26}$ ,

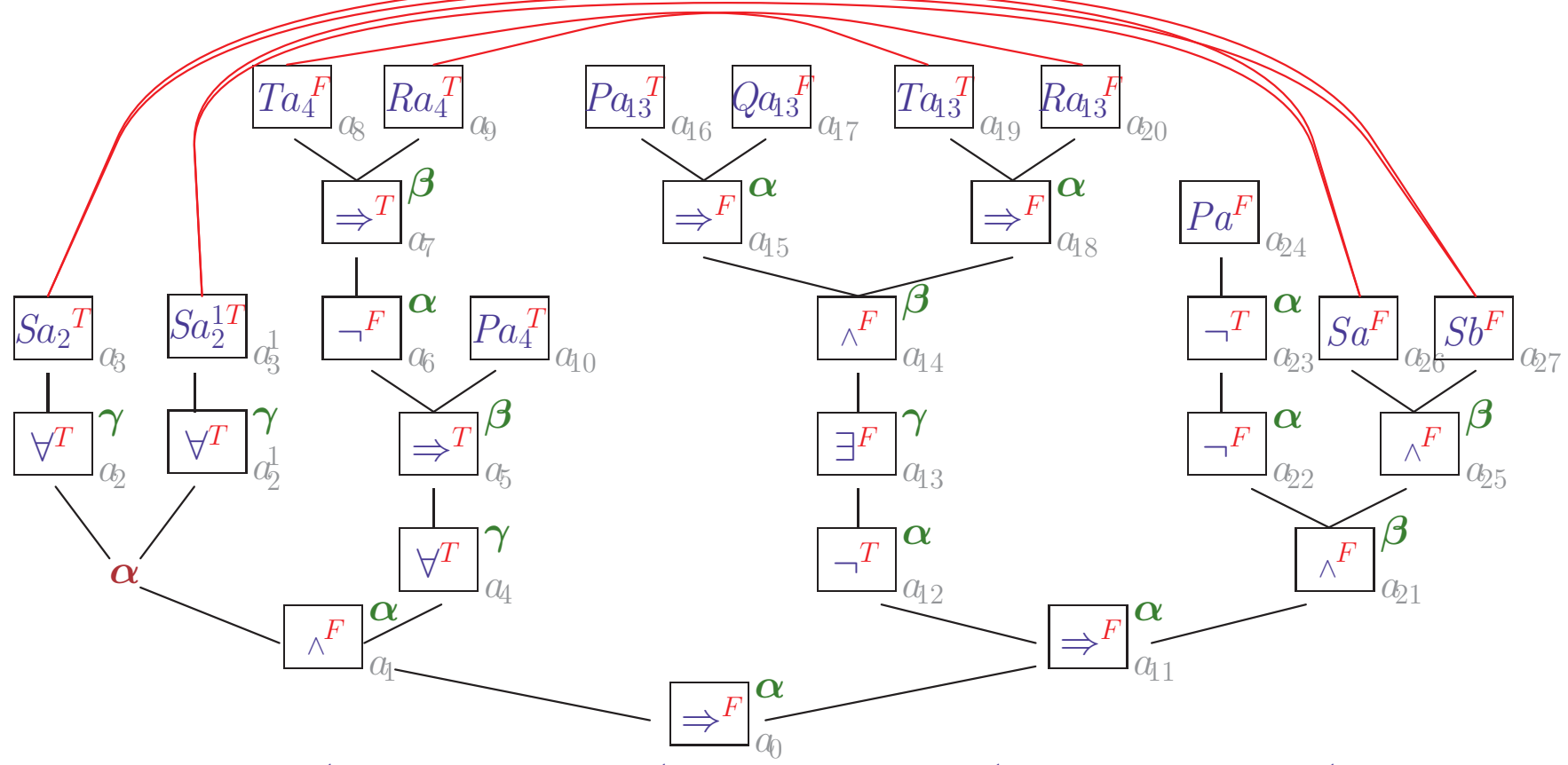
## Pfade und Konnektionen in Formelbäumen



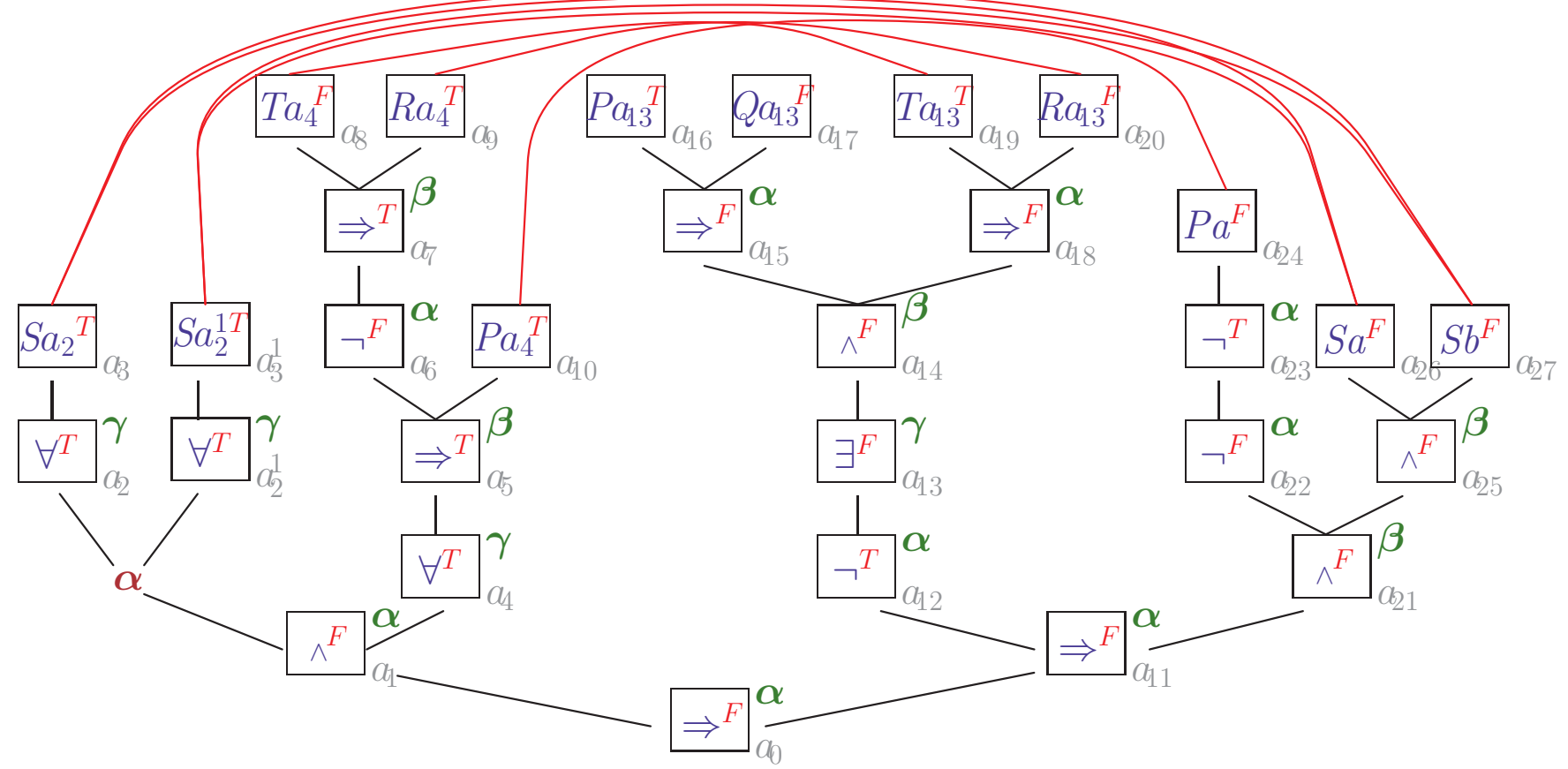
- 18 Pfade:  $a_3a_3^1a_8a_{16}a_{17}a_{24}$ ,  $a_3a_3^1a_8a_{16}a_{17}a_{26}$ ,  $a_3a_3^1a_8a_{16}a_{17}a_{27}$ ,  $a_3a_3^1a_8a_{19}a_{20}a_{24}$ ,  $a_3a_3^1a_8a_{18}a_{19}a_{26}$ ,  $a_3a_3^1a_8a_{18}a_{19}a_{27}$ ,  $a_3a_3^1a_9a_{16}a_{17}a_{24}$ , ...  $a_3a_3^1a_{10}a_{16}a_{17}a_{24}$ , ...
- 8 Konnektionen:  $a_3a_{26}$ ,  $a_3a_{27}$ ,  $a_3^1a_{26}$ ,  $a_3^1a_{27}$ ,



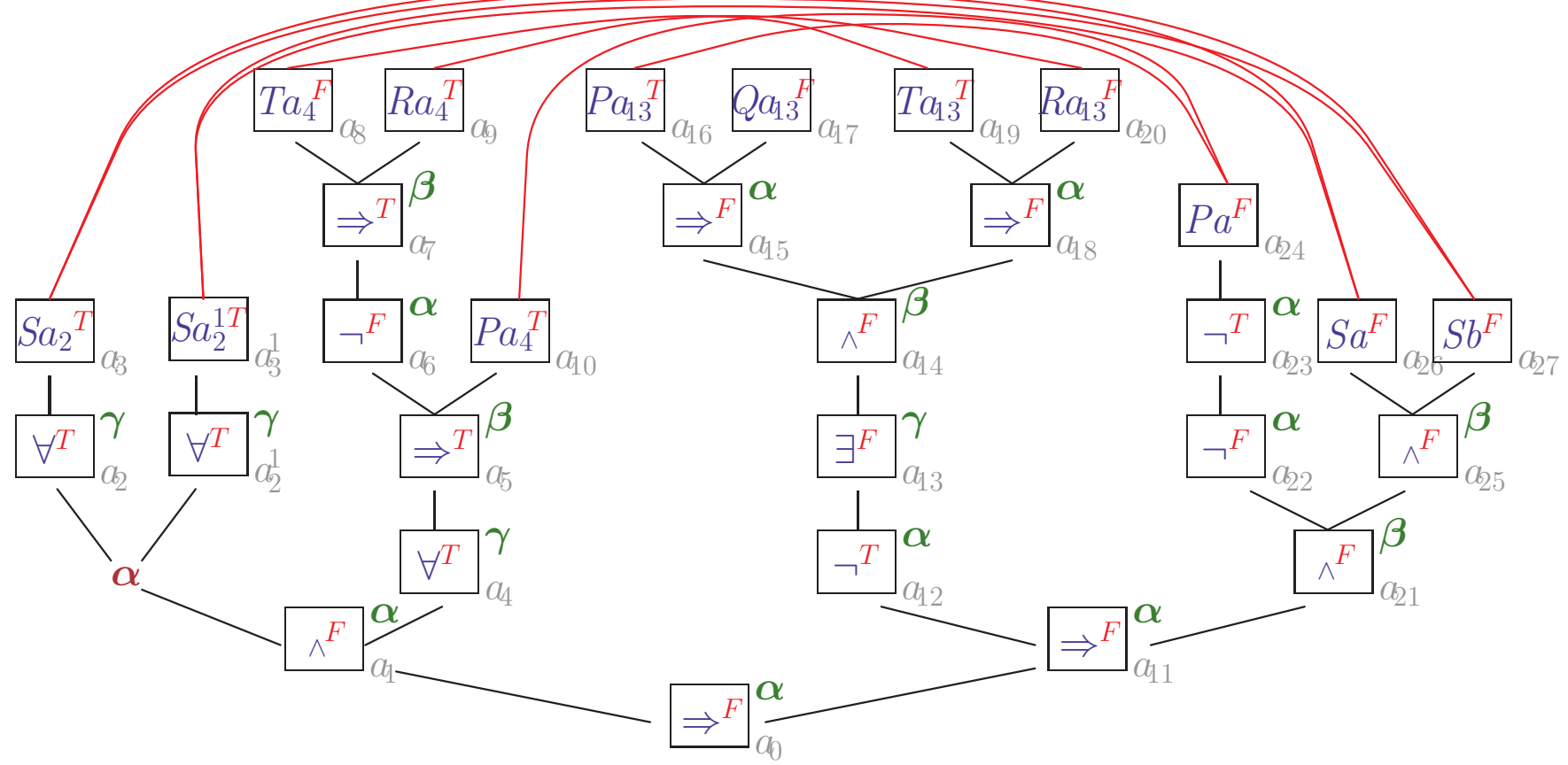
- 18 Pfade:  $a_3a_3^1a_8a_{16}a_{17}a_{24}$ ,  $a_3a_3^1a_8a_{16}a_{17}a_{26}$ ,  $a_3a_3^1a_8a_{16}a_{17}a_{27}$ ,  $a_3a_3^1a_8a_{19}a_{20}a_{24}$ ,  $a_3a_3^1a_8a_{18}a_{19}a_{26}$ ,  $a_3a_3^1a_8a_{18}a_{19}a_{27}$ ,  $a_3a_3^1a_9a_{16}a_{17}a_{24}$ , ...  $a_3a_3^1a_{10}a_{16}a_{17}a_{24}$ , ...
- 8 Konnektionen:  $a_3a_{26}$ ,  $a_3a_{27}$ ,  $a_3^1a_{26}$ ,  $a_3^1a_{27}$ ,  $a_8a_{19}$ ,



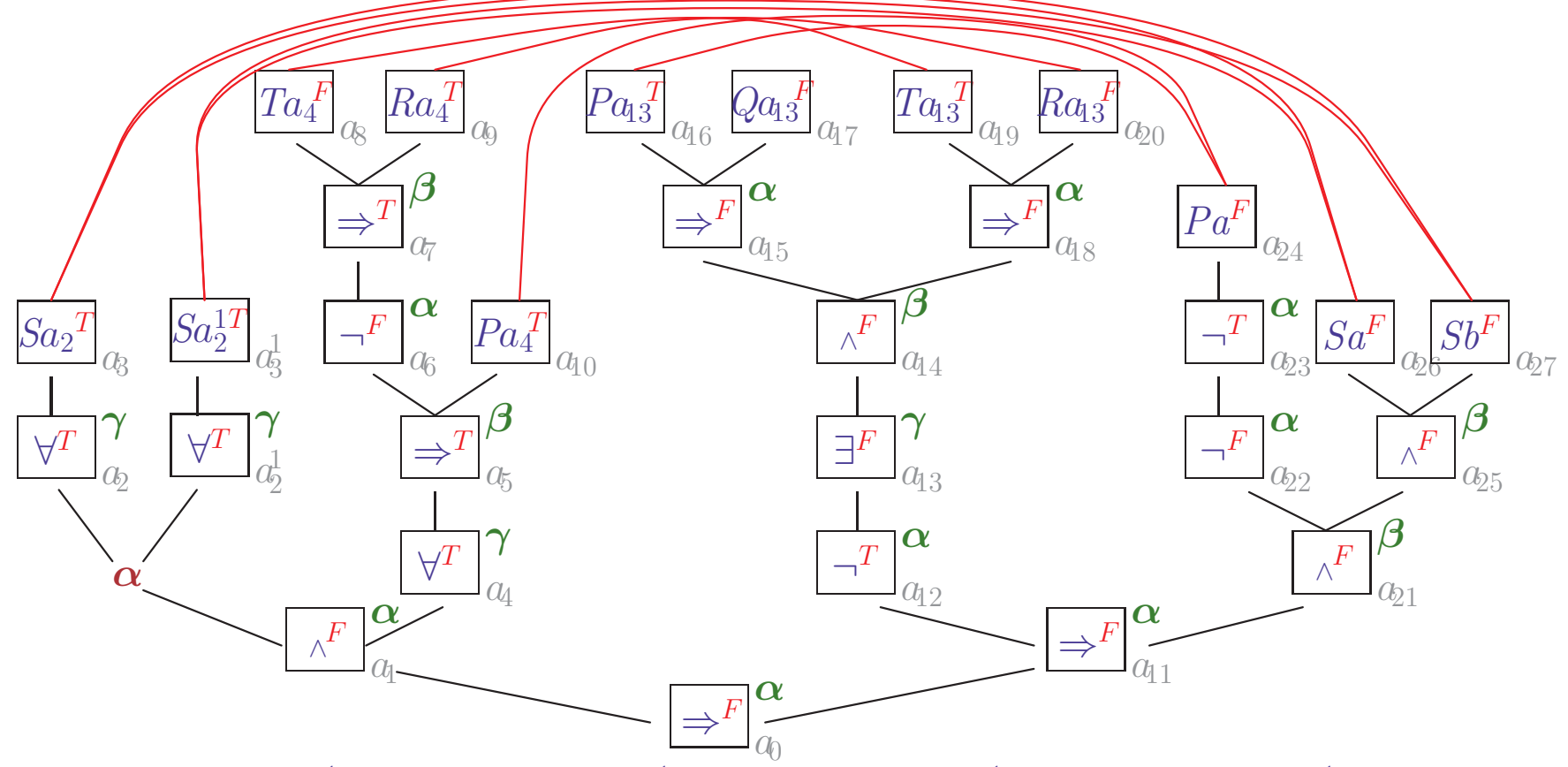
- 18 Pfade:  $a_3a_3^1a_8a_{16}a_{17}a_{24}$ ,  $a_3a_3^1a_8a_{16}a_{17}a_{26}$ ,  $a_3a_3^1a_8a_{16}a_{17}a_{27}$ ,  $a_3a_3^1a_8a_{19}a_{20}a_{24}$ ,  $a_3a_3^1a_8a_{18}a_{19}a_{26}$ ,  $a_3a_3^1a_8a_{18}a_{19}a_{27}$ ,  $a_3a_3^1a_9a_{16}a_{17}a_{24}$ , ...  $a_3a_3^1a_{10}a_{16}a_{17}a_{24}$ , ...
- 8 Konnektionen:  $a_3a_{26}$ ,  $a_3a_{27}$ ,  $a_3^1a_{26}$ ,  $a_3^1a_{27}$ ,  $a_8a_{19}$ ,  $a_9a_{20}$ ,



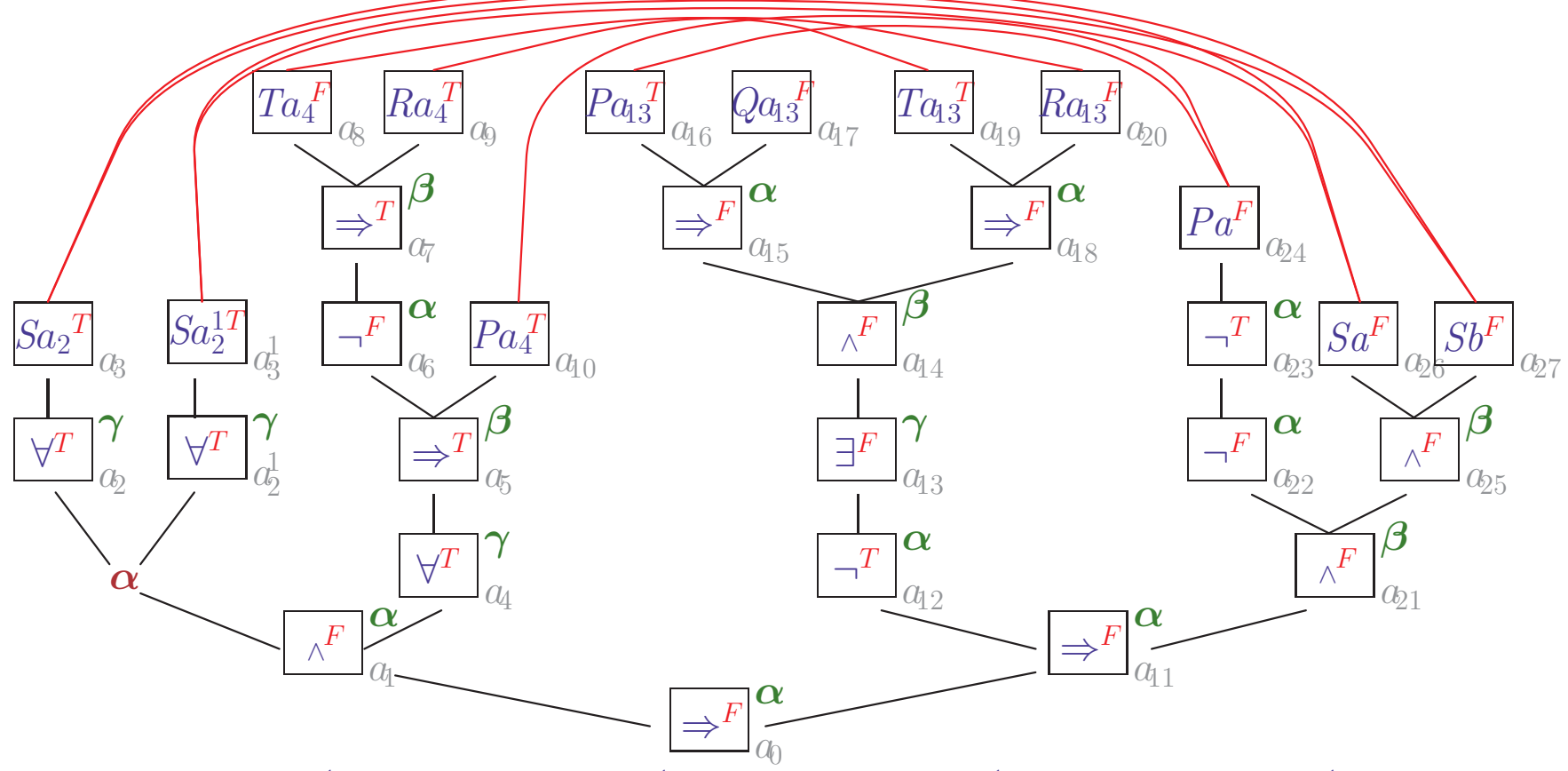
- 18 Pfade:  $a_3a_3^1a_8a_{16}a_{17}a_{24}$ ,  $a_3a_3^1a_8a_{16}a_{17}a_{26}$ ,  $a_3a_3^1a_8a_{16}a_{17}a_{27}$ ,  $a_3a_3^1a_8a_{19}a_{20}a_{24}$ ,  $a_3a_3^1a_8a_{18}a_{19}a_{26}$ ,  $a_3a_3^1a_8a_{18}a_{19}a_{27}$ ,  $a_3a_3^1a_9a_{16}a_{17}a_{24}$ , ...  $a_3a_3^1a_{10}a_{16}a_{17}a_{24}$ , ...
- 8 Konnektionen:  $a_3a_{26}$ ,  $a_3a_{27}$ ,  $a_3^1a_{26}$ ,  $a_3^1a_{27}$ ,  $a_8a_{19}$ ,  $a_9a_{20}$ ,  $a_{10}a_{24}$ ,



- 18 Pfade:  $a_3a_3^1a_8a_{16}a_{17}a_{24}$ ,  $a_3a_3^1a_8a_{16}a_{17}a_{26}$ ,  $a_3a_3^1a_8a_{16}a_{17}a_{27}$ ,  $a_3a_3^1a_8a_{19}a_{20}a_{24}$ ,  $a_3a_3^1a_8a_{18}a_{19}a_{26}$ ,  $a_3a_3^1a_8a_{18}a_{19}a_{27}$ ,  $a_3a_3^1a_9a_{16}a_{17}a_{24}$ , ...  $a_3a_3^1a_{10}a_{16}a_{17}a_{24}$ , ...
- 8 Konnektionen:  $a_3a_{26}$ ,  $a_3a_{27}$ ,  $a_3^1a_{26}$ ,  $a_3^1a_{27}$ ,  $a_8a_{19}$ ,  $a_9a_{20}$ ,  $a_{10}a_{24}$ ,  $a_{16}a_{24}$



- 18 Pfade:  $a_3a_3^1a_8a_{16}a_{17}a_{24}$ ,  $a_3a_3^1a_8a_{16}a_{17}a_{26}$ ,  $a_3a_3^1a_8a_{16}a_{17}a_{27}$ ,  $a_3a_3^1a_8a_{19}a_{20}a_{24}$ ,  $a_3a_3^1a_8a_{18}a_{19}a_{26}$ ,  $a_3a_3^1a_8a_{18}a_{19}a_{27}$ ,  $a_3a_3^1a_9a_{16}a_{17}a_{24}$ , ...  $a_3a_3^1a_{10}a_{16}a_{17}a_{24}$ , ...
- 8 Konnektionen:  $a_3a_{26}$ ,  $a_3a_{27}$ ,  $a_3^1a_{26}$ ,  $a_3^1a_{27}$ ,  $a_8a_{19}$ ,  $a_9a_{20}$ ,  $a_{10}a_{24}$ ,  $a_{16}a_{24}$   $a_3a_{26}$ ,  $a_3^1a_{27}$ ,  $a_8a_{19}$ ,  $a_9a_{20}$ ,  $a_{10}a_{24}$ ,  $a_{16}a_{24}$  komplementär unter  $\sigma = [b/a_2, a/a_2^1, a/a_4, a/a_{13}]$



- 18 Pfade:  $a_3a_3^1a_8a_{16}a_{17}a_{24}$ ,  $a_3a_3^1a_8a_{16}a_{17}a_{26}$ ,  $a_3a_3^1a_8a_{16}a_{17}a_{27}$ ,  $a_3a_3^1a_8a_{19}a_{20}a_{24}$ ,  $a_3a_3^1a_8a_{18}a_{19}a_{26}$ ,  $a_3a_3^1a_8a_{18}a_{19}a_{27}$ ,  $a_3a_3^1a_9a_{16}a_{17}a_{24}$ , ...  $a_3a_3^1a_{10}a_{16}a_{17}a_{24}$ , ...
- 8 Konnektionen:  $a_3a_{26}$ ,  $a_3a_{27}$ ,  $a_3^1a_{26}$ ,  $a_3^1a_{27}$ ,  $a_8a_{19}$ ,  $a_9a_{20}$ ,  $a_{10}a_{24}$ ,  $a_{16}a_{24}$  −  $a_3a_{26}$ ,  $a_3^1a_{27}$ ,  $a_8a_{19}$ ,  $a_9a_{20}$ ,  $a_{10}a_{24}$ ,  $a_{16}a_{24}$  komplementär unter  $\sigma = [b/a_2, a/a_2^1, a/a_4, a/a_{13}]$ 
  - $-a_3a_{27},\ a_3^1a_{26},\ a_8a_{19},\ a_9a_{20},\ a_{10}a_{24},\ a_{16}a_{24}\ \text{komplement\"{a}r unter}\ \sigma=[a/a_2,b/a_2^1,a/a_4,a/a_{13}]$

- $\sigma$  induziert Reduktionsordnung  $\triangleleft := (< \cup \sqsubseteq)^+$ 
  - $-\boldsymbol{v} \sqsubseteq \boldsymbol{u}$ , falls  $\sigma(u) = t$  und v kommt in t vor  $(v \delta$ -Position,  $u \gamma$ -Position)
  - $-\sigma$  ist **zulässig**, falls  $\triangleleft$  azyklisch ( $\hat{=}$  eine Tableauxreduktion ist möglich)

- $\sigma$  induziert Reduktionsordnung  $\triangleleft := (< \cup \sqsubseteq)^+$ 
  - $-\boldsymbol{v} \sqsubseteq \boldsymbol{u}$ , falls  $\sigma(u) = t$  und v kommt in t vor  $(v \delta$ -Position,  $u \gamma$ -Position)
  - $-\sigma$  ist **zulässig**, falls  $\triangleleft$  azyklisch ( $\hat{=}$  eine Tableauxreduktion ist möglich)
- Charakterisierungstheorem für klassische Logik Eine Formel F ist gültig, wenn es eine Multiplizität  $\mu$ , eine zulässige Substitution  $\sigma$  und eine Menge  $\mathcal{C}$  von  $\sigma$ -komplementären Konnektionen gibt, so daß jeder Pfad durch F eine Konnektion aus  $\mathcal{C}$  enthält

- $\sigma$  induziert Reduktionsordnung  $\triangleleft := (< \cup \sqsubseteq)^+$ 
  - $-\boldsymbol{v} \sqsubseteq \boldsymbol{u}$ , falls  $\sigma(u) = t$  und v kommt in t vor  $(v \delta$ -Position,  $u \gamma$ -Position)
  - $-\sigma$  ist **zulässig**, falls  $\triangleleft$  azyklisch ( $\hat{=}$  eine Tableauxreduktion ist möglich)
- Charakterisierungstheorem für klassische Logik Eine Formel F ist gültig, wenn es eine Multiplizität  $\mu$ , eine zulässige Substitution  $\sigma$  und eine Menge  $\mathcal C$  von  $\sigma$ -komplementären Konnektionen gibt, so daß jeder Pfad durch F eine Konnektion aus  $\mathcal{C}$  enthält
- Aufgabe eines automatischen Beweisverfahrens
  - Identifiziere mögliche Konnektionen
  - Teste, ob jeder Pfad durch F mindestens eine Konnektion enthält
  - Bestimme Substitution  $\sigma$ , die Konnektionen komplementär macht
  - Uberprüfe Zulässigkeit der Substitution
  - Wo nötig, erhöhe Multiplizität  $\mu$  von  $\gamma$ -Knoten

## Beweis des Charakterisierungstheorems (Skizze)

Eine Formel F ist gültig, wenn es eine Multiplizität  $\mu$ , eine zulässige Substitution  $\sigma$  und eine Menge  $\mathcal C$  von  $\sigma$ -komplementären Konnektionen gibt, so daß jeder Pfad durch F eine Konnektion aus  $\mathcal C$  enthält

### Beweis des Charakterisierungstheorems (Skizze)

Eine Formel F ist gültig, wenn es eine Multiplizität  $\mu$ , eine zulässige Substitution  $\sigma$  und eine Menge  $\mathcal C$  von  $\sigma$ -komplementären Konnektionen gibt, so daß jeder Pfad durch F eine Konnektion aus  $\mathcal C$  enthält

### • Korrektheit: erzeuge Tableauxbeweis aus $\mu, \sigma$

- Transformiere (azyklische) Reduktionsordnung ⊲ in eine lineare Ordnung
- Wende Tableauxregeln in der Reihenfolge dieser Ordnung an
- Instantiiere  $\delta$ -Formeln wie im annotierten Formelbaum
- Instantiiere  $\gamma$ -Formeln entsprechend der Substitution  $\sigma$

Per Konstruktion ist jeder Zweig des Tableaus geschlossen

### Beweis des Charakterisierungstheorems (Skizze)

Eine Formel F ist gültig, wenn es eine Multiplizität  $\mu$ , eine zulässige Substitution  $\sigma$  und eine Menge  $\mathcal C$ von  $\sigma$ -komplementären Konnektionen gibt, so daß jeder Pfad durch F eine Konnektion aus C enthält

### • Korrektheit: erzeuge Tableauxbeweis aus $\mu, \sigma$

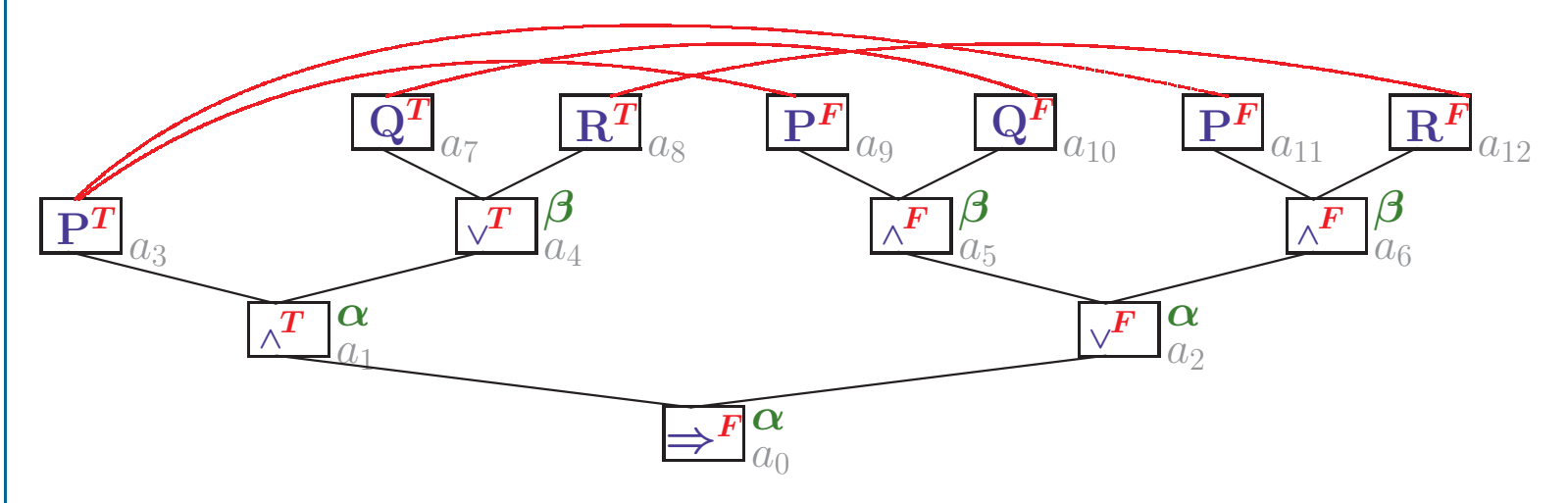
- Transformiere (azyklische) Reduktionsordnung ⊲ in eine lineare Ordnung
- Wende Tableauxregeln in der Reihenfolge dieser Ordnung an
- Instantiiere  $\delta$ -Formeln wie im annotierten Formelbaum
- Instantiiere  $\gamma$ -Formeln entsprechend der Substitution  $\sigma$ Per Konstruktion ist jeder Zweig des Tableaus geschlossen

### • Vollständigkeit: erzeuge C, $\mu$ , $\sigma$ aus Tableauxbeweis

- Generiere annotierten Formelbaum
- Für  $\gamma$ -Knoten ist  $\mu$  die Anzahl der Instanzen im Tableauxbeweis
- Wähle Substitution  $\sigma$  passend zu den ausgeführten  $\gamma$ -Regeln  $\sigma$  ist zulässig aufgrund der Bedingungen an  $\gamma$ - und  $\delta$ -Regeln
- Wähle  $\mathcal{C}$  als Menge der Formelpaare, welche die Zweige abschließen Alle Konnektionen sind  $\sigma$ -komplementär

Per Konstruktion enthält jeder Pfad durch F eine Konnektion aus  $\mathcal{C}$ 

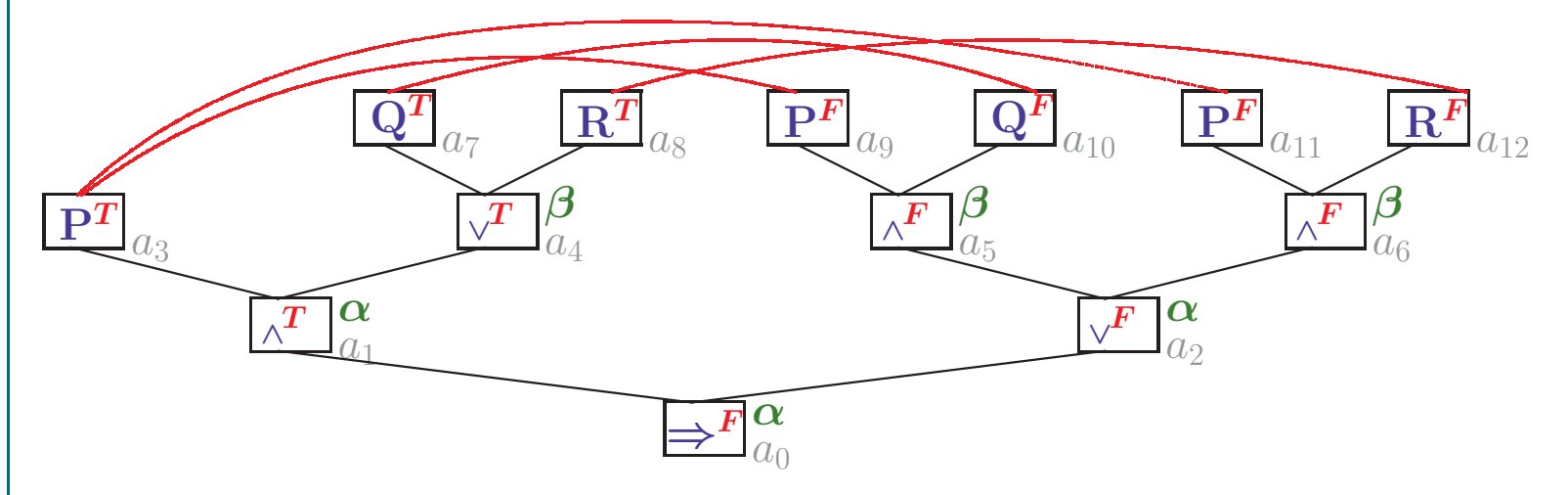
Beweis für (P  $\wedge$  (Q  $\vee$  R))  $\Rightarrow$  ((P  $\wedge$  Q)  $\vee$  (P  $\wedge$  R))



#### • Alle Pfade enthalten eine Konnektion

 $egin{aligned} -a_3a_7a_9a_{11},\ a_3a_7a_9a_{12},\ a_3a_7a_{10}a_{11},\ a_3a_7a_{10}a_{12},\ a_3a_8a_9a_{11},\ a_3a_8a_9a_{12},\ a_3a_8a_{10}a_{11},\ a_3a_8a_{10}a_{12} \end{aligned}$ 

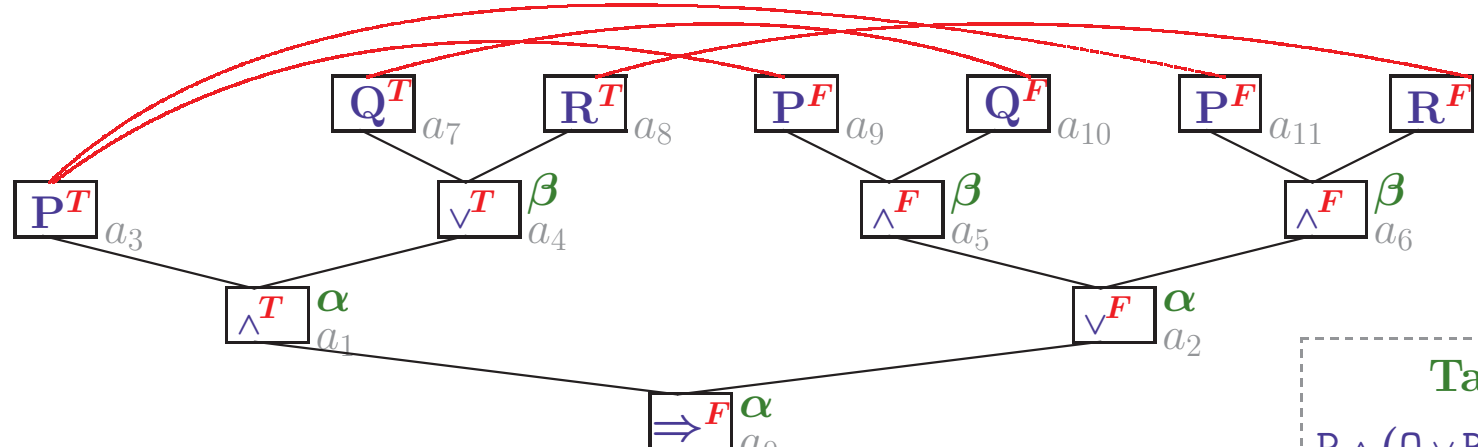
Beweis für (P  $\wedge$  (Q  $\vee$  R))  $\Rightarrow$  ((P  $\wedge$  Q)  $\vee$  (P  $\wedge$  R))



#### • Alle Pfade enthalten eine Konnektion

- $-a_3a_7a_9a_{11},\, a_3a_7a_9a_{12},\, a_3a_7a_{10}a_{11},\, a_3a_7a_{10}a_{12}, \ a_3a_8a_9a_{11},\, a_3a_8a_9a_{12},\, a_3a_8a_{10}a_{11},\, a_3a_8a_{10}a_{12}$
- Die Formel ist gültig
  - Alle Konnektionen sind komplementär

Beweis für (P  $\wedge$  (Q  $\vee$  R))  $\Rightarrow$  ((P  $\wedge$  Q)  $\vee$  (P  $\wedge$  R))



#### • Alle Pfade enthalten eine Konnektion

- $-a_3a_7a_9a_{11},\,a_3a_7a_9a_{12},\,a_3a_7a_{10}a_{11},\,a_3a_7a_{10}a_{12},\ a_3a_8a_9a_{11},\,a_3a_8a_9a_{12},\,a_3a_8a_{10}a_{11},\,a_3a_8a_{10}a_{12}$
- Die Formel ist gültig
  - Alle Konnektionen sind komplementär
- Reduktionsordnung ist Baumordnung
  - Mögliche Linearisierung:  $a_0$   $a_1$   $a_2$   $a_4$   $a_5$   $a_6$

#### **Tableauxbeweis**

$$P \wedge (Q \vee R) \Rightarrow (P \wedge Q) \vee (P \wedge R)^{F}$$

$$(P \wedge (Q \vee R))^{T}$$

$$((P \wedge Q) \vee (P \wedge R))^{F}$$

$$P^{T}$$

$$(Q \vee R)^{T}$$

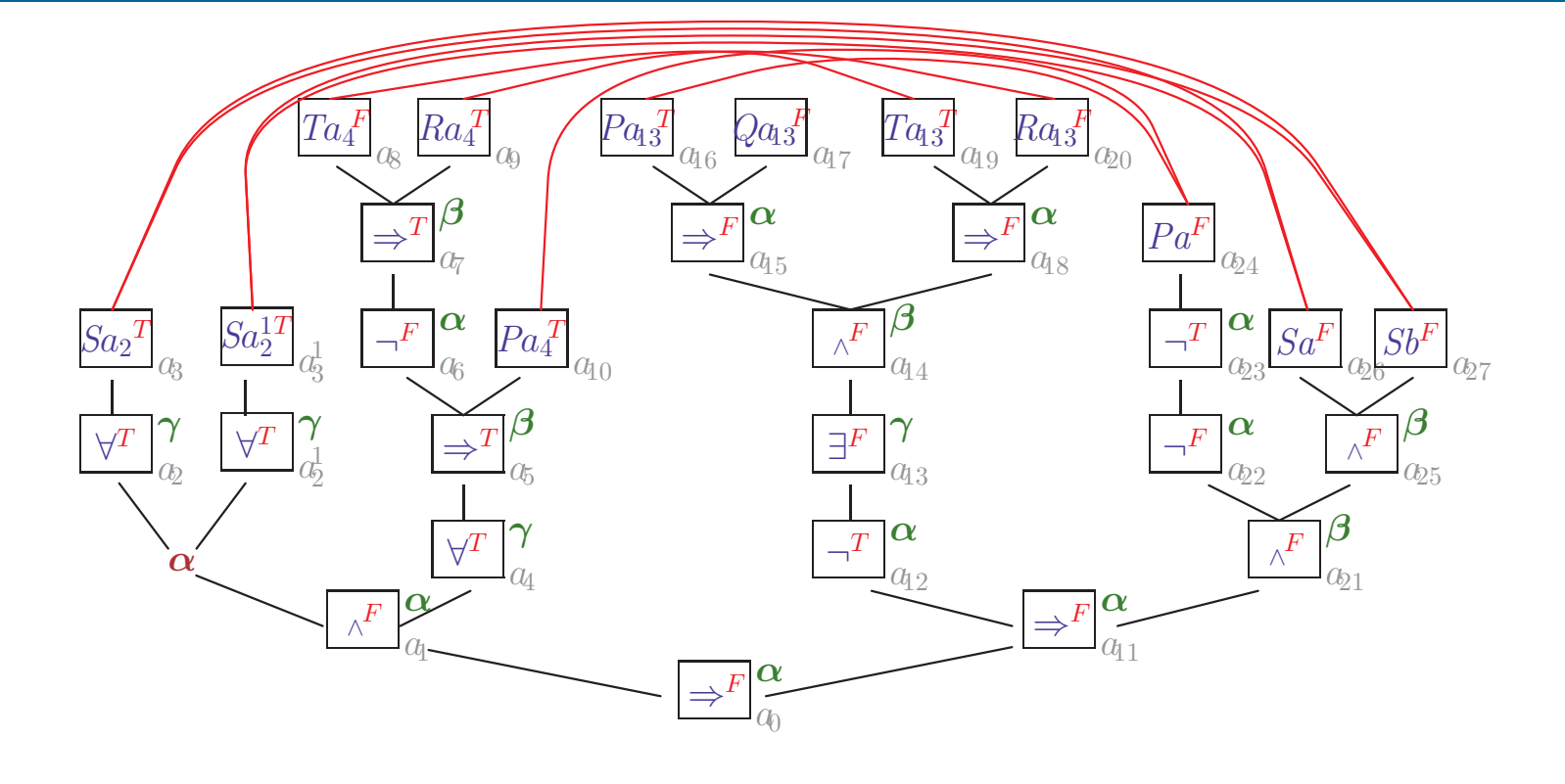
$$(P \wedge Q)^{F}$$

$$(P \wedge R)^{F}$$

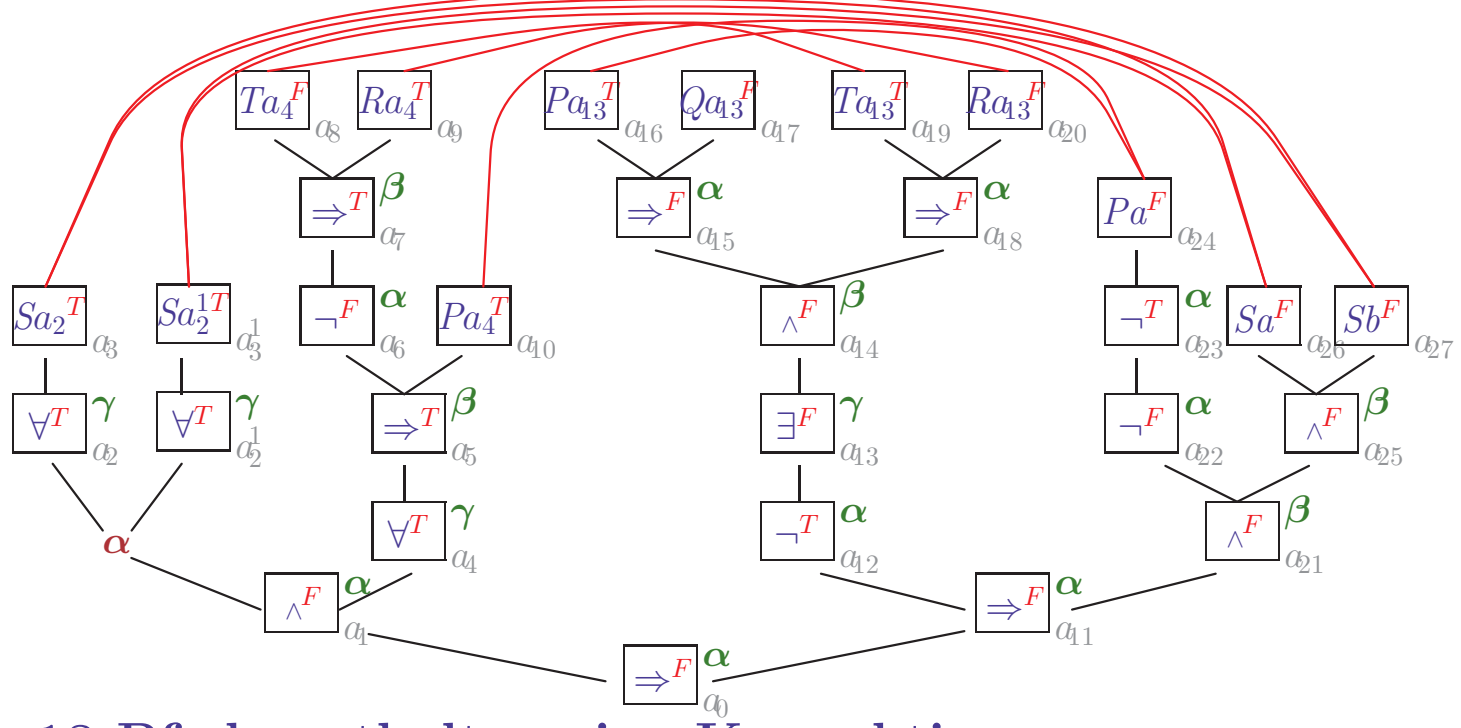
$$P^{F} \qquad Q^{F} \qquad P^{F} \qquad Q^{F}$$

$$P^{F} \qquad R^{F} \qquad P^{F} \qquad R^{F} \qquad P^{F} \qquad R^{F}$$

### MATRIXBEWEIS MIT SUBSTITUTION



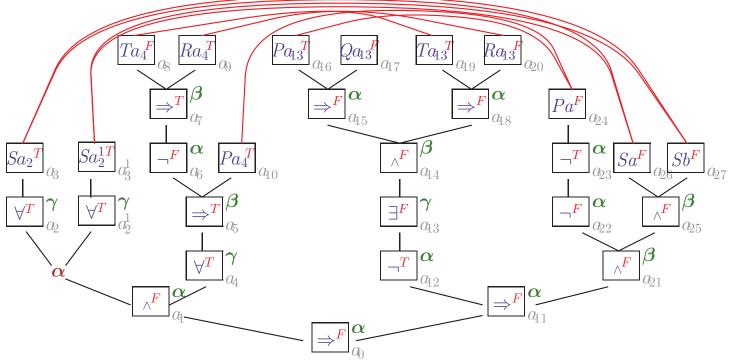
#### Matrixbeweis mit Substitution



• Alle 18 Pfade enthalten eine Konnektion:

$$a_{3}a_{3}^{1}a_{8}a_{16}a_{17}a_{24}, \ a_{3}a_{3}^{1}a_{8}a_{16}a_{17}a_{26}, \ a_{3}a_{3}^{1}a_{8}a_{16}a_{17}a_{27}, \ a_{3}a_{3}^{1}a_{8}a_{19}a_{20}a_{24}, \\ a_{3}a_{3}^{1}a_{8}a_{18}a_{19}a_{26}, \ a_{3}a_{3}^{1}a_{8}a_{18}a_{19}a_{27}, \ a_{3}a_{3}^{1}a_{9}a_{16}a_{17}a_{24}, \dots a_{3}a_{3}^{1}a_{10}a_{16}a_{17}a_{24}, \dots \\ \mathcal{C} = \{ \ \{a_{3}a_{27}\}, \ \{a_{3}^{1}a_{26}\}, \ \{a_{8}a_{19}\}, \ \{a_{9}a_{20}\}, \ \{a_{10}a_{24}\}, \ \{a_{16}a_{24}\} \ \}$$

#### MATRIXBEWEIS MIT SUBSTITUTION

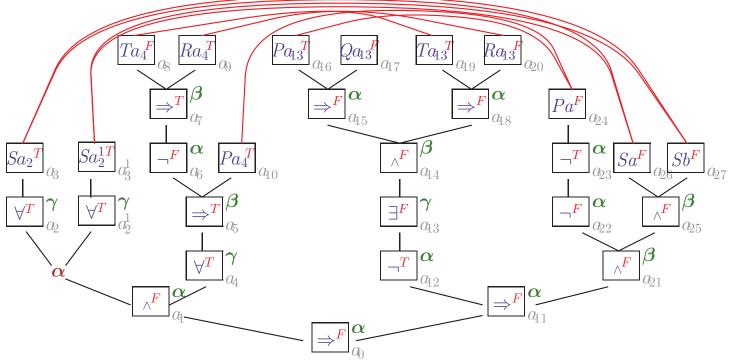


• Alle 18 Pfade enthalten eine Konnektion:

$$a_{3}a_{3}^{1}a_{8}a_{16}a_{17}a_{24}, \ a_{3}a_{3}^{1}a_{8}a_{16}a_{17}a_{26}, \ a_{3}a_{3}^{1}a_{8}a_{16}a_{17}a_{27}, \ a_{3}a_{3}^{1}a_{8}a_{19}a_{20}a_{24}, \\ a_{3}a_{3}^{1}a_{8}a_{18}a_{19}a_{26}, \ a_{3}a_{3}^{1}a_{8}a_{18}a_{19}a_{27}, \ a_{3}a_{3}^{1}a_{9}a_{16}a_{17}a_{24}, \dots a_{3}a_{3}^{1}a_{10}a_{16}a_{17}a_{24}, \dots \\ \mathcal{C} = \{ \ \{a_{3}a_{27}\}, \ \{a_{3}^{1}a_{26}\}, \ \{a_{8}a_{19}\}, \ \{a_{9}a_{20}\}, \ \{a_{10}a_{24}\}, \ \{a_{16}a_{24}\} \ \}$$

- ullet  $\mathcal C$  ist komplementär unter  $\sigma = [b/a_2, a/a_2^1, a/a_4, a/a_{13}]$ 
  - $-\sigma$  ist zulässig, da keine  $\delta$ -Positionen vorhanden ( $\leq = <$ )

#### MATRIXBEWEIS MIT SUBSTITUTION



• Alle 18 Pfade enthalten eine Konnektion:

$$a_{3}a_{3}^{1}a_{8}a_{16}a_{17}a_{24}, \ a_{3}a_{3}^{1}a_{8}a_{16}a_{17}a_{26}, \ a_{3}a_{3}^{1}a_{8}a_{16}a_{17}a_{27}, \ a_{3}a_{3}^{1}a_{8}a_{19}a_{20}a_{24}, \\ a_{3}a_{3}^{1}a_{8}a_{18}a_{19}a_{26}, \ a_{3}a_{3}^{1}a_{8}a_{18}a_{19}a_{27}, \ a_{3}a_{3}^{1}a_{9}a_{16}a_{17}a_{24}, \dots a_{3}a_{3}^{1}a_{10}a_{16}a_{17}a_{24}, \dots \\ \mathcal{C} = \{ \ \{a_{3}a_{27}\}, \ \{a_{3}^{1}a_{26}\}, \ \{a_{8}a_{19}\}, \ \{a_{9}a_{20}\}, \ \{a_{10}a_{24}\}, \ \{a_{16}a_{24}\} \ \}$$

- $\mathcal{C}$  ist komplementär unter  $\sigma = [b/a_2, a/a_2^1, a/a_4, a/a_{13}]$ –  $\sigma$  ist zulässig, da keine  $\delta$ -Positionen vorhanden ( $\triangleleft = <$ )
- Die Formel ist gültig

2-dimensionale Darstellung der Atome zur Veranschaulichung der Beweismethodik

# 2-dimensionale Darstellung der Atome zur Veranschaulichung der Beweismethodik

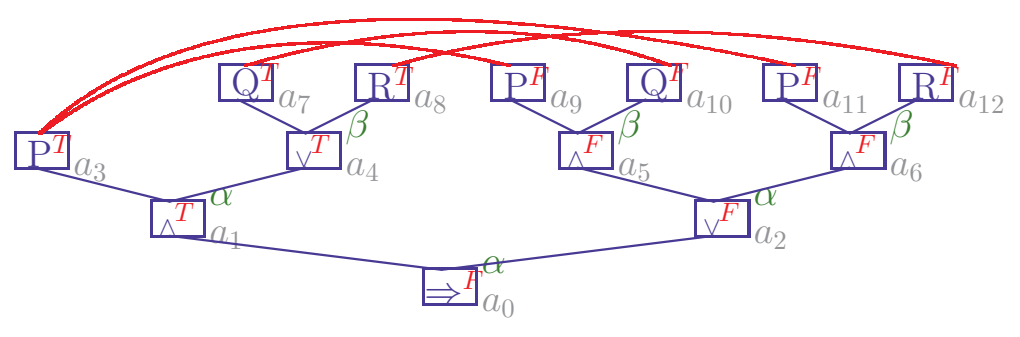
- ullet Pfadüberprüfung hängt nur an lpha/eta-Struktur
  - Nur die Atome sind beweisrelevant
  - Pfade sind Ketten von Literalen in  $\alpha$ -Beziehung
  - Verschiedene Pfade werden durch  $\beta$ -Verzweigungen getrennt

# 2-dimensionale Darstellung der Atome zur Veranschaulichung der Beweismethodik

### ullet Pfadüberprüfung hängt nur an lpha/eta-Struktur

- Nur die Atome sind beweisrelevant
- Pfade sind Ketten von Literalen in  $\alpha$ -Beziehung
- Verschiedene Pfade werden durch  $\beta$ -Verzweigungen getrennt

- Literale in  $\alpha$ -Beziehung erscheinen nebeneinander
- Literale in  $\beta$ -Beziehung erscheinen übereinander
- Pfade sind (maximale) Ketten von Literalen, die nebeneinander stehen



# 2-dimensionale Darstellung der Atome zur Veranschaulichung der Beweismethodik

### ullet Pfadüberprüfung hängt nur an lpha/eta-Struktur

- Nur die Atome sind beweisrelevant
- Pfade sind Ketten von Literalen in  $\alpha$ -Beziehung
- Verschiedene Pfade werden durch  $\beta$ -Verzweigungen getrennt

- Literale in  $\alpha$ -Beziehung erscheinen nebeneinander
- Literale in  $\beta$ -Beziehung erscheinen übereinander
- Pfade sind (maximale) Ketten von Literalen, die nebeneinander stehen

$$P^{T} \quad Q^{T} \quad P^{F} \quad P^{F}$$

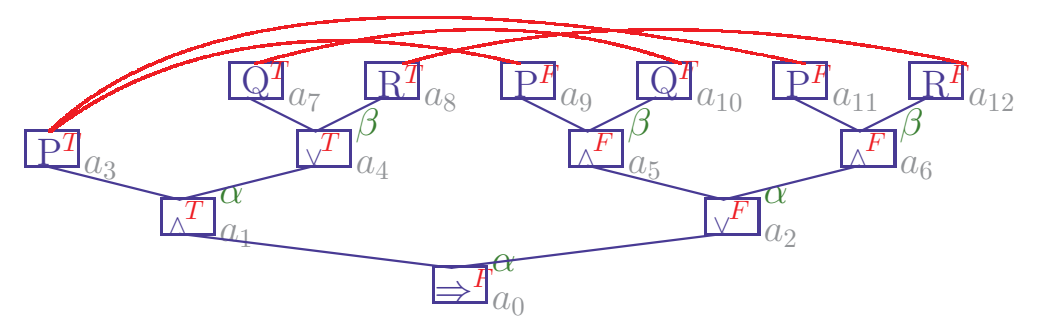
$$R^{T} \quad Q^{F} \quad R^{F}$$

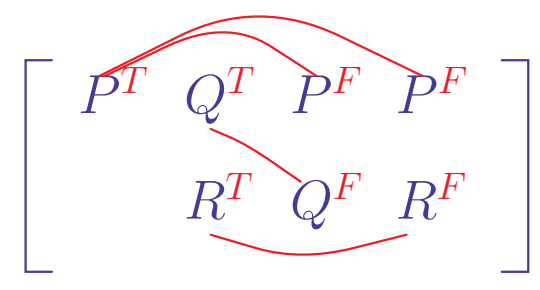
# 2-dimensionale Darstellung der Atome zur Veranschaulichung der Beweismethodik

### ullet Pfadüberprüfung hängt nur an lpha/eta-Struktur

- Nur die Atome sind beweisrelevant
- Pfade sind Ketten von Literalen in  $\alpha$ -Beziehung
- Verschiedene Pfade werden durch  $\beta$ -Verzweigungen getrennt

- Literale in  $\alpha$ -Beziehung erscheinen nebeneinander
- Literale in  $\beta$ -Beziehung erscheinen übereinander
- Pfade sind (maximale) Ketten von Literalen, die nebeneinander stehen



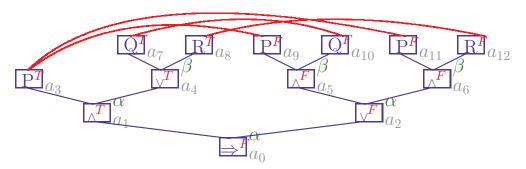


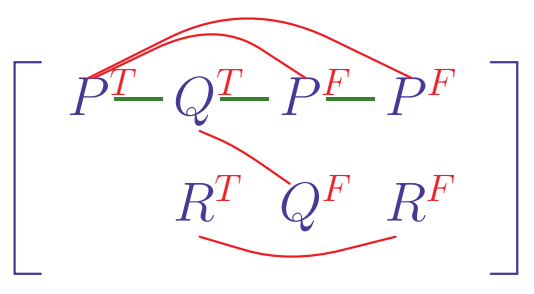
# 2-dimensionale Darstellung der Atome zur Veranschaulichung der Beweismethodik

### ullet Pfadüberprüfung hängt nur an lpha/eta-Struktur

- Nur die Atome sind beweisrelevant
- Pfade sind Ketten von Literalen in  $\alpha$ -Beziehung
- Verschiedene Pfade werden durch  $\beta$ -Verzweigungen getrennt

- Literale in  $\alpha$ -Beziehung erscheinen nebeneinander
- Literale in  $\beta$ -Beziehung erscheinen übereinander
- Pfade sind (maximale) Ketten von Literalen, die nebeneinander stehen



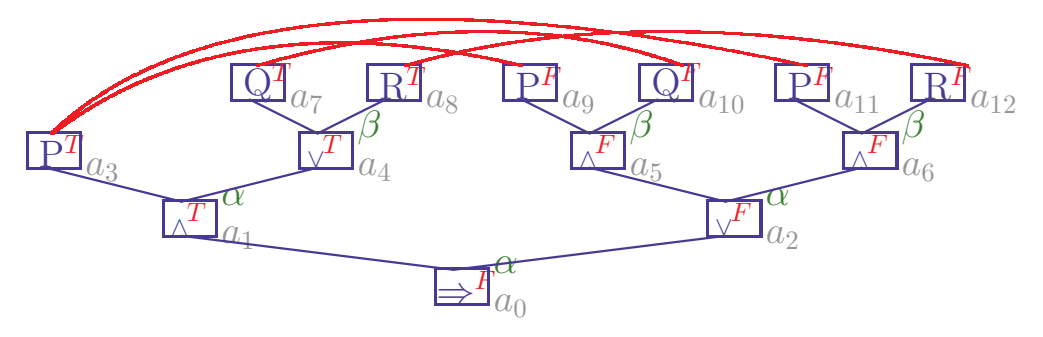


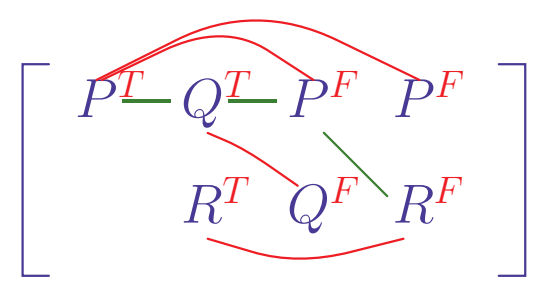
## 2-dimensionale Darstellung der Atome zur Veranschaulichung der Beweismethodik

### ullet Pfadüberprüfung hängt nur an lpha/eta-Struktur

- Nur die Atome sind beweisrelevant
- Pfade sind Ketten von Literalen in  $\alpha$ -Beziehung
- Verschiedene Pfade werden durch  $\beta$ -Verzweigungen getrennt

- Literale in  $\alpha$ -Beziehung erscheinen nebeneinander
- Literale in  $\beta$ -Beziehung erscheinen übereinander
- Pfade sind (maximale) Ketten von Literalen, die nebeneinander stehen



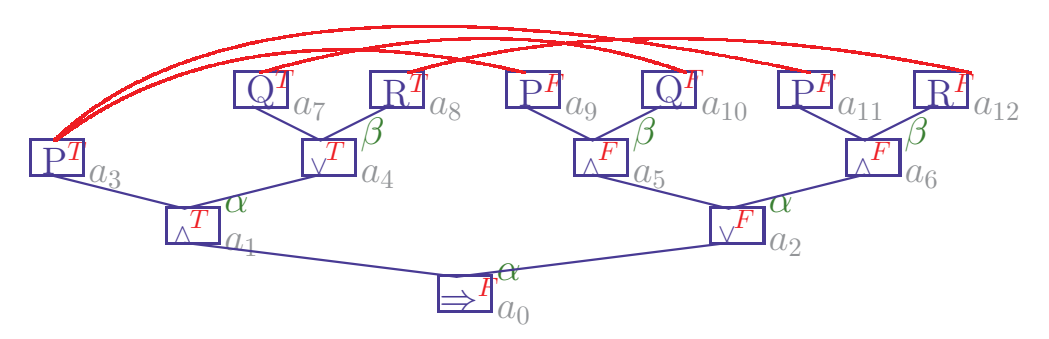


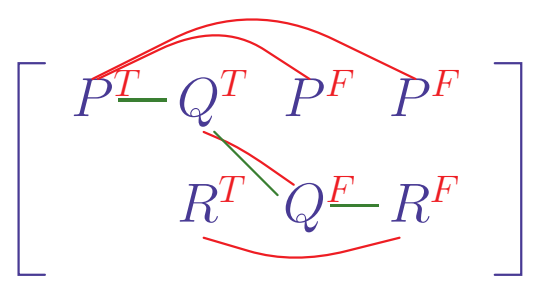
# 2-dimensionale Darstellung der Atome zur Veranschaulichung der Beweismethodik

### • Pfadüberprüfung hängt nur an $\alpha/\beta$ -Struktur

- Nur die Atome sind beweisrelevant
- Pfade sind Ketten von Literalen in  $\alpha$ -Beziehung
- Verschiedene Pfade werden durch  $\beta$ -Verzweigungen getrennt

- Literale in  $\alpha$ -Beziehung erscheinen nebeneinander
- Literale in  $\beta$ -Beziehung erscheinen übereinander
- Pfade sind (maximale) Ketten von Literalen, die nebeneinander stehen



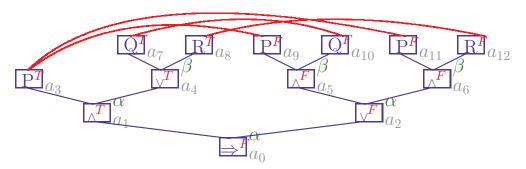


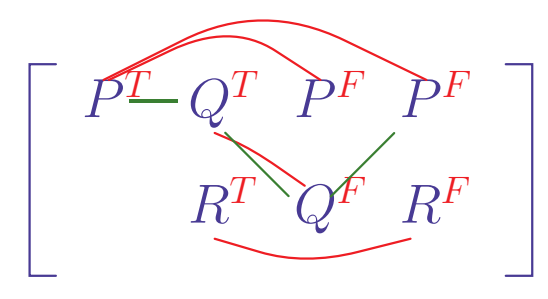
# 2-dimensionale Darstellung der Atome zur Veranschaulichung der Beweismethodik

## ullet Pfadüberprüfung hängt nur an lpha/eta-Struktur

- Nur die Atome sind beweisrelevant
- Pfade sind Ketten von Literalen in  $\alpha$ -Beziehung
- Verschiedene Pfade werden durch  $\beta$ -Verzweigungen getrennt

- Literale in  $\alpha$ -Beziehung erscheinen nebeneinander
- Literale in  $\beta$ -Beziehung erscheinen übereinander
- Pfade sind (maximale) Ketten von Literalen, die nebeneinander stehen



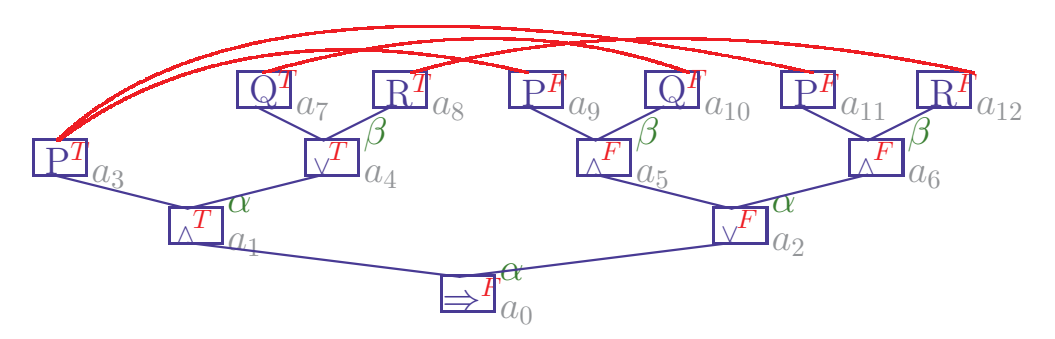


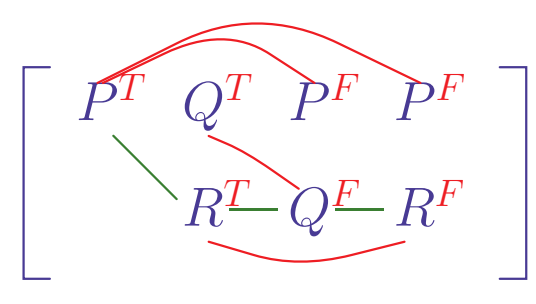
# 2-dimensionale Darstellung der Atome zur Veranschaulichung der Beweismethodik

### ullet Pfadüberprüfung hängt nur an lpha/eta-Struktur

- Nur die Atome sind beweisrelevant
- Pfade sind Ketten von Literalen in  $\alpha$ -Beziehung
- Verschiedene Pfade werden durch  $\beta$ -Verzweigungen getrennt

- Literale in  $\alpha$ -Beziehung erscheinen nebeneinander
- Literale in  $\beta$ -Beziehung erscheinen übereinander
- Pfade sind (maximale) Ketten von Literalen, die nebeneinander stehen



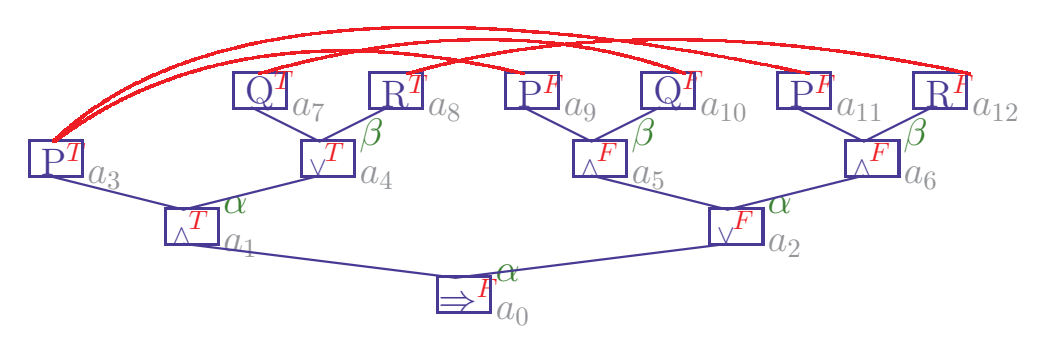


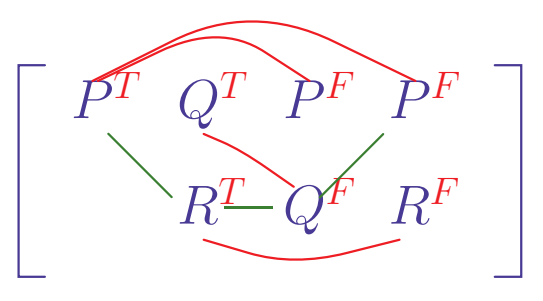
# 2-dimensionale Darstellung der Atome zur Veranschaulichung der Beweismethodik

### ullet Pfadüberprüfung hängt nur an lpha/eta-Struktur

- Nur die Atome sind beweisrelevant
- Pfade sind Ketten von Literalen in  $\alpha$ -Beziehung
- Verschiedene Pfade werden durch  $\beta$ -Verzweigungen getrennt

- Literale in  $\alpha$ -Beziehung erscheinen nebeneinander
- Literale in  $\beta$ -Beziehung erscheinen übereinander
- Pfade sind (maximale) Ketten von Literalen, die nebeneinander stehen



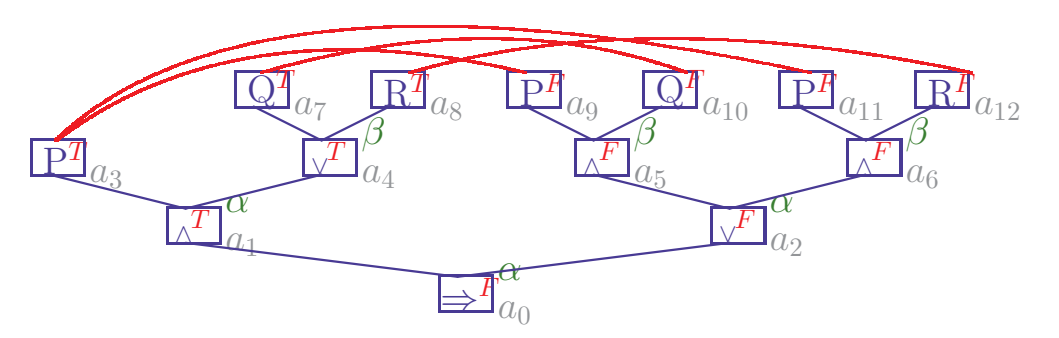


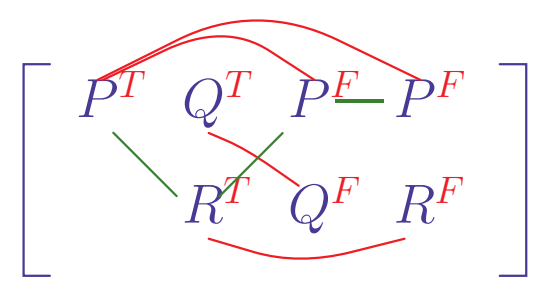
# 2-dimensionale Darstellung der Atome zur Veranschaulichung der Beweismethodik

### ullet Pfadüberprüfung hängt nur an lpha/eta-Struktur

- Nur die Atome sind beweisrelevant
- Pfade sind Ketten von Literalen in  $\alpha$ -Beziehung
- Verschiedene Pfade werden durch  $\beta$ -Verzweigungen getrennt

- Literale in  $\alpha$ -Beziehung erscheinen nebeneinander
- Literale in  $\beta$ -Beziehung erscheinen übereinander
- Pfade sind (maximale) Ketten von Literalen, die nebeneinander stehen



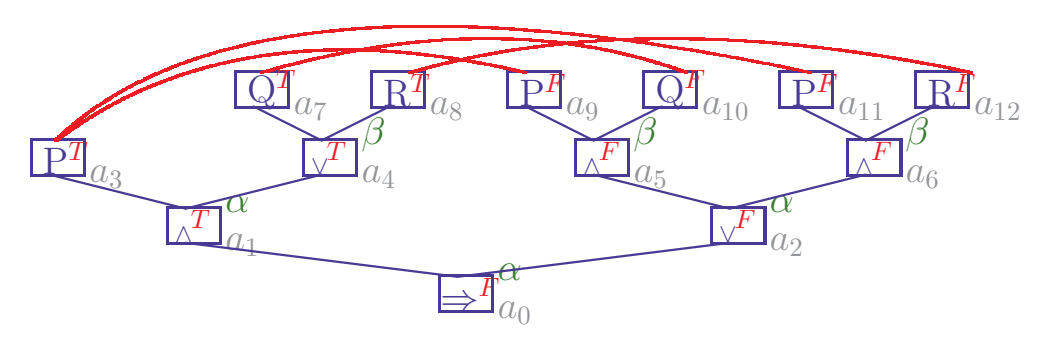


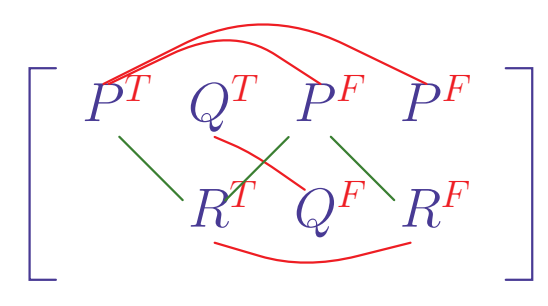
# 2-dimensionale Darstellung der Atome zur Veranschaulichung der Beweismethodik

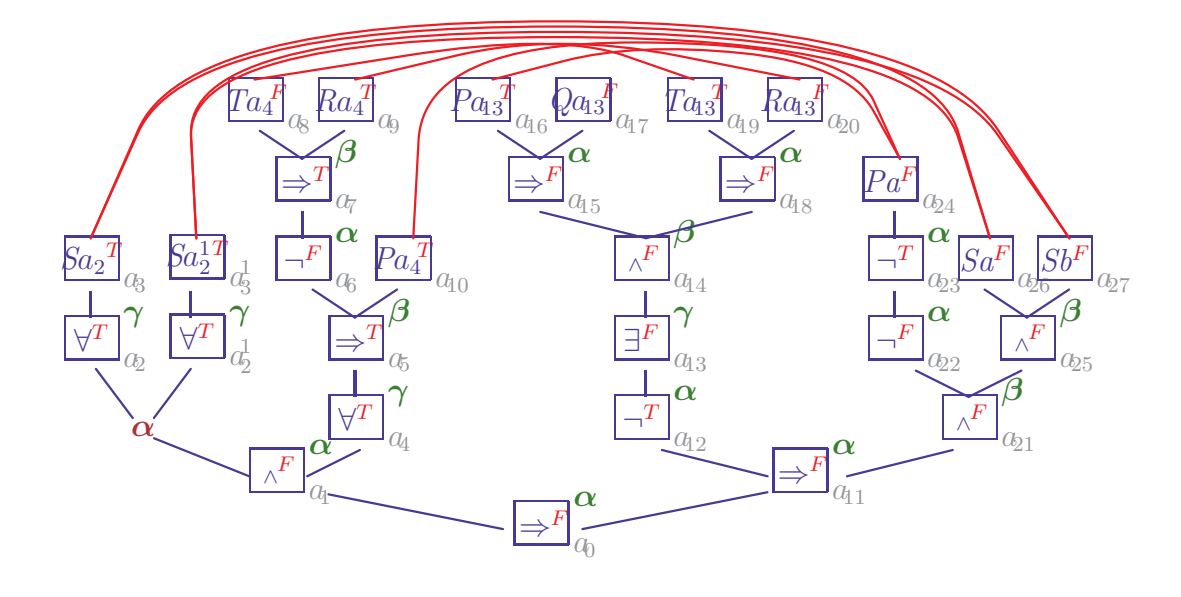
### ullet Pfadüberprüfung hängt nur an $\alpha/\beta$ -Struktur

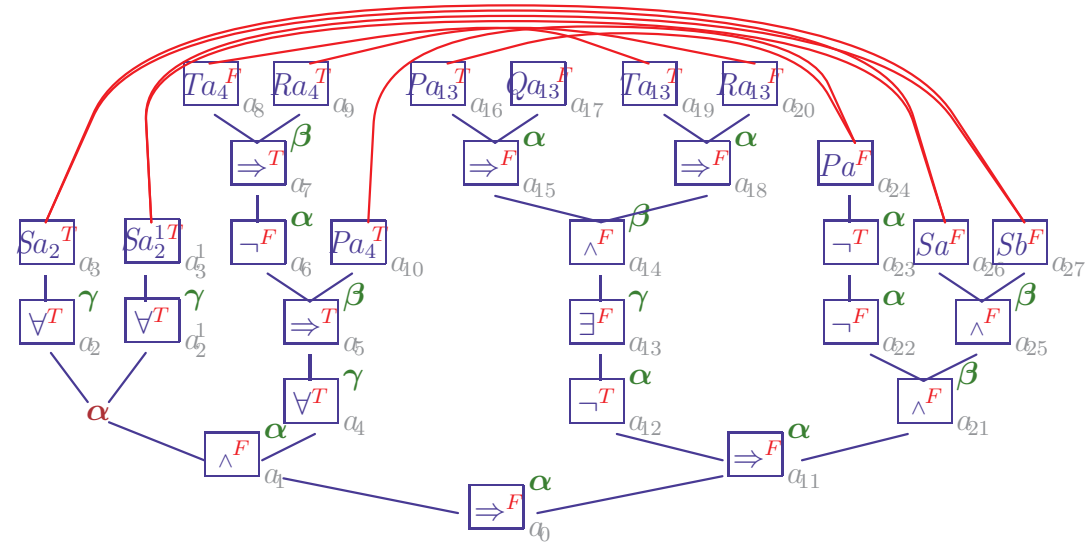
- Nur die Atome sind beweisrelevant
- Pfade sind Ketten von Literalen in  $\alpha$ -Beziehung
- Verschiedene Pfade werden durch  $\beta$ -Verzweigungen getrennt

- Literale in  $\alpha$ -Beziehung erscheinen nebeneinander
- Literale in  $\beta$ -Beziehung erscheinen übereinander
- Pfade sind (maximale) Ketten von Literalen, die nebeneinander stehen





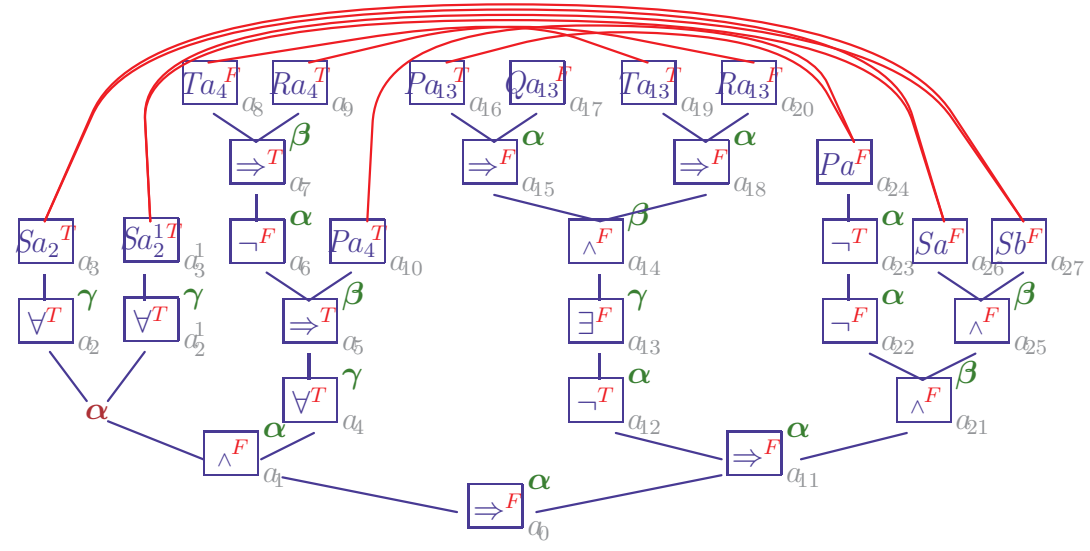




#### 2-dimensionale Matrixstruktur zu einfach

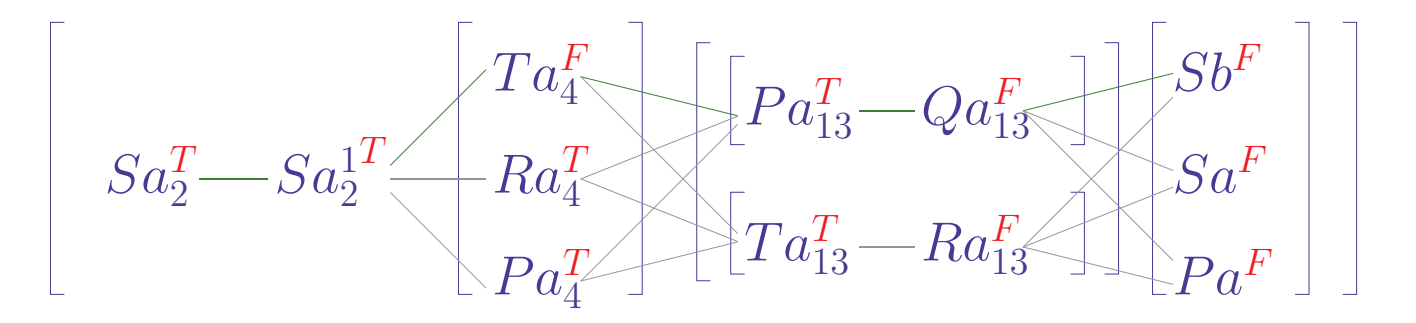
- Wechsel zwischen  $\alpha/\beta$ -Knoten führt zu Schachtelung
- 2-dimensionale Darstellung verwendet Klammern
- Pfade, die eine Submatrix betreten, müssen diese komplett durchlaufen

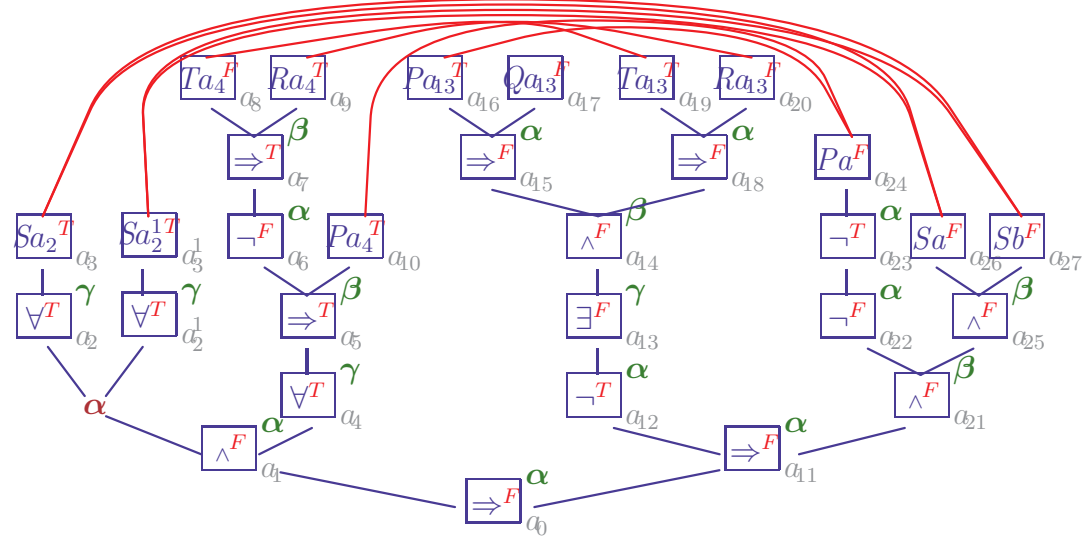
$$\begin{bmatrix} Sa_2^T & Sa_2^{1T} & \begin{bmatrix} Ta_4^F \\ Ra_4^T \\ Pa_4^T \end{bmatrix} \begin{bmatrix} Pa_{13}^T & Qa_{13}^F \\ Ta_{13}^T & Ra_{13}^F \end{bmatrix} \begin{bmatrix} Sb^F \\ Sa^F \\ Pa^F \end{bmatrix} \end{bmatrix}$$



#### 2-dimensionale Matrixstruktur zu einfach

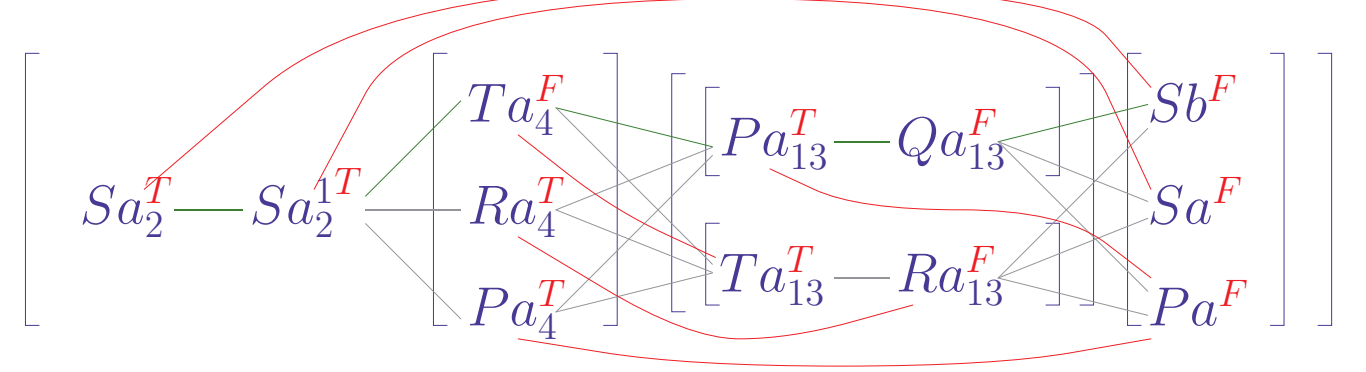
- Wechsel zwischen  $\alpha/\beta$ -Knoten führt zu Schachtelung
- 2-dimensionale Darstellung verwendet Klammern
- Pfade, die eine Submatrix betreten, müssen diese komplett durchlaufen





#### 2-dimensionale Matrixstruktur zu einfach

- Wechsel zwischen  $\alpha/\beta$ -Knoten führt zu Schachtelung
- 2-dimensionale Darstellung verwendet Klammern
- Pfade, die eine Submatrix betreten, müssen diese komplett durchlaufen



### Matrixdarstellung einer Formel präzisiert

- Einfache Matrizen (Normalform-Matrizen)
  - Literal: atomare Formel mit Polarität positives Literal: Polarität T negatives Literal: Polarität F
  - **Klausel**: endliche Mengen  $c = \{L_1, \ldots, L_k\}$  von Literalen Horn-Klausel: Klausel mit höchstens einem negativen Literal
  - Matrix: endliche Menge  $M = \{c_1, \ldots, c_n\}$  von Klauseln Horn-Matrix: Menge von Horn-Klauseln

### Matrixdarstellung einer Formel präzisiert

## • Einfache Matrizen (Normalform-Matrizen)

- Literal: atomare Formel mit Polarität positives Literal: Polarität T negatives Literal: Polarität F
- **Klausel**: endliche Mengen  $c = \{L_1, \ldots, L_k\}$  von Literalen Horn-Klausel: Klausel mit höchstens einem negativen Literal
- **Matrix**: endliche Menge  $M = \{c_1, \ldots, c_n\}$  von Klauseln Horn-Matrix: Menge von Horn-Klauseln

## • Allgemeine Matrizen

- Matrix der Tiefe 0: Literal L
- Matrix der Tiefe n+1: endliche Menge  $M = \{M_1, \ldots, M_i\}$ von Matrizen der maximalen Tiefe n
- Klauseln sind Matrizen der Tiefe 1

### LESARTEN VON MATRIZEN

## • Allgemein:

- Ein Literal repräsentiert sich selbst
- Eine Klausel repräsentiert eine Menge von Literalen in  $\beta$ -Beziehung
- Eine Matrix repräsentiert eine Menge von Klauseln in  $\alpha$ -Beziehung
  - Tiefe 2n-1: Menge von Matrizen in  $\beta$ -Beziehung
  - · Tiefe 2n: Menge von Matrizen in  $\alpha$ -Beziehung

#### LESARTEN VON MATRIZEN

## • Allgemein:

- Ein Literal repräsentiert sich selbst
- Eine Klausel repräsentiert eine Menge von Literalen in  $\beta$ -Beziehung
- Eine Matrix repräsentiert eine Menge von Klauseln in  $\alpha$ -Beziehung
  - · Tiefe 2n-1: Menge von Matrizen in  $\beta$ -Beziehung
  - · Tiefe 2n: Menge von Matrizen in  $\alpha$ -Beziehung

## • Negative Repräsentation:

- Ein Literal X<sup>T</sup> repräsentiert  $X, X^F$  repräsentiert  $\neg X$
- Eine Klausel repräsentiert die Disjunktion ihrer Literale
- Eine Matrix repräsentiert die Konjunktion ihrer Klauseln
- Gut für indirekte Beweisführung (Tableaux, Prolog, ...)

#### LESARTEN VON MATRIZEN

## • Allgemein:

- Ein Literal repräsentiert sich selbst
- Eine Klausel repräsentiert eine Menge von Literalen in  $\beta$ -Beziehung
- Eine Matrix repräsentiert eine Menge von Klauseln in  $\alpha$ -Beziehung
  - · Tiefe 2n-1: Menge von Matrizen in  $\beta$ -Beziehung
  - Menge von Matrizen in  $\alpha$ -Beziehung · Tiefe 2n:

## • Negative Repräsentation:

- Ein Literal X<sup>T</sup> repräsentiert X, X<sup>F</sup> repräsentiert  $\neg X$
- Eine Klausel repräsentiert die Disjunktion ihrer Literale
- Eine Matrix repräsentiert die Konjunktion ihrer Klauseln
- Gut für indirekte Beweisführung (Tableaux, Prolog, ...)

## • Positive Repräsentation:

- Ein Literal X<sup>T</sup> repräsentiert  $\neg X$ , X<sup>F</sup> repräsentiert X
- Eine Klausel repräsentiert die Konjunktion ihrer Literale
- Eine Matrix repräsentiert die Disjunktion ihrer Klauseln
- Gut für direkte Beweisführung (Sequenzenkalkül,...)

## • Mengenschreibweise:

- Mit Polarität:  $\{\{P^{F}\}, \{P^{T}, Q^{F}\}, \{Q^{T}, R^{F}\}, \{R^{T}\}\}$ 

## • Mengenschreibweise:

- Mit Polarität:  $\{\{P^{F}\}, \{P^{T}, Q^{F}\}, \{Q^{T}, R^{F}\}, \{R^{T}\}\}$
- Positive Repräsentation:  $\{\{P\}, \{\neg P, Q\}, \{\neg Q, R\}, \{\neg R\}\}$

## • Mengenschreibweise:

- Mit Polarität:  $\{\{P^{F}\}, \{P^{T}, Q^{F}\}, \{Q^{T}, R^{F}\}, \{R^{T}\}\}$
- Positive Repräsentation:  $\{\{P\}, \{\neg P, Q\}, \{\neg Q, R\}, \{\neg R\}\}$
- Kurzschreibweise:  $\{\{P\}, \{\overline{P}, Q\}, \{\overline{Q}, R\}, \{\overline{R}\}\}$

## • Mengenschreibweise:

- Mit Polarität:  $\{\{P^{F}\}, \{P^{T}, Q^{F}\}, \{Q^{T}, R^{F}\}, \{R^{T}\}\}$
- Positive Repräsentation:  $\{\{P\}, \{\neg P, Q\}, \{\neg Q, R\}, \{\neg R\}\}$
- $\{\{P\}, \{\overline{P}, Q\}, \{\overline{Q}, R\}, \{\overline{R}\}\}$ - Kurzschreibweise:

### • 2-dimensionale Matrixformen:

$$P^{T} \quad Q^{T} \quad R^{T}$$

$$P^{F} \quad Q^{F} \quad R^{F}$$

## • Mengenschreibweise:

- Mit Polarität:  $\{\{P^{F}\}, \{P^{T}, Q^{F}\}, \{Q^{T}, R^{F}\}, \{R^{T}\}\}$ 

- Positive Repräsentation:  $\{\{P\}, \{\neg P, Q\}, \{\neg Q, R\}, \{\neg R\}\}$ 

- Kurzschreibweise:  $\{\{P\}, \{\overline{P}, Q\}, \{\overline{Q}, R\}, \{\overline{R}\}\}$ 

### • 2-dimensionale Matrixformen:

$$\begin{bmatrix} P^{\mathbf{T}} & Q^{\mathbf{T}} & R^{\mathbf{T}} \\ P^{\mathbf{F}} & Q^{\mathbf{F}} & R^{\mathbf{F}} \end{bmatrix} \begin{bmatrix} \neg P & \neg Q & \neg R \\ P & Q & R \end{bmatrix}$$

## • Gedrehte Repräsentation als Prolog Programm

R.

Q :- R.

P := Q.

:- P?

$$\begin{bmatrix} R^T \\ Q^T & R^F \\ P^T & Q^F \\ P^F \end{bmatrix}$$

Viele Beweissysteme verarbeiten nur Normalformen

## Viele Beweissysteme verarbeiten nur Normalformen

- Formeln werden auf Normalform gebracht
  - Quantoren werden eliminiert
    - $\cdot$   $\delta$ -Variablen werden durch "Skolemfunktionen" ersetzt
    - $\cdot \gamma$ -Variablen bleiben unverändert
  - Verbleibende Formel wird auf DNF (positiv) oder KNF (negativ) gebracht

## Viele Beweissysteme verarbeiten nur Normalformen

## • Formeln werden auf Normalform gebracht

- Quantoren werden eliminiert
  - $\cdot$   $\delta$ -Variablen werden durch "Skolemfunktionen" ersetzt
  - $\cdot \gamma$ -Variablen bleiben unverändert
- Verbleibende Formel wird auf DNF (positiv) oder KNF (negativ) gebracht

#### • Vorteil: einfachere Beweisverfahren

- Unkomplizierte Struktur, leicht zu verarbeiten

## Viele Beweissysteme verarbeiten nur Normalformen

## • Formeln werden auf Normalform gebracht

- Quantoren werden eliminiert
  - $\cdot$   $\delta$ -Variablen werden durch "Skolemfunktionen" ersetzt
  - $\cdot \gamma$ -Variablen bleiben unverändert
- Verbleibende Formel wird auf DNF (positiv) oder KNF (negativ) gebracht

#### • Vorteil: einfachere Beweisverfahren

– Unkomplizierte Struktur, leicht zu verarbeiten

## • Nachteile: Entstellung der Formel

- Oft exponentielle Aufblähung
- Originalformel selten rekonstruierbar
- Erzeugung von Tableaux- oder Sequenzenbeweisen nahezu unmöglich
- Verfahren lassen sich schlecht auf andere Logiken verallgemeinern

#### Erzeugung zweidimensionaler Matrizen

• Schrittweisen Erzeugung beim Parsen der Formel

$$lpha \; \mapsto \; egin{bmatrix} lpha_1 \; lpha_2 \end{bmatrix} \quad eta \; \mapsto \; egin{bmatrix} eta_1 \ eta_2 \end{bmatrix} \quad \gamma \; \mapsto \; \gamma(a_i^j) \quad \delta \; \mapsto \; \delta(a_i) \end{pmatrix}$$

### Erzeugung zweidimensionaler Matrizen

• Schrittweisen Erzeugung beim Parsen der Formel

• Zusammenfassung "gleichartiger" Teilmatrizen

$$egin{bmatrix} egin{bmatrix} egin{bmatrix} M_1M_2 & M_3 \end{bmatrix} & \mapsto & egin{bmatrix} M_1 & M_2 & M_3 \end{bmatrix} \ egin{bmatrix} egin{bmatrix} M_1 & M_2 & M_3 & M_4 \end{bmatrix} \ egin{bmatrix} egin{bmatrix} M_1 & M_2 & M_3 \\ M_2 & M_3 \end{bmatrix} & \mapsto & egin{bmatrix} M_1 & M_3 \\ M_2 & M_3 \end{bmatrix} \ \end{pmatrix} \ egin{bmatrix} egin{bmatrix} M_1 & M_2 \\ M_2 & M_3 \end{bmatrix}$$

• Matrix für  $((P \Rightarrow Q) \Rightarrow (\neg Q \Rightarrow \neg P))^F$ 

• Matrix für  $((P \Rightarrow Q) \Rightarrow (\neg Q \Rightarrow \neg P))^F$ 

Ergänze Typ der Wurzel

$$[\quad ((\mathbf{P} \Rightarrow \mathbf{Q}) \Rightarrow \alpha(\neg \mathbf{Q} \Rightarrow \neg \mathbf{P}))^{\mathbf{F}} \quad ]$$

• Matrix für  $((P \Rightarrow Q) \Rightarrow (\neg Q \Rightarrow \neg P))^F$ 

Erzeuge  $\alpha$ -Matrix

$$\left[ (P \Rightarrow Q)^{T} (\neg Q \Rightarrow \neg P)^{F} \right]$$

$$(\neg Q \Rightarrow \neg P)^F$$

• Matrix für  $((P \Rightarrow Q) \Rightarrow (\neg Q \Rightarrow \neg P))^F$ 

• Matrix für  $((P \Rightarrow Q) \Rightarrow (\neg Q \Rightarrow \neg P))^F$ 

Erzeuge  $\alpha$ -Submatrix

$$\left[ \begin{array}{c} (P \Rightarrow_{\beta} Q)^{T} \\ \end{array} \quad \left[ \neg Q^{T} \quad \neg P^{F} \right] \right]$$

$$\neg \mathsf{Q}^T \quad \neg \mathsf{P}^F$$

• Matrix für  $((P \Rightarrow Q) \Rightarrow (\neg Q \Rightarrow \neg P))^F$ 

 $\alpha$ -Zusammenfassung

• Matrix für  $((P \Rightarrow Q) \Rightarrow (\neg Q \Rightarrow \neg P))^F$ 

• Matrix für  $((P \Rightarrow Q) \Rightarrow (\neg Q \Rightarrow \neg P))^F$ 

Erzeuge  $\beta$ -Submatrix

$$\begin{bmatrix} P^F \\ Q^T \end{bmatrix} \qquad \neg Q_{\alpha}^T \qquad \neg P_{\alpha}^F \qquad \end{bmatrix}$$

 $\bullet \ \mathbf{Matrix} \ \mathbf{f\"{u}r} \ ((\mathtt{P} \Rightarrow \mathtt{Q}) \Rightarrow (\lnot \mathtt{Q} \Rightarrow \lnot \mathtt{P}))^{F}$ 

$$\mathbb{P}^F$$
  $\neg \mathbb{Q}_{\alpha}^T$   $\neg \mathbb{P}_{\alpha}^F$   $\mathbb{Q}^T$ 

 $\alpha$ -Zusammenfassung

• Matrix für  $((P \Rightarrow Q) \Rightarrow (\neg Q \Rightarrow \neg P))^F$ 

Erzeuge  $\alpha$ -Submatrizen und fasse zusammen

• Matrix für 
$$((P \Rightarrow Q) \Rightarrow (\neg Q \Rightarrow \neg P))^F$$

$$\mathbf{P}^{F}$$
  $\mathbf{Q}^{F}$   $\mathbf{P}^{T}$   $\mathbf{Q}^{T}$ 

• Matrix für  $((P \Rightarrow Q) \Rightarrow (\neg Q \Rightarrow \neg P))^F$ 

• Matrix für  $(\forall x Px \Rightarrow Qx) \Rightarrow ((\forall x Px) \Rightarrow (\forall x Qx))^F$ 

$$\begin{bmatrix} Px_2^F & Px_1^T & Qa_1^F \\ Qx_2^T & \end{bmatrix}$$

 $\bullet \ \mathbf{Matrix} \ \mathbf{f\"{u}r} \ ((\mathtt{P} \Rightarrow \mathtt{Q}) \Rightarrow (\lnot \mathtt{Q} \Rightarrow \lnot \mathtt{P}))^{F}$ 

• Matrix für  $(\forall x Px \Rightarrow Qx) \Rightarrow ((\forall x Px) \Rightarrow (\forall x Qx))^F$ 

$$Px_2^F$$
  $Px_1^T$   $Qa_1^F$   $Qx_2^T$ 

• Matrix für  $\neg(\forall x Px) \lor (Pa \land Pb)^F$   $(\mu=2)$ 

$$\begin{bmatrix} & Px_1^T & Px_2^T & Pa^F \\ & & Pb^F \end{bmatrix}$$

#### • Pfad durch eine Matrix

- Tiefe 2,  $M = \{c_1, ..., c_n\}$ : Menge von Literalen  $\{L_1, ..., L_n\}$  mit  $L_i \in c_i$
- Tiefe 2n,  $M = \{M_1, ..., M_n\}$ : Vereinigung  $p_1 \cup ... \cup p_n$  mit  $p_i$  Pfad durch  $M_i$
- Tiefe 2n+1,  $M = \{M_1, ..., M_n\}$ : einer der Pfade  $p_i$  durch eines der  $M_i$

#### • Pfad durch eine Matrix

- Tiefe 2,  $M = \{c_1, ..., c_n\}$ : Menge von Literalen  $\{L_1, ..., L_n\}$  mit  $L_i \in c_i$
- Tiefe 2n,  $M = \{M_1, ..., M_n\}$ : Vereinigung  $p_1 \cup ... \cup p_n$  mit  $p_i$  Pfad durch  $M_i$
- Tiefe 2n+1,  $M = \{M_1, ..., M_n\}$ : einer der Pfade  $p_i$  durch eines der  $M_i$

## • Konnektionen, Komplementarität wie zuvor

 Zulässigkeitsbedingung der Substitution am Formelbaum zu prüfen oder bei Normalisierung in Skolemfunktionen codiert

#### • Pfad durch eine Matrix

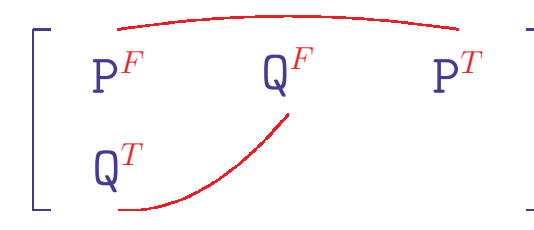
- Tiefe 2,  $M = \{c_1, ..., c_n\}$ : Menge von Literalen  $\{L_1, ..., L_n\}$  mit  $L_i \in c_i$
- Tiefe 2n,  $M = \{M_1, ..., M_n\}$ : Vereinigung  $p_1 \cup ... \cup p_n$  mit  $p_i$  Pfad durch  $M_i$
- Tiefe 2n+1,  $M = \{M_1, ..., M_n\}$ : einer der Pfade  $p_i$  durch eines der  $M_i$

## • Konnektionen, Komplementarität wie zuvor

 Zulässigkeitsbedingung der Substitution am Formelbaum zu prüfen oder bei Normalisierung in Skolemfunktionen codiert

## Beispielbeweise

$$((P \Rightarrow Q) \Rightarrow (\neg Q \Rightarrow \neg P))^{F}$$



#### • Pfad durch eine Matrix

- Tiefe 2,  $M = \{c_1, ..., c_n\}$ : Menge von Literalen  $\{L_1, ..., L_n\}$  mit  $L_i \in c_i$
- Tiefe 2n,  $M = \{M_1, ..., M_n\}$ : Vereinigung  $p_1 \cup ... \cup p_n$  mit  $p_i$  Pfad durch  $M_i$
- Tiefe 2n+1,  $M = \{M_1, ..., M_n\}$ : einer der Pfade  $p_i$  durch eines der  $M_i$

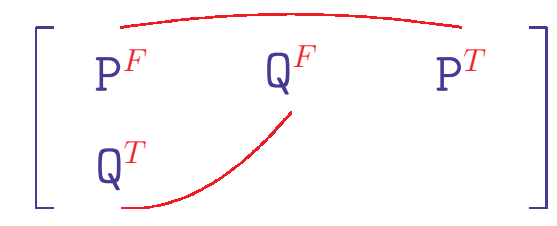
## • Konnektionen, Komplementarität wie zuvor

 Zulässigkeitsbedingung der Substitution am Formelbaum zu prüfen oder bei Normalisierung in Skolemfunktionen codiert

## • Beispielbeweise

$$((P \Rightarrow Q) \Rightarrow (\neg Q \Rightarrow \neg P))^{F}$$

$$(\forall x Px \Rightarrow Qx) \Rightarrow ((\forall x Px) \Rightarrow (\forall x Qx))^{F}$$



$$\begin{bmatrix} Px_2^F & Px_1^T & Qa_1^F \\ Qx_2^T & & \end{bmatrix}$$

#### • Pfad durch eine Matrix

- Tiefe 2,  $M = \{c_1, ..., c_n\}$ : Menge von Literalen  $\{L_1, ..., L_n\}$  mit  $L_i \in c_i$
- Tiefe 2n,  $M = \{M_1, ..., M_n\}$ : Vereinigung  $p_1 \cup ... \cup p_n$  mit  $p_i$  Pfad durch  $M_i$
- Tiefe 2n+1,  $M = \{M_1, ..., M_n\}$ : einer der Pfade  $p_i$  durch eines der  $M_i$

## • Konnektionen, Komplementarität wie zuvor

 Zulässigkeitsbedingung der Substitution am Formelbaum zu prüfen oder bei Normalisierung in Skolemfunktionen codiert

## • Beispielbeweise

$$((P \Rightarrow Q) \Rightarrow (\neg Q \Rightarrow \neg P))^{F}$$

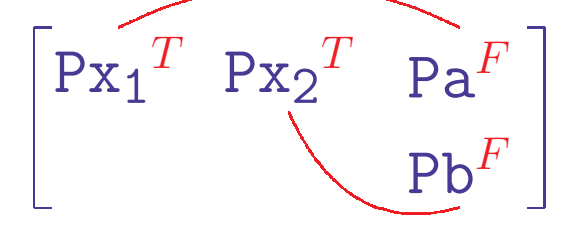
$$(\forall \mathbf{x} \mathbf{P} \mathbf{x} \Rightarrow \mathbf{Q} \mathbf{x}) \Rightarrow ((\forall \mathbf{x} \mathbf{P} \mathbf{x}) \Rightarrow (\forall \mathbf{x} \mathbf{Q} \mathbf{x}))^{F}$$

$$\neg(\forall x P x) \lor (Pa \land Pb)^F \quad (\mu=2)$$

$$oxed{egin{pmatrix} oxed{\mathsf{P}}^F & oxed{\mathsf{Q}}^F & oxed{\mathsf{P}}^T \ oxed{\mathsf{Q}}^T & oxed{\mathsf$$

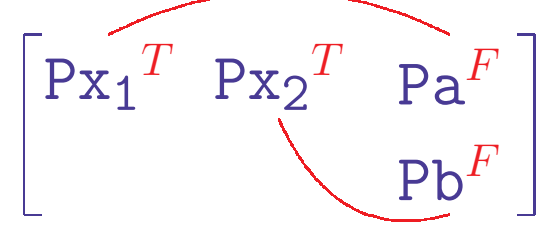
$$\begin{bmatrix} \operatorname{Px_1}^T & \operatorname{Px_2}^T & \operatorname{Pa}^F \end{bmatrix}$$

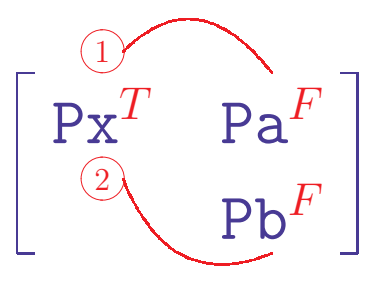
$$\neg(\forall x P x) \lor (P a \land P b)^{F}$$



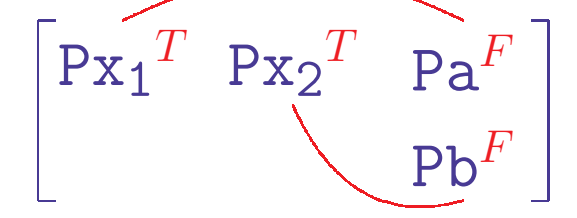
$$\neg(\forall x Px) \lor (Pa \land Pb)^{F}$$

- Kurzform: Indizierte Konnektion
  - Konnektion mit Index für Klauselkopie
  - Effizientere Codierung durch kleinere Matrix
  - Bezug zur Originalformel besser erkennbar

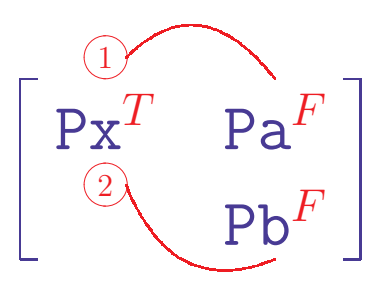




$$\neg(\forall \mathtt{x}\mathtt{P}\mathtt{x}) \lor (\mathtt{P}\mathtt{a} \land \mathtt{P}\mathtt{b})^{F}$$

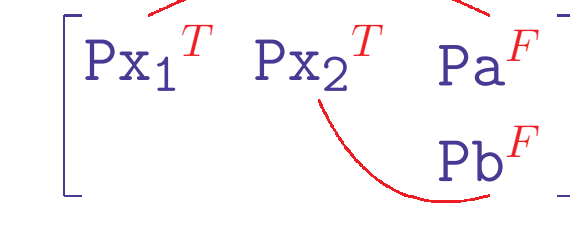


- Kurzform: Indizierte Konnektion
  - Konnektion mit Index für Klauselkopie
  - Effizientere Codierung durch kleinere Matrix
  - Bezug zur Originalformel besser erkennbar

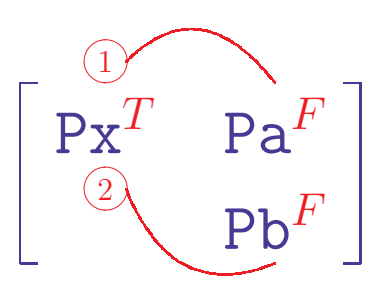


- Indizierte Matrix:
  - Matrix M mit indizierter Paarung
  - Expandierte Form: erweiterte Form mit expliziten Kopien von Klauseln
  - Pfade durch M: Pfade durch expandiente Form von M

$$\neg(\forall \mathtt{x}\mathtt{P}\mathtt{x}) \lor (\mathtt{P}\mathtt{a} \land \mathtt{P}\mathtt{b})^{F}$$



- Kurzform: Indizierte Konnektion
  - Konnektion mit Index für Klauselkopie
  - Effizientere Codierung durch kleinere Matrix
  - Bezug zur Originalformel besser erkennbar



- Indizierte Matrix:
  - Matrix M mit indizierter Paarung
  - Expandierte Form: erweiterte Form mit expliziten Kopien von Klauseln
  - Pfade durch M: Pfade durch expandiente Form von M
- Aufspannende (indizierte) Paarung:
  - Jeder Pfad (durch die indizierte Matrix) enthält eine Konnektion
  - $-\sigma$ -komplementäre aufspannende indizierte Paarungen beweisen Gültigkeit

### Matrixcharakterisierung logischer Gültigkeit

Eine Formel F (in Matrixform) ist gültig, wenn es eine zulässige Substitution  $\sigma$  und eine Menge  $\mathcal C$  von indizierten  $\sigma$ -komplementären Konnektionen gibt, so daß jeder Pfad durch F eine Konnektion aus  $\mathcal C$  enthält

# BEWEISSUCHE IM MATRIXKALKÜL

Suche	nach	kompl	lementären	aufspan	nenden	indizierten	Paarung	en

### BEWEISSUCHE IM MATRIXKALKÜL

Suche nach komplementären aufspannenden indizierten Paarungen

#### • Aufbau der Datenstruktur

- Annotierter Formelbaum mit Polaritäten und Typen
- Identifikation aller möglichen Konnektionen

### Suche nach komplementären aufspannenden indizierten Paarungen

#### • Aufbau der Datenstruktur

- Annotierter Formelbaum mit Polaritäten und Typen
- Identifikation aller möglichen Konnektionen

## Pfadexploration

- Prüfe ob jeder Pfad durch F mindestens eine Konnektion enthält
- Konnektionenorientiertes Verfahren streicht Gruppen überprüfter Pfade

## Suche nach komplementären aufspannenden indizierten Paarungen

#### • Aufbau der Datenstruktur

- Annotierter Formelbaum mit Polaritäten und Typen
- Identifikation aller möglichen Konnektionen

## Pfadexploration

- Prüfe ob jeder Pfad durch F mindestens eine Konnektion enthält
- Konnektionenorientiertes Verfahren streicht Gruppen überprüfter Pfade

#### Unifikation

- Bestimme Substitution  $\sigma$ , die alle Konnektionen komplementär macht
- Überprüfe Zulässigkeit der Substitution
- Integriere in Pfadexploration

### Suche nach komplementären aufspannenden indizierten Paarungen

#### • Aufbau der Datenstruktur

- Annotierter Formelbaum mit Polaritäten und Typen
- Identifikation aller möglichen Konnektionen

## Pfadexploration

- Prüfe ob jeder Pfad durch F mindestens eine Konnektion enthält
- Konnektionenorientiertes Verfahren streicht Gruppen überprüfter Pfade

#### Unifikation

- Bestimme Substitution  $\sigma$ , die alle Konnektionen komplementär macht
- Überprüfe Zulässigkeit der Substitution
- Integriere in Pfadexploration

## • Multiplizitätsbestimmung

– Wo nötig, erhöhe Multiplizität von  $\gamma$ -Knoten dynamisch

## Suche nach komplementären aufspannenden indizierten Paarungen

#### • Aufbau der Datenstruktur

- Annotierter Formelbaum mit Polaritäten und Typen
- Identifikation aller möglichen Konnektionen

## Pfadexploration

- Prüfe ob jeder Pfad durch F mindestens eine Konnektion enthält
- Konnektionenorientiertes Verfahren streicht Gruppen überprüfter Pfade

#### Unifikation

- Bestimme Substitution  $\sigma$ , die alle Konnektionen komplementär macht
- Überprüfe Zulässigkeit der Substitution
- Integriere in Pfadexploration

## • Multiplizitätsbestimmung

– Wo nötig, erhöhe Multiplizität von  $\gamma$ -Knoten dynamisch

#### • Rücktransformation

- Erzeuge Tableaux-/Sequenzenbeweis aus Matrixbeweis